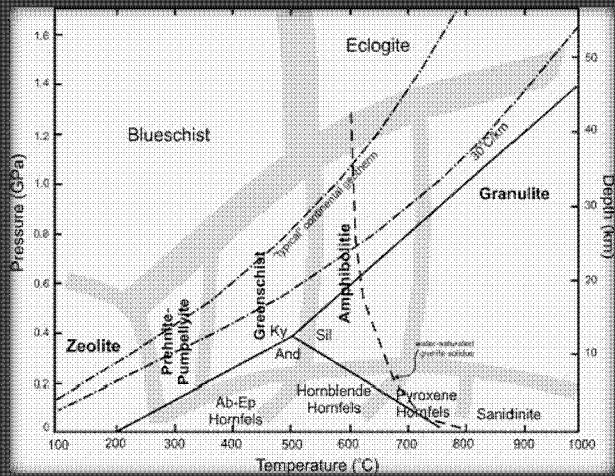


آشنایی با روش‌های

## زمین دماسنگی و زمین فشارسنگی



تألیف و ترجمه:

نرگس شیردشتزاده

رامین صمدی





بِسْمِ اللَّهِ الرَّحْمَنِ الرَّحِيمِ



آشنایی با روش‌های  
زمین دماسنگی و زمین فشارسنگی

تألیف و ترجمه:

نرگس شیردشتزاده

رامین صمدی



سر شناسه:	شیردشتزاده، نرگس، ۱۳۵۹ -
عنوان و نام پدیدآور:	آشنایی با روش‌های زمین دماستجی و زمین فشارستجی / تألیف و ترجمه: نرگس شیردشتزاده، رامین صمدی
مشخصات نشر:	اصفهان: نرگس شیردشتزاده، ۱۳۸۹
مشخصات ظاهری:	ص: مصور، جدول. 978-964-04-4854-0
شابک:	فیپا
وضعیت فهرست نویسی:	بادداشت (ص.ع):
نام اثر:	Narges Shirdashtzadeh, Ramin Samadi. An introduction to methods of geothermometry and geobarometry
نام انتشار:	کتاب‌نامه
موضوع:	دمای زمین
موضوع:	فشار خاک
شناسه افزوده:	صدمی، رامین، ۱۳۵۸ -
ردی بندی کنگره:	۱۳۸۹ ش.۵۰۹۵۰۷QE
ردی بندی دیوبی:	۵۵۱/۱۴
شماره کتاب‌شناسی ملی:	۱۹۶۹۳۳۹

نام کتاب: آشنایی با روش‌های زمین دماستجی و زمین فشارستجی

تألیف و ترجمه: نرگس شیردشتزاده - رامین صمدی

تیراژ: ۱۰۰۰ جلد، رقیعی

تاریخ چاپ: بهار ۱۳۸۹ (چاپ اول)

بهای هر جلد: ۲۵۰۰۰ ریال

نشانی پایگاه اینترنتی:

[www.petrology.ir](http://www.petrology.ir)  
[www.zaminazmoon.com](http://www.zaminazmoon.com)

نشانی الکترونیکی:

nshirdasht@gmail.com  
rsamadi@hotmail.com

حق چاپ و سایر حقوق دائمی این اثر محفوظ و متعلق به مؤلفین و مترجمین آن می‌باشد



تقديم به ساحت مقدس ولی عصر

## حضرت حجت بن الحسن عسگری (عج)



## پیش‌گفتار

مطالعات زمین دماسنجدی و زمین فشارسنجدی برای شناخت شرایط دما و فشار تشکیل سنگ‌ها، در دهه‌های اخیر به عنوان یک روش مفید مطرح و جایگاه خاصی در مطالعات زمین‌شناسی پیدا نموده است. در این زمینه، تجربیات آزمایشگاهی دانشمندان، محاسبات و مدل‌سازی ترمودینامیکی، بر اساس تجزیه شیمیایی کانی‌ها به وسیله الکترون مایکروپرورب به فهم بهتر شرایط دما و فشار حاکم بر سنگ‌ها در خلال فرآیندهای زمین‌شناسی، کمک مؤثری نموده است.

در ترجمه مقالات مورد استفاده در این کتاب امانت‌داری علمی رعایت شده و مطالب بدون دخل و تصرف به فارسی ترجمه گردیده است. با اذعان به این امر که اثر حاضر عاری از کاستی نمی‌باشد، از نظرات سازنده و مؤثر اساتید، صاحب‌نظران و دانشجویان محترم استقبال می‌نماییم.

۱۳۸۸

شیردشتزاده

صمدی



## فهرست مطالب

صفحه	عنوان فصل اول: مقدمه
۱	فصل دوم: زمین دماسنجدی
۱	دماسنجد گارنت - بیوتیت
۷	دماسنجد گارنت - مسکوویت
۱۰	دماسنجد گارنت - هورنبلند
۱۲	دماسنجد گارنت - کلینوپیروکسن
۱۳	دماسنجد تک کلینوپیروکسن
۱۶	دماسنجد کلینوپیروکسن - مذاب
۱۶	دماسنجد پیروکسن
۱۸	دماسنجد کلینوپیروکسن - ارتوپیروکسن
۲۱	دماسنجد الیوین - اسپینل
۲۳	دماسنجد تیتانیم موجود در بیوتیت
۲۴	دماسنجدی بر اساس ترکیب آمفیبول
۲۶	دماسنجد هورنبلند - پلازیوکلاز
۲۷	دماسنجد پلازیوکلاز - آلکالی فلدوپار
۲۹	دماسنجدی بر اساس ترکیب پرهنیت
۳۰	دماسنجدی اسکارن‌ها بر اساس مجموعه کانی‌ها
۳۶	دماسنجد کلریست
۳۷	دماسنجد گارنت - ایلمنیت
۳۸	دماسنجد گارنت - کوردیریت
۳۸	دماسنجد کوردیریت - هرسینیت
۳۹	دماسنجد گارنت - ارتوپیروکسن

## فهرست مطالب

صفحه	عنوان
٤٠	دماسنچ گارنت-کلریت
٤٠	دماسنچ تیتانیم موجود در کوارتز
٤١	دماسنچ ارتوپیروکسن- اسپینل - الیوین
٤٢	دماسنچ ارتوپیروکسن- اسپینل
٤٣	دماسنچ گارنت - فنجیت
٤٦	دماسنچ بیوتیت-تورمالین
٤٦	دماسنچ مسکوویت
٤٧	دماسنچ گارنت-کوردیریت- سیلیمانیت-کوارتز
٤٨	دماسنچ الیوین-کلینوپیروکسن
٤٩	فصل سوم: زمین فشارسنگی
٤٩	فشارسنگی بر اساس ترکیب آمفیبول
٥١	فشارسنچ آلومینیم موجود در آمفیبول
٥٤	فشارسنچ گارنت- بیوتیت- مسکوویت-آلومینوسیلیکات-کوارتز
٥٥	فشارسنچ کلینوپیروکسن
٥٦	فشارسنچ کوردیریت - هرسینیت
٥٧	پیوست ها
٧١	منابع

## مقدمه

# فصل اول

با توجه به اهمیت تعیین شرایط فشار و دما در مطالعات مربوط به پهنه‌های زمین‌شناسی، تاکنون روش‌های گوناگونی بدین منظور ارائه شده‌اند که قدمی‌ترین آنها استفاده از شبکه‌های پتروژنتیک است. به مرور زمان با پیشرفت روزافزون علم و اختراع دستگاه‌های گوناگون و پیشرفت در اندازه‌گیری عناصر، این روش جای خود را به استفاده از داده‌های ترمودینامیکی داده است.

مطالعات زمین دماسنجد<sup>۱</sup> و زمین فشارسنجی<sup>۲</sup> برای شناخت شرایط دما و فشار تشکیل سنگ‌ها، در دهه‌های اخیر به عنوان یک روش مفید مطرح شده‌اند. در این زمینه تجربیات آزمایشگاهی داشمندان، محاسبات و مدل‌سازی ترمودینامیکی بر اساس تجزیه شیمیابی کانی‌ها به وسیله الکترون میکروپرور به فهم بهتر شرایط دما و فشار حاکم بر سنگ‌ها در خلال فرآیندهای زمین‌شناسی کمک مؤثری نموده است.

اساس این تحقیقات بر این فرض مبتنی است که مجموعه کانی‌های سنگ در شرایط تعادلی تشکیل شده باشد. به عقیده بوخر و فری (۱۹۹۴)، این وضعیت

<sup>1</sup> Geothermometry

<sup>2</sup> Geobarometry

ممکن است برای سنگ‌هایی که به سرعت سرد شده‌اند یا اینکه دمای پائینی داشته‌اند معتبر باشد. در واقع این دما - فشارسنج‌ها بر اساس حساسیت توزیع عناصر در ساختار کانی‌ها و یا طی تبادلات شیمیایی، نسبت به دما و یا فشار طراحی شده‌اند. اما در مورد هر یک از این روش‌ها، تردیدها و یا محدودیت‌هایی هم وجود دارد که بایستی به آنها توجه نمود.

به‌طور کلی زمین دمافسارسنجی موفق بر پایه فرض‌های متعددی استوار است که از آن جمله می‌توان به تعادل، تأثیرات قهقرایی، کیفیت کالیبراسیون، تصحیحات لازم در مورد دما و فشار، حساسیت دمافسارسنج، وضعیت ساختاری متغیر، تأثیر سایر مشکلهای و تخمین  $\text{Fe}^{2+}/\text{Fe}^{3+}$  موجود در کانی‌ها اشاره نمود.

به‌منظور مطالعات زمین دمافسارسنجی بر اساس ترکیب شیمیایی کانی‌ها، ابتدا می‌بایست به بررسی مقاطع نازک کانی‌ها پرداخت و سپس کانی‌های مورد نظر را با در نظر گرفتن شرایط مورد تجزیه مایکروپروروب قرار داد و در نهایت بر اساس انتخاب روش و کالیبراسیون مناسب به بررسی دما، فشار تشکیل و تعادل کانی‌ها پرداخت.

تاکنون دماسنچ‌ها و فشارسنج‌های مختلفی به‌منظور تعیین دما و فشار سیستم‌های دگرگونی و غیر دگرگونی ارائه گردیده است که از آن جمله می‌توان به دماسنچ‌ها و فشارسنج‌های متداول زیر اشاره نمود:

(۱) دماسنچ‌ها: گارنت-بیوتیت، گارنت-کلینوپیروکسن، گارنت-ارتوبیروکسن، گارنت-آمفیبول، آمفیبول-پلاژیوکلاز-کوارتز، پلاژیوکلاز - آلکالی فلدسپار و غیره.

(۲) فشارسنج‌ها: گارنت-آلومینوسیلیکات-پلاژیوکلاز-کوارتز، گارنت-پلاژیوکلاز - هورنبلند-کوارتز، فشارسنجی آلومینیم موجود در هورنبلند و غیره.

علاوه بر این دماستنج‌ها و فشارسنج‌ها معمولاً در شرایط خاصی از دما و فشار برای گروه خاصی از سنگ‌ها کالیبره شده‌اند. مثلاً در مورد دماستنج گارنت-کلینوپیروکسن، بهترین نتایج وقتی به دست خواهد آمد که سنگ رخساره دگرگونی در حد رخساره اکلوژیت و گرانولیت را تحمل کرده باشد. در جدول ۱ به چند مورد از روش‌های دماستنجی - فشارسنجی و رخساره‌های دگرگونی قابل بررسی توسط آنها اشاره شده است. در شکل ۱ نیز نمودار رخساره‌های دگرگونی و منحنی ذوب گرانیت برگرفته از وینتر (۲۰۰۱) ارائه گردیده است.

بیشتر از محاسبات مربوط به زمین دمافشارسنجی به صورت صفحات گسترده برنامه اکسل موجود می‌باشند و برخی دیگر نیز به صورت برنامه‌های اجرایی و به زبان‌های مختلف برنامه‌نویسی طراحی شده‌اند. از آن جمله می‌توان به برنامه‌های HBPL، Solvecalc، PTMafic و غیره اشاره نمود که اغلب آنها به راحتی قابل دریافت از اینترنت و در دسترس می‌باشند.

با توجه به اهمیت کسرهای مولی و اکتیویته کانی‌ها در محاسبات زمین دمافشارسنجی، نحوه محاسبه آنها در مورد برخی از کانی‌های متداول در پیوست آورده شده است.

**جدول ۱:** کالیبراسیون‌های دماستنج‌ها و فشارسنج‌های مختلف ارائه شده برای رخساره‌های دگرگونی (برگرفته از ویل<sup>۱</sup>، ۱۹۹۸؛ با اندکی تغییرات).  
 (amph=amphibolite, gra=granulite, ecl=eclogite)

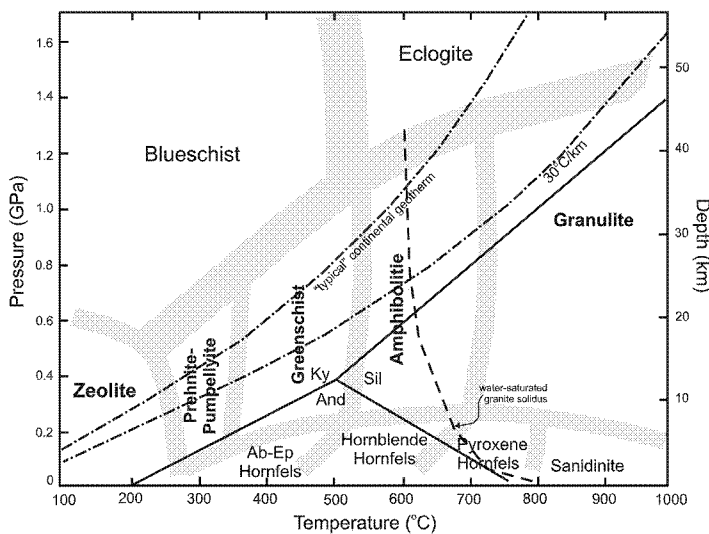
#### Thermometer

Reaction	Facies	Calibrations and Comments
<i>garnet-clinopyroxene</i> alm + 3 di = py + 3 hed	gra, ecl	Ellis and Green (1979), Powell (1985), Krogh (1988), Pattison and Newton (1989), Perkins and Vielzeuf (1992)
<i>amphibole-plagioclase-quartz</i> ed + 4 q = tr + ab parg + 4 q = hb + ab	amph	Blandy and Holland (1990, 1992a, b), Hammarstrom and Zen (1992), Rutherford and Johnson (1992), Poli and Schmidt (1992), Holland and Blandy (1994)
<i>plagioclase-alkali feldspar</i>	amph, gra	Powell and Powell (1977b), Brown and Parsons (1981; 1985), Fuhrman and Lindsley (1988), Elkins and Grove (1990), Hovis et al. (1991), Kroll et al. (1993)

#### Geobarometer

Reaction	Facies	Calibrations and Comments
Al-contents in hornblende	granitic rocks	Hammerstrom and Zen (1986), Hollister et al. (1987), Johnson and Rutherford (1989)

<sup>1</sup> Will



شکل ۱: نمودار رخساره‌های دگگونی و منحنی ذوب گرانیت (ویتر<sup>۱</sup>، ۲۰۰۱).



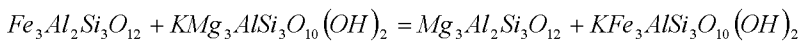
## فصل دوم

### زمین دماسنجه

#### دماسنجه گارنت - بیوپت

روش دماسنجه گارنت - بیوپت در طی ۴۰ سال گذشته با ارائه بیش از ۳۰ کالیبراسیون در حال گسترش بوده است. برای نخستین بار کرتز (۱۹۵۹) امکان وابستگی ضریب تغییرات دمایی را بوسیله آزمایش‌های تجربی مطرح نمود و در سال ۱۹۶۴ رابطه بین توزیع Fe و Mg را ناشی از تغییرات دما و فشار عنوان کرد اما معادله‌ای برای توضیح آن ارائه ننمود. فروست (۱۹۶۲) از توزیع Fe و Mg بین گارنت و بیوپت برای تعیین کیفی درجات دگرگونی در سنگ‌های دگرگونی استفاده نمود.

شرکت پذریری Mg و Fe در گارنت و بیوپت همزیست به دمای تعادل بستگی دارد. بهدلیل حضور این زوج کانی در درجات گوناگون، از تبادل Mg و Fe به عنوان یک دماسنجه، کاربرد بسیار گسترده‌ای در مطالعات سنگ‌شناسی شده است. شرایط تعادل در فشار و دماهای مختلف برای تبادل Mg و Fe میان گارنت و بیوپت تحت واکنش زیر صورت می‌گیرد:



آلماندین فلوگوپیت پیروپ آنت

در واکنش فوق آنت و فلوگوپیت به ترتیب دو قطب آهن و منیزیم دار محلول جامد بیوتیت بوده و آلماندین و پیروپ نیز دو قطب آهن و منیزیم دار محلول جامد گارنت هستند. به دلیل این که محلول‌های جامد این دو کانی به محلول‌های جامد ایده‌آل نزدیک هستند، بنابراین ضریب توزیع منیزیم و آهن در آنها تابعی از دما می‌باشد. این رابطه چندان تحت تأثیر فشار نبوده و برای مثال در دمای ۴۰۰ درجه سانتی‌گراد، در صورتی که فشار به اندازه یک کیلوبار افزایش یابد، مقدار ضریب توزیع فقط به مقدار ۱۴٪ تغییر می‌یابد. علاوه بر محاسبه تغییرات منیزیم و آهن، در برخی از کالیبراسیون‌ها تغییرات عناصری چون Mn موجود در گارنت، Ti و Al موجود در بیوتیت نیز مورد توجه قرار گرفته است (هوجز<sup>۱</sup> و اسپیر، ۱۹۸۲؛ داسگوپتا<sup>۲</sup> و همکاران، ۱۹۹۱). روابط  $K_D$  و T توسط مؤلفین گوناگون بیان شده است (چونگک‌مینگ و بن‌هی<sup>۳</sup>، ۲۰۰۶).

جهت محاسبه دما با روش گارنت - بیوتیت از شش کالیبراسیون معمول استفاده شده است. روش مذکور به عنوان یک روش مرسوم در سنگ‌های دگرگونی مطرح می‌باشد. کالیبراسیون‌ها و پارامترهای لازم برای این روش به شرح زیر می‌باشند:

تماسون<sup>۴</sup> (۱۹۷۶):

$$T = (2739.646 + 0.0234P) / (LnK_D + 1.56)$$

$$K_D = \left( X_{Mg} / X_{Fe} \right)^{Bio} / \left( X_{Mg} / X_{Fe} \right)^{Grt}$$

فری و اسپیر (۱۹۷۸):

$$T = (12454 + 0.057P) / (4.662 - 3R\ln K)$$

$$K_D = (Mg/Fe)^{Grt} / (Mg/Fe)^{Bio}$$

<sup>1</sup> Hodges

<sup>2</sup> Dasgupta

<sup>3</sup> Chung-Ming and Ben-He

<sup>4</sup> Thomson

هو جز و اسپیر (۱۹۸۲):

$$T = (12454 + 0.057P) / (4.662 - 3RLnK)$$

$$K_D = \left( a_{Pyr} / a_{Alm} \right) / \left( a_{Phl} / a_{Ann} \right)^{Bio} = \left( X_{Pyr} / X_{Alm} \right)^{Grt} / \left( X_{Phl} / X_{Ann} \right)^{Bio} \cdot \left( Y_{Pyr} / Y_{Alm} \right)$$

$$\left( Y_{Pyr} / Y_{Alm} \right) = \exp \left[ (3300 - 1.5T) \left( X_{Grs}^2 + X_{Alm} X_{Grs} + X_{Grs} X_{Sps} + X_{Pyr} X_{Grs} \right) + W_{MgMn} \right]$$

$$\left( X_{Sps}^2 + X_{Grs} X_{Sps} + X_{Alm} X_{Sps} + X_{Pyr} X_{Sps} \right) ]RT$$

$$X_{Pyr} = Mg / (Fe + Mg + Ca + Mn)$$

$$X_{Alm} = Fe / (Fe + Mg + Ca + Mn)$$

$$X_{Grs} = Ca / (Fe + Mg + Ca + Mn)$$

$$X_{Sps} = Mn / (Fe + Mg + Ca + Mn)$$

$$X_{Phl} = Mg / (Fe + Mg + Ti + Al^{VI})$$

$$X_{Ann} = Fe / (Fe + Mg + Ti + Al^{VI}) W_{MgMn} = 0$$

برچاک و لاورنتو<sup>۱</sup> (۱۹۸۳):

$$T = (7843 + \Delta V(P - 6000)) / (1.9872LnK_D + 5.699)$$

$$\Delta V = -0.0577$$

$$K_D = \left( X_{Mg} / X_{Fe} \right)^{Bio} / \left( X_{Mg} / X_{Fe} \right)^{Grt}$$

داسکوپتا و همکاران (۱۹۹۱):

$$T = (4301 + 3000X_{Ca}^{Grt} + 1300X_{Mn}^{Grt} - 495(X_{Mg} - X_{Fe})^{Grt} - 3595X_{Bio}Al^{VI} - 4423X_{Ti}^{Bio} + 1073(X_{Mg} - X_{Fe})^{Bio} + (0.0246P) / (1.85 - RLnK_D)$$

$$K_D = (Mg/Fe)^{Grt} / (Mg/Fe)^{Bio} = (Fe/Mg)^{Bio} / (Fe/Mg)^{Grt}$$

$$X_{Mg}^{Grt} = Mg / (Mg + Fe^{2+} + Ca + Mn)$$

$$X_{Fe}^{Grt} = Fe^{2+} / (Mg + Fe^{2+} + Ca + Mn)$$

$$X_{Ca}^{Grt} = Ca / (Mg + Fe^{2+} + Ca + Mn)$$

$$X_{Mn}^{Grt} = Mn / (Mg + Fe^{2+} + Ca + Mn)$$

$$X_{Mg}^{Bio} = Mg / (Mg + Fe + Al^{VI} + Ti)$$

$$X_{Al^{VI}}^{Bio} = \Sigma Al - [Si + Al^{VI}]$$

$$X_{Ti}^{Bio} = Ti / (Mg + Fe + Al^{VI} + Ti)$$

$$X_{Fe}^{Bio} = Fe / (Mg + Fe + Al^{VI} + Ti)$$

باتاچاریا و همکاران<sup>۲</sup> (۱۹۹۲):

$$(A): T(HW) = \left| 20286 + 0.0193P - \left\{ 2080(X_{Mg}^{Grt})^2 - 6350(X_{Fe}^{Grt})^2 - 13807(X_{Ca}^{Grt}) \right. \right. \\ \left. \left. (1 - X_{Mn}^{Grt}) + 8540(X_{Fe}^{Grt})(X_{Mg}^{Grt})(1 - X_{Mn}^{Grt}) + 4215(X_{Ca}^{Grt})(X_{Mg}^{Grt} - X_{Fe}^{Grt}) \right\} \right|$$

<sup>1</sup> Percuk and Lavrenteva

<sup>2</sup> Bhattacharya

$$\begin{aligned}
 & + 4441(2X_{Mg}^{Bio} - 1) ] / [(13.138 + 8.3143LnK_D + 6.276(X_{Ca}^{Grt})(1 - X_{Mn}^{Grt})) \\
 (B): T(GS) = & [13538 + 0.0193P - \{837(X_{Mg}^{Grt})^2 - 10460(X_{Fe}^{Grt})^2 - 13807(X_{Ca}^{Grt}) \\
 & (1 - X_{Mn}^{Grt}) + 19246(X_{Fe}^{Grt})(X_{Mg}^{Grt})(1 - X_{Mn}^{Grt}) + 5649(X_{Ca}^{Grt})(X_{Mg}^{Grt} - X_{Fe}^{Grt})\} \\
 & + 7972(2X_{Mg}^{Bio} - 1)] / [(6.778 + 8.3143LnK_D + 6.276(X_{Ca}^{Grt})(1 - X_{Mn}^{Grt}))] \\
 K_D = & (X_{Mg}/X_{Fe})^{Bio} / (X_{Mg}/X_{Fe})^{Grt} \\
 X_{Mg}^{Grt} = & Mg/(Mg + Fe^{2+} + Ca + Mn) \\
 X_{Fe^{2+}}^{Grt} = & Fe^{2+}/(Mg + Fe^{2+} + Ca + Mn) \\
 X_{Ca}^{Grt} = & Ca/(Mg + Fe^{2+} + Ca + Mn) \\
 X_{Mn}^{Grt} = & Mn/(Mg + Fe^{2+} + Ca + Mn) \\
 X_{Mg}^{Bio} = & Mg/(Mg + Fe^{2+})
 \end{aligned}$$

### دماسنجد گارنت - مسکوویت

مسکوویت در رخساره‌های شیست سبز تا آمفیبولیت در متابلیت‌ها حضور دارد. بنابراین استفاده از دماسنجد گارنت - مسکوویت جهت شناسایی شرایط دمایی متابلیت‌ها بسیار با اهمیت می‌باشد. زمین دماسنجد گارنت - مسکوویت در سنگ‌های سکانس‌های پیشرونده زون‌های دگرگونی معکوس و هاله‌های کناتک حرارتی کاربرد گسترده‌ای دارد. این دماسنجد بر اساس تبادل Mg-Fe بین دو کانی مسکوویت و گارنت می‌باشد.

این دماسنجد تاکنون توسط کراف و رحیم<sup>۱</sup> (۱۹۸۲)، گرین و هلمن<sup>۲</sup> (۱۹۸۷)، هاینس و فارست<sup>۳</sup> (۱۹۸۸) و وو<sup>۴</sup> و همکاران (۲۰۰۲) مورد مطالعه قرار گرفته است. این زمین دماسنجد در شرایط دمایی ۴۵° الی ۷۶° درجه سانتی گراد و فشار ۰/۸ تا ۱۱/۱ کیلوبار با محدوده ۵۰± درجه سانتی گراد کالیبره شده است (چونگ مینگ و گوچون<sup>۵</sup>، ۲۰۰۶). تفاوت بین دماسنجد‌های گارنت - مسکوویت و گارنت - بیوتیت

<sup>1</sup> Krogh and Raheim

<sup>2</sup> Green T.H. and Hellman

<sup>3</sup> Hynes and Forest

<sup>4</sup> Wu

<sup>5</sup> Chung-Ming and Gouchun

وابسته به تشکیل دهنده سلادوئیت<sup>۱</sup> در مسکوویت می‌باشد. بنابراین زمین دماسنجدارنت - مسکوویت برای سنگ‌های دگرگونی که میزان منیزیم مسکوویت آنها بیشتر از ۰/۱۳ و مقدار آهن کمتر از ۰/۰۴ برا اساس ۱۱ اکسیژن باشد، توصیه نمی‌گردد. شب منحنی‌های دما - فشار در دماسنجدارنت - مسکوویت بیشتر از گارنت - بیوتیت می‌باشد. محققین دلیل این امر را وابستگی کمتر دماسنجدارنت - مسکوویت به فشار عنوان می‌نمایند (چونگ مینگ و گوچون، ۲۰۰۶). این زمین دماسنجدار است سنگ‌های دگرگونی در شرایطی که بیوتیت در سنگ حضور ندارد، بسیار کاربردی می‌باشد. در این تحقیق با توجه به مدل‌های ارائه شده توسط محققین مختلف، نمونه‌های مورد مطالعه بوسیله روش چونگ مینگ و گوچون (۲۰۰۶) مورد بررسی قرار گرفتند.

این دماسنجدار با توجه به حضور یا عدم حضور آهن فریک در مسکوویت و با استفاده از دو فرمول زیر محاسبه می‌شود:

واکنش مدل الف (محاسبه دما با فرض عدم وجود آهن فریک):

$$T_{(a)}^{(x)} = \left\{ 2325.8 + P(kbar) [-0.1 - 13.5(Fe_e - Mg_e) - 0.0135(Fe_e - Mg_e - 6541.2)] \right. \\ \left. (X_{\text{ss}}^{\infty} - X_{\text{ss}}^{\ast}) - 1127.7X_{\text{ss}}^{\ast} \right\} / \left\{ 1 + 0.0135[R \ln K_{\text{ss}}(1) + (Fe_e - Mg_e)] \right\}$$

واکنش مدل ب (محاسبه دما در حالتی که ۵٪ آهن کل، آهن فریک باشد):

$$T_{(b)}(K) = \left\{ 2064.7 + P(kbar) [-0.7 - 9.8(Fe_e - Mg_e)] - 0.0098(Fe_e - Mg_e) \right. \\ \left. - 7077.9(X_{\text{ss}}^{\infty} - X_{\text{ss}}^{\ast}) - 941.7X_{\text{ss}}^{\ast} \right\} / \left\{ 1 + 0.0098[R \ln K_{\text{ss}}(1) + (Fe_e - Mg_e)] \right\}$$

خطا در زمین دماسنجدارنت - مسکوویت به دلایل گوناگونی مانند عدم دقت مدل‌های آنالیز ترکیب شیمیایی کانی‌ها روی می‌دهد. البته تعیین خطاهای نهایی در دماسنجدارنت - مسکوویت از میان روش‌های منتشر شده مشکل می‌باشد (اسپیر، ۱۹۹۵).

<sup>۱</sup> Celadonite

### دماستنج گارنت - هورنبلند

دماستنج گارنت - هورنبلند تاکنون توسط پاول<sup>۱</sup> (۱۹۸۵)، گراهام و پاول<sup>۲</sup> (۱۹۸۴)، پرچاک<sup>۳</sup> و همکاران (۱۹۸۵) و کرافراونا<sup>۴</sup> (۲۰۰۰) مورد بررسی قرار گرفته است. در فشار و دمای متوسط دگرگونی،  $\text{Fe}^{2+}$  و  $\text{Mg}$  در موقعیت‌های  $M_1$  و  $M_3$  هورنبلند وارد می‌شوند و موقعیت  $M_2$  توسط  $\text{Al}^{3+}$ ،  $\text{Ti}^{4+}$  و  $\text{Fe}^{3+}$  و موقعیت  $M_4$  توسط  $\text{Ca}$  و تا حدودی هم  $\text{Na}$  پر می‌شوند. همچنین  $\text{Fe}^{3+}$  وارد  $M_4$  و مقادیری از  $\text{Mg}$  و  $\text{Fe}^{2+}$  هم وارد  $M_2$  می‌شود (کرافراونا، ۲۰۰۰). البته این دماستنج بر اساس توزیع  $\text{Fe}^{2+}$ - $\text{Mg}$  بین گارنت و هورنبلند موجود در ترکیبات حدواسط تا بازالتی کالیبره شده است (کرافراونا، ۲۰۰۰). در این روش محاسبه مقادیر دما بر اساس فرمول‌های زیر انجام می‌پذیرد:

گراهام و پاول (۱۹۸۴):

$$K_D = \frac{X_{\text{Alm}} \cdot X_{\text{Mg}}^{\text{Amp}}}{X_{\text{Pyr}} \cdot X_{\text{Fe}^{2+}}^{\text{Amp}}} \quad T_C = \frac{2880 + 3280 \cdot X_{\text{Grs}}}{\ln K + 2.426} - 273.15$$

پرچاک و همکاران (۱۹۸۵):

$$T_C = \frac{3330}{\ln K + 2.333} - 273.15$$

کرافراونا (۲۰۰۰):

$$T(^{\circ}\text{C}) = \frac{1504 + 1784(X_{\text{Ca}}^{\text{Grt}} + X_{\text{Mn}}^{\text{Grt}})}{\ln K_{D(\text{Fe}^{2+}/\text{Mg})}^{\text{Grt-Hbl}} + 0.720} - 273$$

<sup>1</sup> Powell

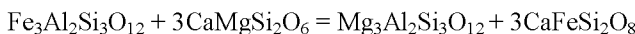
<sup>2</sup> Graham and Powell

<sup>3</sup> Perchuk

<sup>4</sup> Krogh Ravna

## دماستنج گارنت - کلینوپیروکسن

با توجه به اینکه  $K_D$  (ضریب انتشار) Fe-Mg بین گارنت و کلینوپیروکسن نسبت به شرایط دمایی حساس می‌باشد، این دماستنج بر اساس تبادل Fe-Mg بین گارنت و کلینوپیروکسن طراحی شده است و واکنش آن به صورت زیر می‌باشد:



برای اولین بار رحیم و گرین<sup>۱</sup> (۱۹۷۴) یک کالیبراسیون تجربی را برای آن ارائه کردند. بعدها کالیبراسیون‌های تجربی دیگری توسط محققین دیگر پیشنهاد گردید که از جمله می‌توان به دماستنج‌های پیشنهادی الیس و گرین<sup>۲</sup> (۱۹۷۹)، گانگولی<sup>۳</sup> (۱۹۷۹)، ساکسانا<sup>۴</sup> (۱۹۸۵)، پاول (۱۹۸۵)، کراف<sup>۵</sup> (۱۹۸۸)، پتیسون و نیوتون<sup>۶</sup> (۱۹۸۹)، سنگوپتا<sup>۷</sup> (۱۹۸۹)، آی<sup>۸</sup> (۱۹۹۴)، برمن<sup>۹</sup> و همکاران (۱۹۹۵)، گانگولی<sup>۱۰</sup> (۱۹۹۶)، کراف راونا (۲۰۰۰)، ناکامورا<sup>۱۱</sup> و همکاران (۲۰۰۴) اشاره نمود. این کالیبراسیون‌ها در جدول ۲ آورده شده‌اند.

<sup>1</sup> Raheim and Green

<sup>2</sup> Ellis and Green

<sup>3</sup> Ganguly

<sup>4</sup> Saxena

<sup>5</sup> Krogh

<sup>6</sup> Pattison and Newton

<sup>7</sup> Sengupta

<sup>8</sup> Ai

<sup>9</sup> Berman

<sup>10</sup> Nakamura

## جدول ۲: کالیبراسیون‌های مختلف دماسنج گارنت - کلینوپیر و کسن.

Method:	Formula:
Mysen and Heier (1972)	$K_{Dl} = \frac{Fe^{2+}_{Grt} \cdot Mg_{Cpx}}{Fe^{2+}_{Cpx} \cdot Mg_{Grt}}$ $T_c = \frac{2475}{\ln K_{Dl} + 0.781} - 273 . 15$
Raheim & Green (974)	$T_c = \frac{3686 + 28 . 35 \cdot P_{kbar}}{\ln K_{Dl} + 2.33} - 273 . 15$
Mori and Green (1978)	$T_c = \frac{2800}{\ln K_{Dl} + 1.19} - 273 . 15$
Ellis & Green (1979)	$T_c = \frac{3104 \cdot X_{Grs} + 3030 + 10.86 \cdot P_{kbar}}{\ln K_{D2} + 1.9034} - 273 . 15$
Saxena (1979)	$T_c = \frac{8288 + 27.6.P_{kbar} + A + B}{1.987 \cdot \ln K_D + 2.4083} - 273$
Ganguly (1979)	$T_c = \frac{4801 + 11.07 \cdot P_{kbar} + 1586 \cdot X_{Grs} + 1308 \cdot X_{Sps}}{\ln K_{Dl} + 2.93} - 273$
Ganguly (1979)	$T_c = \frac{4801 + 11.07 \cdot P_{kbar} + 1586 \cdot X_{Grs} + 1308 \cdot X_{Sps}}{\ln K_{Dl} + 2.93} - 273$
Dahl (1980)	$T_c = \frac{2324 + 0.022 \cdot P_{bar} + 1509 \cdot X_{Alm} X_{Pyr} + 2810 \cdot X_{Grs} + 2855 \cdot X_{Sps}}{1.987 \cdot \ln K_{D2}} - 273 . 15$
Powell (1985)	$T_c = \frac{2790 + 10 \cdot P_{kbar} + 3140 \cdot X_{Grs}}{\ln K_{Dl} + 1.735} - 273 . 15$
Krogh (1988)	$T_c = \frac{-6173 \cdot X_{Grs}^2 + 10 \cdot P_{kbar} + 6731 \cdot X_{Grs} + 1879}{\ln K_{Dl} + 1.393} - 273 . 15$
Pattison & Newton (1989) for Xgrs = 0.20	$T_c = \frac{AP \cdot X_{Grs}^3 + BP \cdot X_{Grs}^2 + CP \cdot X_{Grs} + DP}{\ln K_{Dl} + A \cdot X_{Grs}^3 + B \cdot X_{Grs}^2 + C \cdot X_{Grs} + D} + 5.5 \cdot (P_{kbar} - 15) - 273$
Sengupta and others (1989)	$a = X_{Grs}^2 \cdot (1.52 - 5.17 \cdot X_{Alm})$ $b = X_{Pyr}^2 \cdot (0.10 + 2.26 \cdot X_{Alm})$ $c = X_{Grs} X_{Pyr} \cdot ((3.01 - 6.67 \cdot X_{Alm}) + 1.05 \cdot X_{Grs} - 1.5 \cdot X_{Pyr})$ $d = X_{Grs} X_{Sps} \cdot (0.98 - 4.08 \cdot X_{Alm})$ $e = X_{Pyr} X_{Sps} \cdot (0.02 + 3.71 \cdot X_{Alm})$ $\gamma_{Fe} = \exp [a + b + c + d + e]$ $a = X_{Alm}^2 \cdot (1.23 - 2.26 \cdot X_{Pyr})$ $b = X_{Sps}^2 \cdot (-0.26 + 3.00 \cdot X_{Pyr})$ $c = X_{Grs} X_{Alm} \cdot ((3.53 - 4.85 \cdot X_{Pyr}) + 2.58 \cdot X_{Alm} - 2.58 \cdot X_{Grs})$

	$d = (X_{\text{Alm}} \cdot X_{\text{SpS}} \cdot (1.30 - 2.75 \cdot X_{\text{Pyr}})) + (0.78 \cdot X_{\text{SpS}}^2)$ $e = X_{\text{Grs}} \cdot X_{\text{SpS}} \cdot (1.27 + 3.00 \cdot X_{\text{Pyr}})$ $\gamma_{\text{Mg}} = \exp[a + b + c + d + e]$ $T_c = \frac{3030 + 10.86 \cdot P_{\text{kbar}}}{\ln K_D + 1.9034 + \ln \gamma_{\text{Fe}} - \ln \gamma_{\text{Mg}}} - 273 \cdot 15$
Ai (1994)	$T_c = \frac{-1629 \cdot X_{\text{Grs}}^2 + 3648.55 \cdot X_{\text{Grs}} - 6.59 \cdot X_{\text{Mg#Grt}} + 1987.98 + 17.66 \cdot P_{\text{kbar}}}{\ln K_D + 1.076} - 273$
Ganguly et al. (1996)	$T_c = \frac{4100 + 11.07 \cdot P_{\text{kbar}} - A}{\ln K_D + 2.4 + B} - 273$
Krogh-Ravna (2000)	$T_c = \frac{1939.9 + 3270 \cdot X_{\text{Grs}} - 1396 \cdot X_{\text{Grs}}^2 + 3319 \cdot X_{\text{SpS}} - 3535 \cdot X_{\text{SpS}}^2 + 1105 \cdot X_{\text{Mg#Grt}} - 3561 \cdot X_{\text{Mg#Grt}}^2 + 2324 \cdot X_{\text{Mg#Grt}}^3 + 16.94 \cdot P_{\text{kbar}}}{\ln K_D + 1.223} - 273$
Nakamura et al. (2004)	$T_c = \frac{3318 + 14.52 \cdot P_{\text{kbar}} + 1509 \cdot X_{\text{Grs}}}{\ln K_D + 1.865} - 273$

در میان فرمول‌های مذکور، روش‌های الیس و گرین (۱۹۷۹)، پاول (۱۹۸۵) و کراف (۱۹۸۸) به‌منظور دماسنجی اکلوژیت‌ها طراحی شده‌اند و با توجه به تأثیر

فاکتور  $X_{\text{Grs}}^{\text{Grt}}$  بهتر است برای گارنت‌های دارای Ca بالا (گروسولاو) استفاده گرددند. دماسنج گانگولی (۱۹۷۹) و ساکسانا (۱۹۷۹) برای سنگ‌های پریدوتیتی و اکلوژیت‌های دما بالا مناسب است. در حقیقت گانگولی (۱۹۷۹) فرمولی را بر اساس کلینوپیروکسن‌های اولترامافیک پیشنهاد کرد که در آن گارنت‌ها از نظر Mg غنی ( $\text{Fe/Mg}=0.25-0.35$ ) و کلینوپیروکسن‌ها از نظر Na و Al فقیر ( $\text{Al}_2\text{O}_3<4.7\%$  و  $\text{Na}_2\text{O}<0.4\text{ wt\%}$ ) می‌باشد. در حالی که کالیبراسیون پیشنهادی ناکامورا (۲۰۰۴) بر اساس سنگ‌های بازالتی است که در آنها گارنت چندان از نظر Mg غنی ( $\text{Fe/Mg}=1.0-1.2$ ) نبوده ولی کلینوپیروکسن از نظر Na و Al غنی است ( $\text{Al}_2\text{O}_3=10.2-10.9\%$  و  $\text{Na}_2\text{O}=4.1-4.7\text{ wt\%}$ ).

فرمول پتیسون و نیوتن (۱۹۸۹) برای گرانولیت‌ها و آمفیبولیت‌ها قابل استفاده می‌باشد (ناکامورا و هیراجیما<sup>۱</sup>، ۲۰۰۵). همچنین کاربرد دماسنج بermen و همکاران

<sup>۱</sup> Nakamura and Hirajima

(۱۹۹۵) برای گرانولیت‌ها و آمفیولیت‌ها نیز نتایج قابل قبولی را به دست می‌دهند در حالی که دماهای حاصل از کاربرد آن برای اکلوژیت‌ها بسیار پایین می‌باشد. این فرمول بر اساس کلینوپیروکسن‌های با Al پایین طراحی شده که بیشتر در آمفیولیت‌ها و اکلوژیت‌ها یافت می‌شوند (ناکامورا و هیراجیما، ۲۰۰۵).

### دهاسنگ تک کلینوپیروکسن<sup>۱</sup>

در این روش که توسط نیمیس و تیلور (۲۰۰۰) ارائه شده، می‌توان با داشتن ترکیب تنها یک کلینوپیروکسن مقدار دما و فشار را بر اساس فرمول زیر محاسبه نمود:

$$T(K) \pm 30 = \frac{23166(\pm 447) + 39.28(\pm 4.27).P(Kbar)}{13.25(\pm 0.32) + 15.32(\pm 2.90).Ti + 4.50(\pm 0.83).Fe - 1.55(\pm 0.29).(Al + Cr - Na) + (Lna_{en}^{px})^2}$$

$$a_{en}^{px} = (1 - Ca - Na - K). \left(1 - \frac{1}{2}(Al + Cr + Na + K)\right)$$

بر اساس فرمول برتراند و مرسیر<sup>۲</sup> (۱۹۸۵، ۱۹۸۶)

$$T_c^{Cpx} = \frac{33696 + 45.45 \cdot P_{kbar}}{17.61 - 8.314 \cdot \ln\left(\frac{1 - X_{Ca}^{M2}}{0.95}\right) - 12.13 \cdot \left(X_{Ca}^{M2}\right)^2}$$

### دهاسنگ کلینوپیروکسن – مذاب

علاوه بر روش مذکور روش‌های دیگری هم تاکنون ارائه شده‌اند که از آن جمله می‌توان به روش دماستنجی کلینوپیروکسن – مذاب توسط پاتیرکا<sup>۳</sup> و همکاران (۱۹۹۶ و ۲۰۰۳) اشاره نمود. در این فرمول با استفاده از ترکیب کلینوپیروکسن و مذاب همراه آن، دما و فشاری که مذاب و کلینوپیروکسن در آن با هم در تعادل بوده‌اند به دست آورده می‌شود. فرمول جدیدتری که ارائه نمودند برای سنگ‌های تحت اشباع از آب و غنی از سیلیس (تا ۷۱/۳ درصد وزنی) نیز قابل استفاده است.

<sup>۱</sup> Single clinopyroxene thermometry

<sup>۲</sup> Bertrand and Mercier

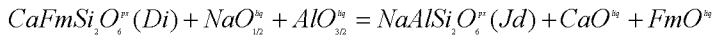
<sup>۳</sup> Putirka

این دماستنج بر پایه تعادل‌های زیر می‌باشد (موردیک و گلازنر<sup>۱</sup>، ۲۰۰۶):

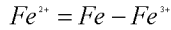
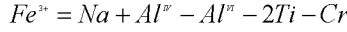
واکنش الف:



واکنش ب:



که در آن Jd و Di به صورت ژادئیت و دیوپسید بوده و مقادیری مانند  $Ca^{liq}$  جزء کاتیونی اکسید موجود در مذاب می‌باشند. جزء‌های مولی ترکیبات پیروکسن (مانند  $Jd^{cpx}$ ) با توجه به مقادیر نورماتیو این سنگ به دست می‌آیند. منظور از مقدار همان  $FeO + MgO$  برابر با  $Fe_2O_3$  ۰.۹ است. در مورد Fm محاسبه مقادیر مربوط به پیروکسن نیز دو رابطه زیر پیشنهاد شده‌اند:



در این روش کاتیون‌های موجود در کلینوپیروکسن‌ها بر اساس ۶ اتم اکسیژن محاسبه می‌شوند. در ابتدا فرمول‌های مربوط به محاسبه دما و فشار تبلور کلینوپیروکسن‌ها که توسط پاتیرکا و همکاران (۱۹۹۶) ارائه شده به این صورت بوده‌اند:

$$P(MPa) = -5.430 + 2.99T(K)$$

$$+ 0.364T(K) \ln \left[ \frac{Jd^{r*}}{\left[ Si^{liq} \right] \times Na^{liq} \times Al^{liq}} \right]$$

$$- 36.700 \left[ Na^{liq} \times Al^{liq} \right]$$

$$\frac{10^4}{T(K)} = 6.73 - 0.26 \times \ln \left[ \frac{Jd^{r*} \times Ca^{liq} \times Fm^{liq}}{DiHd^{r*} \times Na^{liq} \times Al^{liq}} \right]$$

$$- 0.86 \times \ln \left[ \frac{Mg^{liq}}{Mg^{liq} + Fe^{liq}} \right] + 0.52 \times \ln \left[ Ca^{liq} \right]$$

<sup>۱</sup> Mordick and Glazner

فرمول‌های جدیدتر مربوط به این روش که توسط پاتیرکا و همکاران (۲۰۰۳) ارائه شده‌اند، عبارت هستند از:

$$\begin{aligned} P(Kbar) = & -88.3 + 2.82 \times 10^{-3} \times T(K) \times \ln \left[ \frac{[Jd^{cpx}]}{[Na^{liq} Al^{liq} (Si^{liq})^2]} \right] + 2.19 \times 10^{-2} \times T(K) - \\ & 25.1 \times \ln[Ca^{liq} Si^{liq}] + 7.03 \times [Mg^{liq}] + 12.4 \times \ln[Ca^{liq}] \\ \frac{10^4}{T(K)} = & 4.60 - 4.37 \times 10^{-1} \times \ln \left[ \frac{[Jd^{cpx} Ca^{liq} Fm^{liq}]}{[DiHd^{cpx} Na^{liq} Al^{liq}]} \right] - 6.54 \times 10^{-1} \times \ln[Mg^{liq}] - \\ & 3.26 \times 10^{-1} \times \ln[Na^{liq}] - 6.32 \times 10^{-3} \times [P(Kbar)] - 0.92 \times \ln[Si^{liq}] + 2.74 \times 10^{-1} \times \ln[Jd^{cpx}] \end{aligned}$$

محاسبه مقادیر مختلف در این فرمول به صورت زیر می‌باشد:

(۱)  $Jd$  برابر با  $Al^{VI}$  یا  $Na$  (هر کدام که کمتر است);

(۲) اگر پس از تشکیل  $Jd$  از مقدار  $Al^{VI}$  اضافه آمد، مقدار  $CaTs$  برابر با  $Al^{VI}-Jd$  خواهد بود؛

(۳) اگر  $Al^{IV}$  بیشتر از  $CaTs$  بود، مقدار  $CaTi$  برابر با  $(Al^{IV}-CaTs)/2$  خواهد شد؛

(۴) مقدار  $CrCaTs$  نیز برابر با  $Cr/2$  می‌باشد؛

(۵) مقدار  $DiHd^{cpx}$  به صورت جزء مولی  $DiHd^{cpx} = \frac{1}{1 + \frac{Molar\ weight\ of\ DiHd^{cpx}}{Molar\ weight\ of\ CrCaTs}}$  موجود در  $Ca-CaTi-CaTs-CrCaTs$  است؛

(۶) مقدار  $EnFs$  برابر با  $(Fm-DiHd/2)$  است.

### دماسنجه پیروکسن

بر خلاف روش‌های یاد شده که بر مبنای محاسبات و دارای فرمول می‌باشند، روش دماسنجه دو پیروکسن<sup>۱</sup> که توسط لیندلسلي<sup>۲</sup> (۱۹۸۳) ارائه شده، گرافیکی و تجربی است (شکل ۲). البته روش‌های محاسباتی زیر نیز ارائه گردیده‌اند:

<sup>1</sup> Two Pyroxene Thermometry

<sup>2</sup> Lindsley

برتراند و مرسیر (۱۹۸۶، ۱۹۸۵):

$$\text{Ca}_{\text{Cpx}}^{\$} = \frac{X_{\text{Ca}}^{\text{M2}}}{1 - X_{\text{Na}}^{\text{M2}}} + \left( -0.77 + 10^{-3} T_{\text{C}}^{\text{Cpx}} \right) \cdot \left( \frac{\text{Fe}_{\text{tot}}^{2+}}{\text{Fe}_{\text{tot}}^{2+} + \text{Mg}_{\text{tot}}} \right)$$

$$\text{Ca}_{\text{Opx}}^{\$} = \frac{X_{\text{Ca}}^{\text{M2}}}{1 - X_{\text{Na}}^{\text{M2}}} \quad K = \frac{1 - \text{Ca}_{\text{Cpx}}^{\$}}{1 - \text{Ca}_{\text{Opx}}^{\$}}$$

$$T_{\text{C}} = \frac{36273 + 39.9 \cdot P_{\text{kbar}}}{19.31 - 8.314 \cdot \ln K - 12.15 \cdot \left( \text{Ca}_{\text{Cpx}}^{\$} \right)^2}$$

بری و کوهلر<sup>۱</sup> (۱۹۹۰):

الف) برای توزیع Ca:

$$\text{Ca}_{\text{Px}}^* = \frac{\text{Ca}_{\text{Cpx}}}{1 - \text{Na}_{\text{Cpx}}} \quad \text{Fe}_{\text{Px}}^* = \frac{\text{Fe}_{\text{tot}}^{2+}}{\text{Fe}_{\text{tot}}^{2+} + \text{Mg}_{\text{tot}}} \quad K_D = \frac{1 - \text{Ca}_{\text{Cpx}}^*}{1 - \text{Ca}_{\text{Opx}}^*}$$

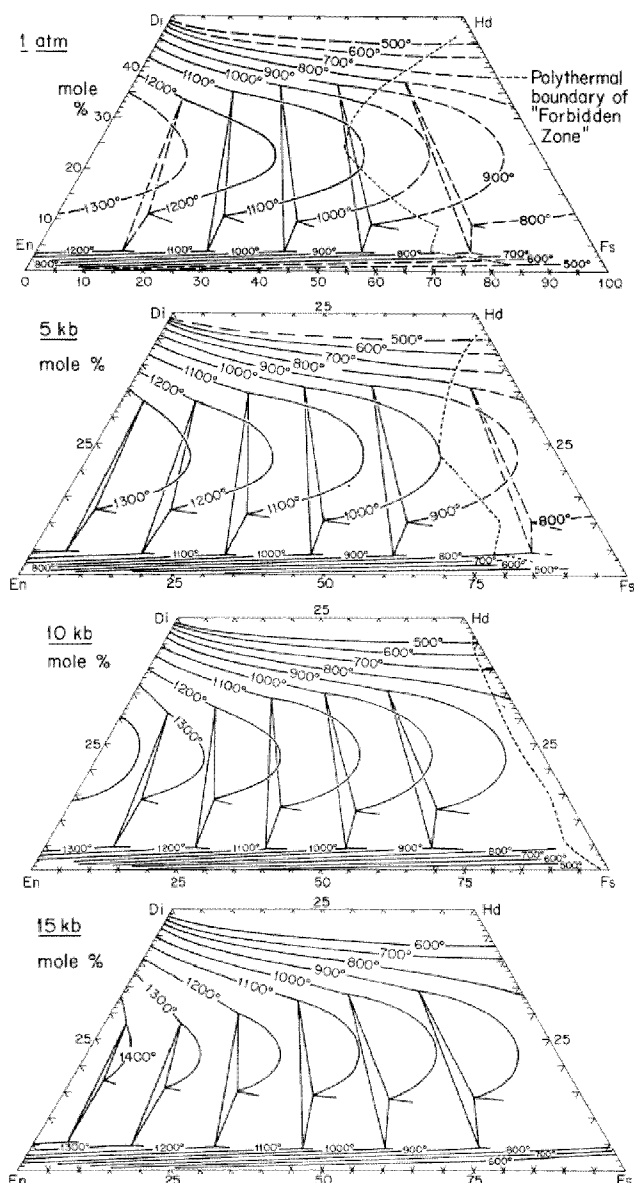
$$T_{\text{C}} = \frac{23664 + P_{\text{kbar}} \cdot \left( 24.9 + \left( 126.3 \cdot \text{Fe}_{\text{Cpx}}^* \right) \right)}{13.38 + \left( \ln K_D \right)^2 + \left( 11.59 \cdot \text{Fe}_{\text{Opx}}^* \right)} - 273.15$$

ب) برای توزیع Na: اگر مقدار Na در کلینوپیروکسین برابر با صفر شود

آنگاه دمای بهدست آمده با استفاده از این روش برابر صفر خواهد بود.

$$D_{\text{Px}}^{\text{Na}} = \frac{\text{Na}_{\text{Opx}}}{\text{Na}_{\text{Cpx}}} \quad T_{\text{C}} = \frac{35000 + 61.5 \cdot P_{\text{kbar}}}{\left( \ln D_{\text{Px}}^{\text{Na}} \right)^2 + 19.8} - 273.15$$

<sup>۱</sup> Brey and Köhler

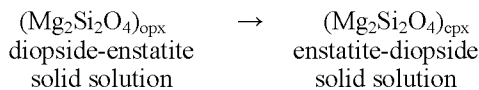


شکل ۲: نمودار پیروکسن‌ها در دما و فشارهای مختلف (برگرفته از لیندلسلي، ۱۹۸۳).

### دهمندج کلینوپیروکسن – ارتوپیروکسن

به طور کلی دماسنجد پیروکسن‌های همزیست بر پایه توزیع یون‌های Ca و Na در محدوده محلول جامد بین این دو کانی استوار می‌باشد. این دماسنجدی‌ها معادلات

جبری می‌باشند که برای واکنش کلی زیر نوشه شده‌اند:



موری<sup>۱</sup> (۱۹۷۸) توانست به طور تجربی فازهای تعادلی ساب‌سولیدوس پیروکسن در سیستم CaO-MgO-FeO-SiO<sub>2</sub> را در فشار ۱۵ و ۳۰ کیلوبار و دمای ۱۲۰۰ درجه سانتی گراد مشخص نماید. در حالی که روابط فازی در فشار ۳۰ کیلوبار و دمای ۱۲۰۰ درجه سانتی گراد به گونه‌ای است که تنها فاز کلینوپیروکسن و ارتوپیروکسن داریم اما در ۱۵ کیلوبار و ۱۲۰۰ درجه سانتی گراد روابط فازی با پیدایش یک نامیزاكی بین دو کلینوپیروکسن پیچیده می‌شود. در این مطالعه بر اساس مطالعات تجربی نشان داده شده است که پایداری کلینوپیروکسن‌های بدون کلسیم در فشار ۱۵ کیلوبار و دمای ۱۲۰۰ درجه سانتی گراد و نیز در ۳۰ کیلوبار و ۱۴۵۰ درجه سانتی گراد بیشتر می‌باشد.

توزیع فلزات واسطه بین کلینوپیروکسن و ارتوپیروکسن با  $D_M$  نمایش داده می‌شود و عبارت از فراوانی عنصر M در واحد فرمولی کانی ارتوپیروکسن به فراوانی همان عنصر (M) در واحد فرمولی کلینوپیروکسن همزیست با ارتوپیروکسن می‌باشد. فاکتور  $D_M$  اساساً بوسیله دما و به میزان کمتر با فشار کنترل می‌گردد. تغییرات فراوانی عناصر اصلی در پیروکسن‌ها بر روی  $D_M$  تأثیر نمی‌گذارد. طی تحقیقاتی که توسط سیتز<sup>۲</sup> و همکاران (۱۹۹۹) صورت گرفته است، مشخص گردید که یک رابطه مستقیم میان  $\ln D_M$  و دمای تشکیل سنگ با ضریب دقت بسیار خوب

<sup>1</sup> Mori

<sup>2</sup> Seitz

در حدود ۹۵۰/۹۸۱ تا ۰/۰ وجود دارد. بهمین دلیل از توزیع فلزات واسطه بین ارتوپیروکسن‌ها و کلینوپیروکسن‌های همزیست در پریدوتیت‌ها و وسترویت‌ها می‌توان به عنوان یک دماستنج استفاده نمود.

$$T_{\text{Mn}} = \frac{-0.02 \cdot P - 2229}{-1.37 - \ln D_{\text{Mn}}} \quad T_{\circ} = \frac{11.00 \cdot P + 2829}{1.56 - \ln D_{\circ}}$$

در معادلات بالا،  $T = \ln D_x = a_1 \cdot \frac{P}{T} + a_2 \cdot \frac{1}{T} + a_3$  براساس درجه کلوین و  $P$  بر حسب کیلوبار می‌باشد.

فرمول ارائه شده توسط وود و بانو<sup>۱</sup>، ۱۹۷۳ چنین می‌باشد:

$$K_D = \frac{a_{\text{En}}^{\text{Cpx}}}{a_{\text{Opx}}^{\text{Cpx}} \cdot a_{\text{En}}^{\text{Opx}}} \quad T_C = \frac{-10202}{\ln K_D - 7.65 \cdot \left( \frac{\text{Fe}^{2+}}{\text{Fe}^{2+} + \text{Mg}} \right)_{\text{Opx}} + 3.88 \cdot \left( \frac{\text{Fe}^{2+}}{\text{Fe}^{2+} + \text{Mg}} \right)_{\text{Opx}} - 4.6} - 273.15$$

نهر و وایلی<sup>۲</sup> (در ۳۰ کیلوبار): (در ۱۹۷۴)

$$T_C = \frac{-5006}{\ln K_D - 1.72} - 273.15$$

هرزبرگ و چاپمن<sup>۳</sup> (در ۱۲ و ۱۶ کیلوبار):

$$T_C = \frac{-8392}{\ln K_D - 3.64} - 273.15 \quad T_C = \frac{-8494}{\ln K_D - 3.58} - 273.15$$

ولز<sup>۴</sup> نیز در سال ۱۹۷۷ فرمول زیر را پیشنهاد نموده است:

$$T_{\circ} = \frac{7341}{3.355 + 2.44 \cdot X_{\text{Mg}}^{\text{ox}} - \ln K} - 273.15$$

متغیرهای دو معادله بالا به صورت زیر تعریف می‌گردند:

$$a_{\text{Mg}_2\text{Si}_2\text{O}_6}^{\text{cpx}} = \left( X_{\text{Mg}}^{\text{M}_2} \cdot X_{\text{Mg}}^{\text{M}_1} \right)_{\text{cpx}} \quad a_{\text{Mg}_2\text{Si}_2\text{O}_6}^{\text{opx}} = \left( X_{\text{Mg}}^{\text{M}_2} \cdot X_{\text{Mg}}^{\text{M}_1} \right)_{\text{opx}}$$

<sup>1</sup> Wood and Banno

<sup>2</sup> Nehru and Wyllie

<sup>3</sup> Herzberg and Chapman

<sup>4</sup> Wells

این دو به ترتیب اکتیویته کلینوپیروکسن و ارتوپیروکسن می‌باشدند و

$$X_{Fe}^{opx} = \frac{Fe^{+2}}{Fe^{+2} + Mg^{+2}}$$

می‌باشد.

بری و کوهلر نیز در سال ۱۹۹۰ فرمول زیر را ارائه نموده‌اند:

$$T_c = \frac{23664 + (24.9 + 126.3 X_{Fe}^{opx}) \cdot P_{\text{atm}}}{13.38 + (\ln K^*)^2 + 11.59 X_{Fe}^{opx}} - 273.15$$

در این واکنش  $KD$  به صورت زیر تعریف می‌گردد:

$$KD^* = \frac{\left(1 - N_{Ca}^{opx} / (1 - N_{Na}^{opx})\right)}{\left(1 - N_{Ca}^{opx} / (1 - N_{Na}^{opx})\right)}$$

در روش بری و کوهلر (۱۹۹۰) هیچ گونه وابستگی منظم به معیارهای دمایی، فشاری و ترکیبی وجود ندارد و برای محدوده گسترده‌ای از ترکیبات سنگی با کمترین خطا قابل استفاده است. متأسفانه تاکنون روشی دقیق برای تعیین فشار در پریدوتیت‌های گوشه ارائه نشده است، بهمین دلیل برای وضوح بیشتر در محاسبات انجام شده برای تمامی نمونه‌ها فشار ثابت ۱۵ Kbar فرض گردید (ویت-ایکشن و اوئنیل<sup>۱</sup>، ۲۰۰۵). هرچند خوب‌بختانه این روش نسبت به فشار حساس نمی‌باشد.

### دماستنج الیوین - اسپینل

در سنگ‌های مافیک و اولترامافیک که حاوی اسپینل می‌باشند، دمای به‌دست آمده از دماستنج الیوین - اسپینل تحت تأثیر ضریب جدایش عناصر آهن و منیزیم بین الیوین و اسپینل می‌باشد. ضریب جدایش فوق الذکر نیز خود شدیداً وابسته به تغییرات ترکیبی در دمای ساب سولیدوس است (مک کاللوم، ۲۰۰۰). در نتیجه دمای حاصل از دماستنج الیوین - اسپینل به تغییرات ترکیبی صورت گرفته در دمای ساب سولیدوس وابسته می‌باشد. روش الیوین - اسپینل بر اساس تبادل و

<sup>۱</sup> Witt-Eickschen and O'Neill

جابجایی یون‌های  $Mg^{2+}$ - $Fe^{2+}$  در بین دو کانی ذکر شده می‌باشد. معادله زیر مربوط به دماستنجی فابریز، ۱۹۷۷ می‌باشد:

$$T_C = \frac{4250 \cdot Y_{Spl}^{Cr} + 1343}{\ln K_{D2} + 1.825 \cdot Y_{Spl}^{Cr} \cdot 0.571} - 273.15$$

که در آن  $K_{D2} = \ln K_{D1} - 4 \cdot Y_{Spl}^{Fe^{2+}}$  می‌باشد.

همچنین رودر و همکاران<sup>۱</sup> (۱۹۷۹) فرمول زیر را طراحی نمودند:

$$K_{D1} = \frac{X_{Ol}^{Mg} \cdot X_{Spl}^{Fe^{2+}}}{X_{Spl}^{Mg} \cdot X_{Ol}^{Fe^{2+}}}$$

$$T_C = \frac{3480 \cdot Y_{Spl}^{Cr} + 1018 \cdot Y_{Spl}^{Al^{vi}} - 1720 \cdot Y_{Spl}^{Fe^{3+}} + 2400}{2.23 \cdot Y_{Spl}^{Cr} + 2.56 \cdot Y_{Spl}^{Al^{vi}} - 3.08 \cdot Y_{Spl}^{Fe^{3+}} - 1.47 - 1.987 \cdot \ln K_{D1}} - 273.15$$

روش بالهاس و همکاران<sup>۲</sup> (۱۹۹۱) طبق معادله زیر می‌باشد:

$$T_C = \frac{A + [16150 \cdot X_{Spl}^{Cr} + (25150 \cdot (X_{Spl}^{Fe^{4+}} + X_{Spl}^{Ti}))]}{R \cdot \ln K_{D1} + 4.705} - 273.15$$

متغیر A در معادله بالا به صورتی که در زیر آورده شده است محاسبه می‌گردد:

$$A = 6350 + 280 \cdot P_{GPa} + [(7000 + 108 \cdot P_{GPa}) \cdot (1 - 2 \cdot X_{Ol}^{Fe^{4+}})] - [1960 \cdot (X_{Spl}^{Mg} - X_{Spl}^{Fe^{4+}})]$$

### دماستنج تیتانیم موجود در بیوتیت

کانی بیوتیت از میزان‌های مهم Ti در متاولکانیک‌ها و متادیابازها محسوب می‌شود، از این رو از دماستنج Ti در بیوتیت برای تعیین دمای تشکیل بیوتیت‌ها استفاده می‌شود. علاوه بر این مقدار Ti بیوتیت می‌تواند به عنوان یک دماستنج برای متاپلیت‌های غنی از آلومینیم و گرافیتی که حاوی ایلمینیت یا روتیل است و در فشارهای ۴-۶ کیلوبار به تعادل رسیده‌اند به کار گرفته شود. همچنین مقدار Ti موجود در بیوتیت به عنوان تابعی از تغییرات دما در سنگ‌های دگرگونی شناخته

<sup>۱</sup> Roeder, Campbell and Jamieson

<sup>۲</sup> Ballhaus, Berry and Green

شده است (انگل و انگل<sup>۱</sup>، ۱۹۶۰؛ کوآک<sup>۲</sup>، ۱۹۶۸؛ رابت<sup>۳</sup>، ۱۹۷۶؛ دیمک<sup>۴</sup>، ۱۹۸۳؛ پاتینودوس، ۱۹۹۳).

به هر حال عواملی که بر مقدار Ti موجود در بیوتیت تأثیر می‌گذارند صرفاً به تغییرات دما محدود نمی‌باشند؛ بلکه عوامل فشار، شیمی بلورهای بیوتیت و مجموعه کانی‌های همراه آنها نیز مهم می‌باشد (دیمک، ۱۹۸۳؛ هنری و گویدوتی<sup>۵</sup>، ۲۰۰۲). دما بیشترین تأثیر را بر روی کنترل مقدار Ti در بیوتیت دارد. افزایش فشار تأثیر متضادی دارد به این معنی که مقدار Ti جایگزین شده با افزایش فشار، کاهش می‌باید (فربس و فلاور<sup>۶</sup>، ۱۹۷۴؛ رابت، ۱۹۷۶؛ آریما و ادگار<sup>۷</sup>، ۱۹۸۱؛ ترانس<sup>۸</sup> و همکاران، ۱۹۸۵) (منابع موجود در هنری و همکاران، ۲۰۰۵). به این ترتیب افزایش دما موجب افزایش مقدار Ti و افزایش فشار موجب کاهش آن می‌شود (رابت، ۱۹۷۶). البته این روش برای بررسی شرایط ترمودینامیکی سنگ‌های متاپلیتی پرآلومین در فشارهای کم تا متوسط و نیز سنگ‌های دگرگونی پرآلومین پیشنهاد شده است و برای محدوده دمایی ۴۸۰ تا ۸۰۰ درجه سانتی‌گراد مقادیر دمایی منطقی را (با خطای تقریبی  $\pm 24^{\circ}\text{C}$ ) ارائه می‌نماید (هنری و همکاران، ۲۰۰۵). این معادله برای  $T = 480 - 800^{\circ}\text{C}$  و  $\text{Ti} = 0.04 - 0.60 \text{ apfu}$   $X_{\text{Mg}} = 0.275$  معتبر می‌باشد (هنری و همکاران، ۲۰۰۵). هنری و همکاران (۲۰۰۵) فرمول این دماسنجه را به صورت زیر بیان نموده‌اند:

$$\text{T } (\text{ }^{\circ}\text{C}) = \{( \text{Ln}(\text{Ti}) + 2.3594 + 1.7283(X_{\text{Mg}})^3 ) / (4.6482 \times 10^{-9}) \}^{0.333}$$

و در آن Ti، تعداد اتم‌های تیتانیم محاسبه شده در فرمول ساختاری (a.p.f.u.)

<sup>1</sup> Engel and Engel

<sup>2</sup> Kwak

<sup>3</sup> Robert

<sup>4</sup> Dymek

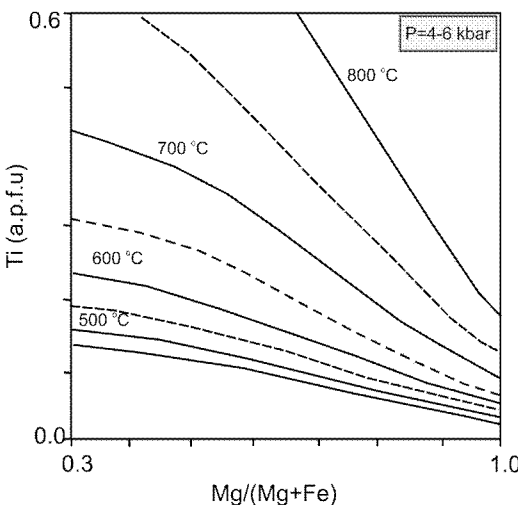
<sup>5</sup> Henry and Guidotti

<sup>6</sup> Forbes and Flower

<sup>7</sup> Arima and Edgar

<sup>8</sup> Tronnes

بیویتیت بر اساس ۲۲ اتم اکسیژن و  $X_{\text{Mg}} = \text{Mg}/(\text{Mg} + \text{Fe})$  می‌باشد. میزان Ti در بیویتیت به طور کلی با افزایش مقدار Fe افزایش می‌یابد (آریما و ادگار، ۱۹۸۱؛ آبرکت و هویت<sup>۱</sup>، ۱۹۸۸). دمای حاصل از روش دماسنج Ti در تک کانی بیویت، با استفاده از تصویرگیری مقادیر  $\text{Ti}$  و  $(\text{Mg} \# = \text{Mg}/(\text{Mg} + \text{Fe}))$  بر روی شکل ۳ نیز قابل تخمین است.



شکل ۳: تعیین دمای تشکیل بیویتیت با استفاده از دماسنج Ti (هنری و همکاران، ۲۰۰۵).

### دماسنجی بر اساس ترکیب آمفیبول

بر اساس مطالعات بلوندی و هلند<sup>۲</sup> (۱۹۹۰)، اندرسون<sup>۳</sup> (۱۹۹۷)، ارنست و لیو<sup>۴</sup> (۱۹۹۸)، هلند و بلوندی<sup>۵</sup> (۱۹۹۴) با افزایش درجه دگرگونی، میزان عناصر Ti، Li، Na، Al و K موجود در آمفیبول کلسیم‌دار نیز افزایش می‌یابد، ولی مقدار Si و Fe+Mg+Mn-Ca کاهش می‌یابد.

<sup>1</sup> Abrecht and Hewitt

<sup>2</sup> Blundy and Holland

<sup>3</sup> Anderson

<sup>4</sup> Ernst and Liu

<sup>5</sup> Holland and Blundy

به عبارتی با افزایش دما، Al مایل است تا جای Si را در تتراهرال‌های آمفیبیول‌های کلسیم‌دار بگیرد در حالی که با افزایش فشار، Al به جای Mg+Fe موجود در اکتاهرال M<sub>2</sub> می‌نشیند (راس<sup>۱</sup>، ۱۹۷۴؛ هاوتورن، ۱۹۸۱؛ گیلبرت<sup>۲</sup> و همکاران، ۱۹۸۲؛ اشمیت<sup>۳</sup>، ۱۹۹۲؛ اندرسون و اسمیت<sup>۴</sup>، ۱۹۹۵؛ استین و دایتل<sup>۵</sup>، ۲۰۰۱). به این ترتیب می‌توان گفت که با افزایش فشار و دما مقدار Al<sub>2</sub>O<sub>3</sub> به عنوان تابعی از این دو افزایش می‌باید (ارنسن و لیو، ۱۹۹۸). از سویی دیگر با افزایش دما، عنصر Ti در سایت M<sub>2</sub> آمفیبیول افزایش می‌باید (راس، ۱۹۷۴). البته به دلیل شعاع یونی بزرگ‌تر Ti نسبت به Al، کمتر تحت تأثیر فشار قرار می‌گیرد. به همین دلیل می‌توان گفت که میزان Ti در آمفیبیول‌های کلسیم‌دار با دما رابطه مستقیم ولی با فشار رابطه تقریباً معکوس دارد (ارنسن و لیو، ۱۹۹۸).

### دماستنج هورنبلند - پلازیوکلاز

دماستنج هورنبلند - پلازیوکلاز بر اساس میزان Al<sup>IV</sup> و Si موجود در موقعیت تترائدر هورنبلند و نوع پلازیوکلاز همراه آن، در سنگ‌های اشباع از سیلیس است. این دماستنج برای سنگ‌های مربوط به رخساره شیست سبز تا گرانولیت قابل استفاده می‌باشد (بلوندی و هلند، ۱۹۹۰).

تا کنون سه کالیبراسیون مختلف توسط بلوندی و هلند (۱۹۹۰) و هلند و بلوندی (۱۹۹۴) برای این دماستنج ارائه شده است که دو مورد از آنها بر پایه واکنش ترمولیت - ادنیت یعنی واکنش ۱ و دیگری بر اساس واکنش ادنیت - ریشتريت یعنی واکنش ۲ می‌باشد:

<sup>1</sup> Raase

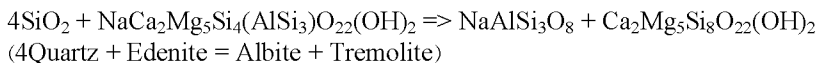
<sup>2</sup> Gilbert

<sup>3</sup> Schmidt

<sup>4</sup> Anderson and Smith

<sup>5</sup> Stein and Dietl

## واکنش ۱:



## واکنش ۲:



در ابتدا بلوندی و هلند (۱۹۹۰) یک دماستنج تجربی بسیار ساده را ارائه نمودند که بر پایه واکنش ترمولیت - ادنیت بود و می‌توان آن را برای سنگ‌های آذرین فلزیک تا حد واسطه کوارتزدار که دارای پلاژیوکلاز با  $\text{An} \leq 0.92$  هستند و میزان Si در فرمول ساختاری هورنبلندها کمتر یا مساوی  $7/8$  اتم در واحد فرمول (p.f.u)<sup>۱</sup> است، استفاده نمود. این دماستنج برای دماهای بین ۵۰۰ تا ۱۱۰۰ درجه سانتی‌گراد کالیبره شده است و فرمول آن به صورت زیر می‌باشد:

$$T(\pm 311^\circ\text{K}) = \frac{0.677 \times P_{\text{Kbar}} - 48.98}{-0.0429 - 0.0083144 \times \ln \left\{ \left( \frac{\text{Si} - 4}{8 - \text{Si}} \right) \times X_{\text{Ab}}^{\text{Pig}} \right\}}$$

در این فرمول Si همان تعداد اتم Si موجود در هورنبلندها بر حسب p.f.u است و  $X_{\text{Ab}}^{\text{Pig}}$  میزان آلبیت موجود در پلاژیوکلاز می‌باشد. در هنگام محاسبه دما میزان خطای این فرمول در حدود  $\pm 311$  درجه کلوین می‌باشد.

البته این کالیبراسیون در دماهای بسیار بالا و تنها برای برخی لیتولوژی‌ها قابل استفاده است (پلی و اشمت<sup>۲</sup>، ۱۹۹۲)، لذا هلند و بلوندی (۱۹۹۴) دوباره این دماستنج را کالیبره کردند و آن را به همه اجزایی که در واکنش ادنیت - ترمولیت شرکت می‌کنند تعیین دادند. با تغییراتی که هلند و بلوندی (۱۹۹۴) بر روی این دماستنج دادند این دماستنج برای سنگ‌های متابازیت کوارتزدار نیز قابل استفاده شد:

<sup>1</sup> Or a.p.f.u.=atom per formula unit

<sup>2</sup> Poli and Schmidt

$$T(\pm 313^{\circ}K) = \frac{-76.95 + 0.79 \times P_{(Kbar)} + 39.4 \times X_{Na}^A + 22.4 \times X_K^A + (41.5 - 2.89 \times P_{(Kbar)}) \times X_{Al}^{M2}}{-0.0650 - 0.0083144 \times \ln\left(\frac{27 \times X_{vac}^A X_{Si}^T X_{Ab}^{P\lg}}{256 \times X_{Na}^A X_{Al}^T}\right)}$$

البته این کالیبراسیون به دلیل به کار گیری پارامترهای زیاد که همه بر دمای محاسبه شده مؤثر هستند، دارای خطأ در محاسبات می‌باشد.

این فرمول برای دماهای ۴۰۰ تا ۹۰۰ درجه سانتی گراد کالیبره شده و در صورتی بهترین نتیجه را ارائه می‌کند که در پلازیوکلاز  $X_{An} < 0.90$  بوده و هورنبلندها هم دارای  $Al^{VI} < 1.8$  p.f.u. و  $Si = 6.0 - 7.7$  p.f.u.  $Na^A > 0.02$  p.f.u. باشند.

### دماستنج پلازیوکلاز – آلكالی فلدوپار

کالیبراسیون‌های<sup>۱</sup> مربوط به این دماستنج توسط افراد مختلفی همچون الکیتز و گروو<sup>۲</sup> (۱۹۹۰)، فهرمن و لیندلسلي<sup>۳</sup> (۱۹۸۸)، گرین و آسدانسکی<sup>۴</sup> (۱۹۸۶)، هسلتون<sup>۵</sup> و همکاران (۱۹۸۳)، لیندلسلي و نکواسیل<sup>۶</sup> (۱۹۸۹) و نکواسیل و برنهم<sup>۷</sup> (۱۹۸۷) ارائه شده است.

فرمول پیشنهادی هسلتون و همکاران (۱۹۸۳):

$$T_k = \frac{\left(X_{\text{or}}^{\text{g}}\right)^2 \left(18810 + 17030X_{\text{ab}}^{\text{g}} + 0.364P\right) - \left(X_{\text{or}}^{\text{p}}\right)^2 \left(28230 - 39520X_{\text{ab}}^{\text{p}}\right)}{10.3\left(X_{\text{or}}^{\text{g}}\right)^2 + 8.3143 \ln\left\{\frac{\left(X_{\text{ab}}^{\text{p}}\right)^2 (2 - X_{\text{ab}}^{\text{p}})}{X_{\text{ab}}^{\text{g}}}\right\}}$$

### دماستنجی بر اساس ترکیب پرهنیت

پرهنیت نیز همانند بسیاری دیگر از کالک‌سیلیکات‌ها تابعیتی نسبت به تغییرات دما حساس می‌باشد (لیو<sup>۸</sup> و همکاران، ۱۹۸۳). این کانی در دمایی در حدود ۲۲۰ درجه سانتی گراد تشکیل می‌شود و می‌تواند تا دمای ۳۲۰ درجه

<sup>1</sup> Calibration

<sup>2</sup> Elkins and Grove

<sup>3</sup> Fuhrman and Lindsley

<sup>4</sup> Green and Usdansky

<sup>5</sup> Haselton

<sup>6</sup> Lindsley and Nekvasil

<sup>7</sup> Nekvasil and Burnham

<sup>8</sup> Liou

سانتی گراد نیز پایدار بماند (برد<sup>۱</sup> و همکاران، ۱۹۸۴؛ یانگمن<sup>۲</sup>، ۱۹۸۴؛ ریس<sup>۳</sup>، ۱۹۹۰). البته پرهنیت به اندازه کانی اپیدوت یا لامونیت کانی مناسبی به منظور دماسنجی نیست، زیرا ارتباط منطقی بین دمای تشکیل پرهنیت با ترکیب آن دیده نمی‌شود. با وجود این، لیو و همکاران (۱۹۸۳) معتقد هستند که با کاهش دما،  $Fe^{3+}$  به جای  $Al^{3+}$  جانشین شده و پرهنیت از لحاظ آهن غنی تر می‌شود.

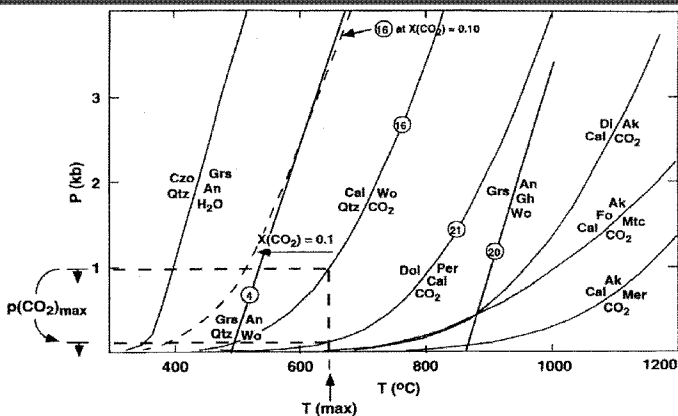
### دماسنجی اسکارن‌ها بر اساس مجموعه کانی‌ها

از آن جایی که کانی‌شناسی اسکارن‌ها تابعی از شرایط فیزیکی و شیمیابی آنها می‌باشد لذا می‌توان با استناد به پایداری کانی‌های آنها به شرایط فشار و دمای حاکم بر این سنگ‌ها پی برد. اسکارن‌ها از نظر شیمیابی در سیستم باز (متاسوماتیسم) تشکیل می‌شوند و علاوه بر دما و فشار، متغیرهای شیمیابی زیادی بر ترکیب کانی‌شناسی آنها اثر می‌گذارد. در شکل ۴ تعادل‌های فازی مربوط به کانی‌های موجود در اسکارن‌ها در شرایط دما و فشارهای مختلف نمایش داده شده است. همان طوری که در شکل ۴ مشاهده می‌شود  $XCO_2$  می‌تواند بر شرایط دما، فشار پایداری کانی‌ها مؤثر باشد. به طوری که افزایش آن موجب کاهش دمای پایداری کانی‌ها می‌شود ولی بر مقدار فشار تأثیری ندارد.

<sup>1</sup> Bird

<sup>2</sup> Youngman

<sup>3</sup> Reyes



شکل ۴: دیاگرام دما- فشار مربوط به شرایط دما و فشار تشکیل اسکارن. تعادل‌های فازی توسط برنامه GEOCALC محاسبه شده‌اند (برکیتر<sup>۱</sup> و همکاران، ۱۹۸۶). خط چین‌ها کربن‌زدایی در شرایط  $X(\text{CO}_2)$  می‌باشد (برگرفته از باون و اسن<sup>۲</sup>، ۱۹۸۴).

در این شکل خط چین‌ها بیانگر شرایط دما و فشار جدید برای واکنش  $\text{Cc} + \text{Qtz} \rightarrow \text{Wo} + \text{CO}_2$  است، که نشان می‌دهد حد دمای پایداری ولاستونیت با افزایش  $X(\text{CO}_2)$  از ۰.۱۰ به ۰.۱۵ درجه سانتی گراد کاهش می‌یابد اما در فشار تغییری ایجاد نمی‌شود. بر اساس مطالعات تجربی اسمیرنوف<sup>۳</sup> (۱۹۷۶) دمای تشکیل آندرادیت و گروسو لار در حدود ۹۵۰-۲۲۵ درجه سانتی گراد و در مورد پیروکسن و گارنت در حدود ۵۰۰ تا ۸۰۰ درجه سانتی گراد می‌باشد.

با توجه به محدوده پایداری ولاستونیت، کراسکوف<sup>۴</sup> (۱۹۶۷) معتقد است که در شرایط فشار کم معادل سطح زمین، ولاستونیت حتی می‌تواند در حرارتی کمتر از ۴۰۰ درجه سانتی گراد نیز تشکیل شود ولی با افزایش فشار گاز کربنیک تا ۰/۵ کیلوبار، کوارتز و کلسیت تا دمایی بیش از ۸۰۰ °C پایدار مانده و به ولاستونیت

<sup>1</sup> Perkins

<sup>2</sup> Bowman and Essene

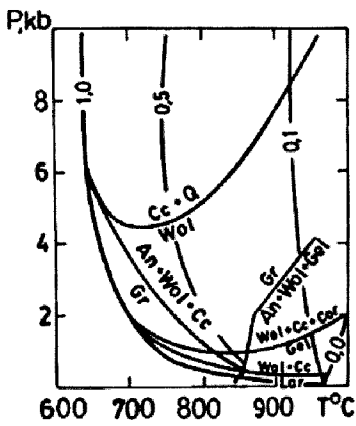
<sup>3</sup> Smirnov

<sup>4</sup> Krauskopf

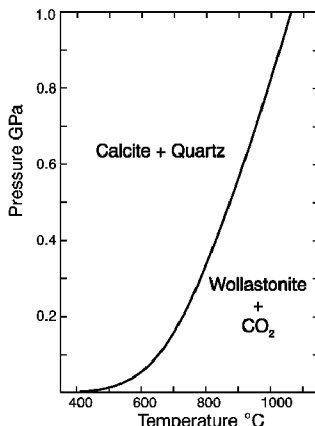
تبدیل نمی‌شوند. اما وجود ولاستونیت در محل تماس با سنگ‌های آذرین می‌تواند بیانگر دمایی بیش از ۴۰۰ درجه سانتی‌گراد برای تشکیل ولاستونیت باشد. بنابراین هرچه میزان  $\text{XCO}_2$  کاسته می‌شود دمای تشکیل ولاستونیت نیز کاهش می‌باید (کراسکوف، ۱۹۶۷). به عبارت دیگر با خروج  $\text{CO}_2$  از محل دگرگونی مجاورتی، تشکیل ولاستونیت بیشتر و سریع‌تر انجام خواهد پذیرفت. مطالعات آکسیوک<sup>۱</sup> (۱۹۹۱) و باومن (۱۹۹۸a) نیز نشان می‌دهند که ولاستونیت در دمای  $86^{\circ}\text{C}$  در فشارهای بالاتر از ۶ کیلوبار و در دمای حدود  $700^{\circ}\text{C}$ ، در فشار بیش از ۴/۴ کیلوبار پایدار نبوده و به  $\text{Cc+Qtz}$  تبدیل می‌شود (شکل‌های ۵ و ۶). از سویی دیگر، گرین‌وود<sup>۲</sup> (۱۹۶۷) و وینکلر<sup>۳</sup> (۱۹۷۶) معتقد هستند که ولاستونیت حتی می‌تواند نشان‌دهنده درجه حرارت‌های بالای دگرگونی یعنی دمای ۶۲۰ تا  $800^{\circ}\text{C}$  باشد.

سانتی‌گراد و شروع رخساره پیروکسن هورنفلس باشد.

<sup>۱</sup> Aksyuk<sup>۲</sup> Greenwood<sup>۳</sup> Winkler

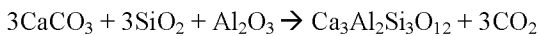


شکل ۴: محدوده دما و فشار مربوط به واکنش:  
مجموعه کانی‌های اسکارن بر روی مذاب گرانیتی  
با وجود سیال  $H_2O$  و  $CO_2$  (بومن و اسن، ۱۹۸۴).  
 اختصارات به کار رفته در شکل عبارت هستند از:  
  $Wol = Wollastonite$ ;  $Cc = Calcite$ ;  $Q = Quartz$ ;  
  $An = Anorthite$ ;  $Gr = Garnet$ ;  $Gel = Gehlenite$ ;  
  $.(Cor = Cordierite)$



شکل ۵: فاز دیاگرام مربوط به واکشن:  
 کلسیت + کوارتز = ولاستونیت +  $CO_2$ .  
 محاسبه شده توسط برنامه SUPCRT با  
 فرض اینکه  $P_{Lith} = P_{CO_2}$  (وینتر، ۲۰۰۱).

از آنجایی که پایداری این کانی به  $P_{(CO_2)}$  محیط نیز بستگی دارد هرچه کاهش یابد، ولاستونیت بیشتری به وجود می‌آید، زیرا واکنش بیشتر می‌تواند در جهت تولید ولاستونیت ( $Cc + Qtz \rightarrow Wol + CO_2$ ) پیش برود. از سویی دیگر کلسیت موجود در این سنگ‌ها علاوه بر شرکت در ساخت ولاستونیت می‌تواند به صورت واکنش زیر در ساخت گروسو لار شرکت کند:



البته این واکنش هم در صورتی که  $XCO_2$  محیط کم باشد رخ می‌دهد. به این ترتیب مشاهده می‌شود که برای تشکیل گروسو لار و ولاستونیت لازم است که  $XCO_2$  کم باشد.

با توجه به ترکیب ماسگما (اسیدی تا بازیک) و اسکارن مربوطه و عمق دگرگونی، باون (۱۹۹۸<sup>a</sup>) معتقد است که بیشترین دما در دگرگونی‌های مجاورتی و اسکارن‌های همراه آنها از ۶۵° درجه سانتی‌گراد کمتر می‌باشد. مطالعات بارنز<sup>۱</sup> (۱۹۷۹) و اینودی<sup>۲</sup> و همکاران (۱۹۸۱) نیز حرارت ۴۰۰–۶۰۰° درجه سانتی‌گراد را برای تشکیل اسکارن پیشنهاد می‌کنند.

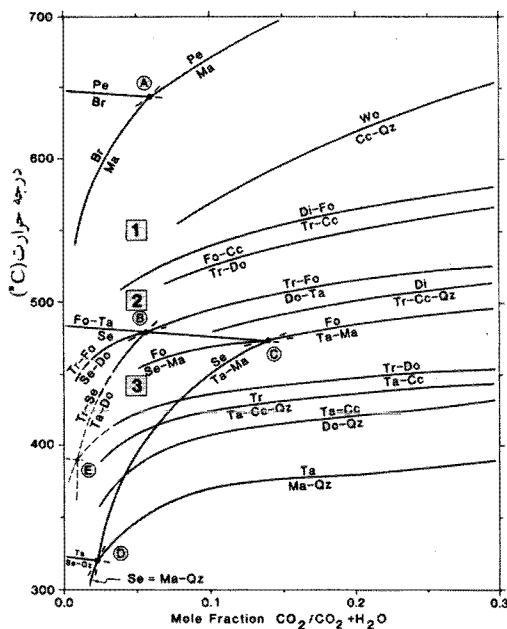
همچنین با توجه به نظر باون (۱۹۹۸<sup>a</sup>) تشکیل ولاستونیت در اغلب موارد در دمای کمتر از ۵۵° درجه سانتی‌گراد می‌باشد، لذا می‌توان گفت که احتمالاً  $P_{CO_2} < 0.1 \text{ kbar}$  بوده است. بنابراین با استناد به مطالعه گفته شده و دمای پایداری هر یک از کانی‌ها می‌توان محدوده دمای دگرگونی و تشکیل انواع کانی‌های موجود در این اسکارن‌ها را در کمتر از ۶۵° درجه سانتی‌گراد و فشار کم  $CO_2$  دانست. بر اساس مطالعات اینودی و همکاران (۱۹۸۱) توزیع Fe بین گارنت و پیروکسن تابعی از  $P_{CO_2}$ ، فعالیت Ca، Si و نیز دما می‌باشد.

مطالعاتی که توسط تیلور و اوئیل (۱۹۷۷) و هوانگ (۱۹۷۶) بر روی سیالات در گیر انجام گرفته نشان می‌دهند که سیالاتی که ضمن دگرگونی و متاسوماتیسم از سنگ‌های آهکی عبور می‌نمایند دارای  $XCO_2$  پایین (کمتر از ۱/۰ درصد) می‌باشد و لذا می‌توان از دیاگرام‌های ۷ و ۸ برای تعیین درجه حرارت استفاده نمود. مثلاً در  $XCO_2 = 0.1$  و فشاری برابر با ۲ کیلوبار، ترمولیت در بالای ۴۲۰ درجه سانتی‌گراد، دیوپسید، آندرادیت و فورستریت بالای ۴۷۵ درجه سانتی‌گراد و ولاستونیت بالای ۵۵۵ درجه سانتی‌گراد تشکیل می‌شوند.

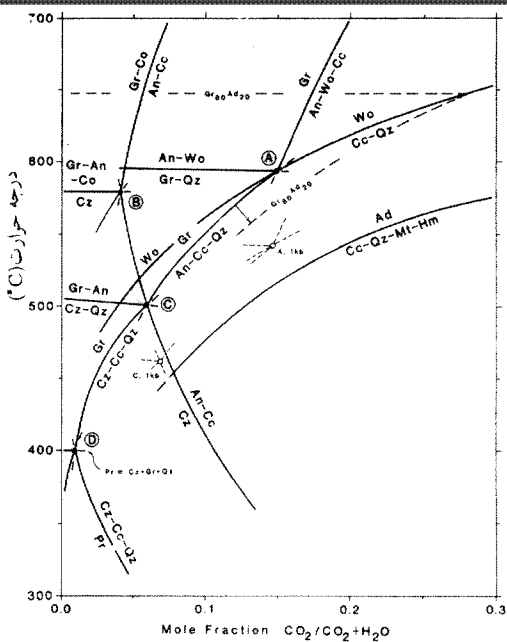
پایین آمدن  $XCO_2$  تا ۰/۰۱ باعث پایین آمدن تمامی این درجه حرارت‌ها به مقدار ۵۰ تا ۱۰۰ درجه سانتی‌گراد می‌شود (شکل ۷). همچنین پایین آمدن فشار به مقدار یک کیلوبار باعث پایین آمدن درجه حرارت به مقدار ۵۰ درجه سانتی‌گراد

<sup>1</sup> Barnes<sup>2</sup> Einaudi

می‌شود (اینودی و همکاران، ۱۹۸۱) (شکل ۸).



شکل ۷: نمودار نسبی  $T\text{-XCO}_2$  برای ترکیبات غنی از آب، در سیستم Ca-Mg-Si-C-O-H، در فشار کل ۲ کیلوبار (برگرفته از اینودی و همکاران، ۱۹۸۱).



شکل ۸: نمودار نسبی  $T\text{-XCO}_2$  برای سیالات غنی از آب، در سیستم Ca-Al-Si-C-O-H، در فشار کل ۲ کیلوبار (برگرفته از اینوودی و همکاران، ۱۹۸۱).

### دماسنجد کلریت

کلریت یک کانی رسی شبیه میکا است که در محیط‌های زمین‌شناسی متعددی نظیر محیط‌های رسوبی، دگرگونی‌های درجه پایین و سنگ‌های دگرانش شده هیدروترمالی یافت می‌شود (دیبر و همکاران، ۱۹۹۲). دماسنجد محلول جامد کلریت توسط کاتلینو و نیوا<sup>۱</sup> (۱۹۸۵) پیشنهاد شده است. در این اندازه گیری تجربی، تعداد اتم‌های تراهدرال Al<sup>IV</sup> در ارتباط با دمای تنشینی است که با یک دیگر رابطه خطی دارند. بنابراین می‌توان فرمول زیر را برای محاسبه دما تعیین نمود ( $T_1$ )

$$T_1(\text{°C}) = 213.3\text{Al}^{\text{IV}} + 17.5$$

<sup>۱</sup> Cathelineau and Nieva

براساس آنالیزهای جدید کلریت و اندازه‌گیری‌های میکروترمومتريک<sup>۱</sup> ادخال‌های سیال در بلورهای کوارتز همراه با کلریت، کاتلينو (۱۹۸۸)، یک رابطه

جدید را بین دما و میزان  $Al^{IV}$  به دست آورده است (T<sub>2</sub>):

$$T\ (^{\circ}C) = -61.92 + 321.98 Al^{IV}$$

دماسنجد اصلی کاتلينو و نیوا (۱۹۸۵) به طور وسیع سودمند واقع نشد. جوت<sup>۲</sup>

(۱۹۹۱) معادله کاتلينو و نیوا (۱۹۸۵) را با در نظر گرفتن تغییر  $Fe/(Fe + Mg)$  در

کلریت، بدین صورت تغییر داد (T<sub>3</sub>):

$$T\ (^{\circ}C) = 319 Al^{IV} - 69$$

$$Al^{IV} = Al^{IV} + 0.1 (Fe / (Fe + Mg))$$

### دماسنجد گارنت-ایلمینیت

این دماسنجد بر اساس توزیع Fe و Mn بین دو کانی گارنت و ایلمینیت هم‌زیست با هم استوار می‌باشد و توسط پانسبای<sup>۳</sup> و همکاران (۱۹۸۷) برای محدوده دمایی ۶۰۰ تا ۹۰۰ درجه سانتی‌گراد، فشار ۲ و ۵ کیلوبار و  $f_{O_2} = QFM$  کالیبره شده است.

فرمول مورد استفاده ایشان به صورت زیر می‌باشد:

$$T_c = \frac{-4089 + 420 \cdot ((2 \cdot X_{Mn}^{lim}) - 1) - 77 \cdot ((2 \cdot X_{SpS}) - 1) - 972 \cdot X_{Grs}}{\left( \frac{R}{4.184} \cdot \ln K_D \right) - 1.44} - 273.15$$

همچنین بر اساس مطالعات و تغییرات بعدی پانسبای و همکاران (۱۹۹۱) این دماسنجد برای دمای ۶۵۰ تا ۱۰۰۰ درجه سانتی‌گراد و فشار ۱۰ کیلوبار و برای گارنت‌های Mn-Ca-Fe دار با نسبت‌های مختلف Fe-Mn کالیبره شده است. طبق

پیشنهاد ایشان فرمول این دماسنجد به صورت زیر می‌باشد:

$$T(^{\circ}C) = \left[ \frac{14918 - 2200(2X_{Mn}^{lim} - 1) + 620(X_{Mn}^{gtr} - X_{Fe}^{gtr}) - 972X_{Ca}^{gtr}}{R \ln K_d + 4.38} \right] - 273.15$$

خطای محاسبه دما بواسیله این دماسنجد ۳۰ تا ۵۰ درجه سانتی‌گراد می‌باشد.

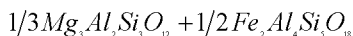
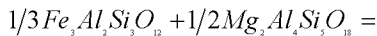
<sup>۱</sup> Microthermometric

<sup>۲</sup> Jowett

<sup>۳</sup> Pownceby

### دهاسنچ گارنت-کوردیریت

توزیع Mg و Fe بین گارنت و کوردیریت هم‌زیست آن بر روی شرایط دمایی تأثیرگذار است و اساس آن واکنش زیر می‌باشد:



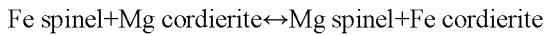
بر اساس مطالعات باتاچاریا و همکاران (۱۹۸۸) فرمول این دماستنج به صورت زیر می‌باشد:

$$T = \frac{1814 + 0.0152P + 1122(X_{Mg}^{\infty} - X_{Fe}^{\infty}) - 1258(X_{Mg}^{\#} - X_{Fe}^{\#}) + 1510(X_{Ca}^{\#} + X_{Mn}^{\#})}{1.028 - \ln\left(\frac{X_{Fe}}{X_{Mg}}\right)^{\#}/\left(\frac{X_{Fe}}{X_{Mg}}\right)^{\#}}$$

که در آن T بر اساس درجه کلوین و P بر اساس bar می‌باشد. در صورتی که  $X_{Mg} < 0.38$  باشد، دمایی در حدود ۶۲۰ تا ۸۶۰ درجه سانتی‌گراد به دست خواهد آمد که با دماهای رخساره گرانولیت تطابق دارد. دقیق این کالیبراسیون در حدود ۳۰ تا ۶۰ درجه بیشتر از کالیبراسیون‌هایی است که قبلاً ارائه شده‌اند.

### دهاسنچ کوردیریت-هرسینیت (کوردیریت-اسپینل)

آفای ویلزوف<sup>۱</sup> (۱۹۸۳) به بررسی مجموعه‌های کوارتز+اسپینل در برخی از زنولیت‌های سنگ‌های بازالتی پرداخت که یک لایه کوردیریتی فضای بین کوارتز و اسپینل‌ها را پر کرده است و این کوردیریت حاصل واکنش  $2\text{Sp}+5\text{Q}\rightarrow 1\text{Cd}$  می‌باشد. در حقیقت نوعی واکنش تبادلی بین کوردیریت و اسپینل به صورت:



وجود دارد که می‌تواند مبنای مطالعات دماستنجی باشد. محاسبه دماستنج مذکور به صورت  $T^{\circ}\text{K} = -1.763/\ln Kd + 0.378$  است.

<sup>۱</sup> Vielzeuf

### دماستنج گارنت - ارتوپیروکسن

بر اساس مطالعات آرانویچ و برمن<sup>۱</sup> (۱۹۹۷) این دماستنج بر اساس انحلال  $\text{Al}_2\text{O}_3$  موجود در دو کانی فروسیلیت (Fs) در حال تعادل با کانی گارنت (نوع آلماندین) می‌باشد و در دمای ۸۵۰ تا ۱۱۰۰ درجه سانتی‌گراد و فشار ۲۰ کیلوبار کالیبره شده است. در مورد سنگ‌های پوسته‌ای این دماستنج بر اساس تعادل  $\text{Alm} = 3\text{Fs} + \text{Fe-Mg}_{\text{Al}_2\text{O}_3}$  استوار می‌باشد. به دلیل اینکه این دماستنج نسبت به تغییرات بعدی Mg بالای فشار و دما به حساب می‌آید. کالیبراسیون‌های مختلف این زمین دماستنج عبارت هستند از:

$$\text{WOD و BAN}^{\text{VI}}_{\text{MI}} = \frac{\left( V \cdot \left( P_{\text{kbar}} - 1 \right) \right) - 4207}{\left( \frac{R}{4.184} \cdot \ln(\text{OM}) \right) - 2.69} - 273.15$$

$$\text{Dahl}^{\text{II}}_{\text{C}} = \frac{X_{\text{Mg}}^{\text{M1}} \cdot X_{\text{Al}}^{\text{M1}} \cdot \left( X_{\text{Mg}}^{\text{M2}} \right)^2}{X_{\text{Pyr}}^3}$$

$$\text{Harley}^{\text{III}}_{\text{C}} = \frac{1391 + 1509 \cdot \left( X_{\text{Alm}} - X_{\text{Pyr}} \right) + 2810 \cdot X_{\text{Grs}} + 2255 \cdot X_{\text{Sps}}}{\frac{R}{4.184} \cdot \ln K_{\text{D1}}} - 273.15$$

$$K_{\text{D2}} = \frac{\text{Fe}_{\text{Grt}}^{2+} \cdot \text{Mg}_{\text{Opx}}}{\text{Mg}_{\text{Grt}} \cdot \text{Fe}_{\text{Opx}}^{2+}}$$

<sup>۱</sup> Aranovich and Berman

<sup>۲</sup> Dahl

<sup>۳</sup> Harley

$$T_C = \frac{3740 + 1400 \cdot \left( \frac{\text{Ca}}{\text{Ca} + \text{Fe}^{2+} + \text{Mg}} \right) + 22.86 \cdot P_{\text{kbar}}}{\left( \frac{R}{4.184} \cdot \ln K_{D2} \right) + 1.96} - 273.15$$

سن و باتاچاریا<sup>۱</sup> (۱۹۸۴):

$$T_C = \frac{2713 + 3300 \cdot X_{\text{Grs}} - 0.022 \cdot P_{\text{bar}} + 195 \cdot (X_{\text{Alm}} - X_{\text{Pyr}})}{-1.9872 \cdot \ln K_{D2} + 0.787 + 1.5 \cdot X_{\text{Grs}}} - 273.15$$

### دماسنجد گارنت-کلریت

بر اساس مطالعات گرامبلینگ<sup>۲</sup> (۱۹۹۰)، دما و اکتیویته  $H_2O$  را می‌توان با استفاده از مجموعه کانی‌های دگرگونی با دقت بالایی به دست آورد. این دماسنجد بر اساس تبادل Fe-Mg بین گارنت و کلریت می‌باشد و فرمول آن به صورت زیر ارائه گردیده است:

$$T(K) = (0.05 \times P(\text{bars}) + 4607 \times \ln K_D + 24.156) / 19.02$$

خطای این کالیبراسیون در حدود  $\pm 8^{\circ}\text{C}$  است. مقادیر دماهای به دست آمده با استفاده از این دماسنجد با دماهای به دست آمده از طریق دماسنجهای کلریت-گارنت که قبلاً توسط دیکنسون و هویت<sup>۳</sup> (۱۹۸۶) و گنت<sup>۴</sup> و همکاران (۱۹۸۷) ارائه شده نزدیک می‌باشد.

### دماسنجد تیتانیم موجود در کوارتز

تیتانیم یکی از عناصر کمیاب است که به جای سیلیس در کانی کوارتز جانشین می‌شود. وارک و واتسون<sup>۵</sup> (۲۰۰۶) به بررسی این جانشینی به عنوان یک دماسنجد پرداخته‌اند. فرمول ارائه شده توسط ایشان به صورت زیر می‌باشد:

$$\log(X_n^{\text{eq}}) = (5.69 \pm 0.02) - \frac{(3765 \pm 24)}{T(K)}$$

<sup>1</sup> Sen and Bhattacharya

<sup>2</sup> Grambling

<sup>3</sup> Dickenson and Hewitt

<sup>4</sup> Ghent

<sup>5</sup> Wark and Watson

خطای محاسبه دما به وسیله این فرمول  $\pm 5^{\circ}\text{C}$  می‌باشد.

### دماستنج ارتوپیروکسن-اسپینل-الیوین

این دماستنج بر اساس تبادل میزان Al موجود در ارتوپیروکسن با الیوین و اسپینل طراحی شده است. در سیستم  $\text{FeO}-\text{MgO}-\text{Al}_2\text{O}_3-\text{SiO}_2$  (FMAS) مقدار Al ارتوپیروکسن در تعادل با الیوین و اسپینل در  $1340^{\circ}\text{C}$  درجه سانتی‌گراد و فشار ۱۱ تا ۱۸ کیلوبار توسط گاسپاریک<sup>۱</sup> (۱۹۸۷) بررسی شد و در سیستم CFMAS (که دارای CaO است) مقدار Al ارتوپیروکسن و کلینوپیروکسن همزیست با الیوین و اسپینل در دمای  $1340^{\circ}\text{C}$  درجه سانتی‌گراد و فشار ۱۸ کیلوبار مورد مطالعه قرار گرفت. بدین ترتیب وی مشاهده نمود که میزان Al کلینوپیروکسن ثابت باقی می‌ماند در حالی که مقدار Al موجود در ارتوپیروکسن با بالا رفتن مقدار محتوای Fe افزایش می‌یابد. محتوای Ca در کلینوپیروکسن به مقدار Al وابسته نمی‌باشد. وی از این یافته‌ها به منظور بیان توزیع Fe-Mg در ارتوپیروکسن‌های Al دار بهره گرفت. به این ترتیب وی توانست از توزیع Mg-Fe بین ارتوپیروکسن، الیوین، اسپینل، گارنت و نیز محتوای Al ارتوپیروکسن در محاسبه زمین دماشتارسنج‌های ارتوپیروکسن در سیستم‌های FMAS و CFMAS (دارای  $\text{Na}_2\text{O}$  NCFMAS) استفاده نماید. در ادامه برخی از کالیبراسیون‌های موجود ارائه گردیده‌اند:

فوچی<sup>۲</sup> (۱۹۷۶):

$$K_{D1} = \frac{\left(X_{O1}^{Mg}\right)^2 \cdot X_{M1}^{Al^{vi}}}{\left(X_{M1}^{Al^{vi}}\right)^2 \cdot X_{Spl}^{Mg} \cdot X_{M1}^{Mg}}$$

$$XN_{Opx}^{Al} = \frac{Al_{Opx}^{tot} - Cr_{Opx} - 2 \cdot Ti_{Opx} + Na_{Opx}}{2}$$

<sup>۱</sup> Gasparik

<sup>۲</sup> Fujii

$$T_C = \frac{-10400 - ((P_{\text{kbar}} - 1) \cdot (0.18 \cdot XN_{\text{Opx}}^{\text{Al}} - 0.005))}{R \cdot \ln K_{\text{D1}} \cdot 4.30} - 273.15$$

گاسپاریک و نیوتن<sup>۱</sup> (۱۹۸۴):

$$K_{\text{D2}} = \frac{a_{\text{Fo}} \cdot a_{\text{Mg-Ts}}^{\text{Opx}}}{a_{\text{Spl}} \cdot a_{\text{En}}^{\text{Opx}}}$$

$$T_C = 3857 \cdot K_{\text{D2}} + 443 + P_{\text{kbar}}$$

ویت‌ایکشن و سک<sup>۲</sup> (۱۹۹۱): (این کالیبراسیون تنها وقتی که  $MgAl-Spl \neq 0$  باشد قابل استفاده است).

$$K_{\text{D3}} = \frac{\left(X_{\text{OI}}^{\text{Mg}}\right)^2 \cdot X_{\text{Opx}}^{\text{Al}^{vi}} \cdot \gamma_{\text{Mg-Ts}}^{\text{Opx}}}{\left(X_{\text{Spl}}^{\text{Al tot}}\right)^2 \cdot X_{\text{Spl}}^{\text{Mg}} \cdot X_{\text{M1}}^{\text{Mg}} \cdot \gamma_{\text{Mg-Al}}^{\text{Spl}} \cdot \gamma_{\text{En}}^{\text{Opx}}}$$

$$A = 2248.5 + 991.58 \cdot \ln K_{\text{D3}} + 153.32 \cdot (\ln K_{\text{D3}})^2$$

$$T_C = A + 539.05 \cdot \exp(\gamma_{\text{MgCr-Spl}}) - 2005.74 \cdot \left(\exp(\gamma_{\text{MgCr-Spl}})\right)^2$$

### دماستنج ارتوپیروکسن-اسپینل

بر اساس مطالعات ناگاتا<sup>۳</sup> و همکاران (۱۹۸۳)، آنالیز اسپینل و پیروکسن موجود در سنگ‌های الترامافیک نشان می‌دهد که محتوای کروم ارتوپیروکسن‌ها با افزایش مقدار اسپینل هم زیست افزایش می‌یابد تا جایی که مقدار نسبت کروم به آلومینیم به یک نزدیک گردد. علاوه بر این مقدار کروم ارتوپیروکسن با کروم‌دارتر شدن اسپینل کاهش می‌یابد. این الگوی غیرخطی توزیع کروم بین ارتوپیروکسن و اسپینل را می‌توان به صورت تعادل شیمیایی مجموعه پیروکسن-الیوین-اسپینل بیان نمود، با فرض اینکه  $MgCrAlSiO_6$  به عنوان ترکیب ارتوپیروکسن کروم‌دار در نظر گرفته شود. بر اساس مطالعات ایشان کروم موجود در ارتوپیروکسن در مقایسه با اسپینل

<sup>1</sup> Gasparik and Newton

<sup>2</sup> Witt-Eickschen and Seck

<sup>3</sup> Nagata

همزیست در پاسخ به کاهش دمای تعادل، کاهش می‌یابد. اما به نظر می‌رسد که داده‌های مربوط به کروم موجود در کلینوپیروکسن از الگوی متفاوت دیگری تبعیت می‌کنند که اگر برخی تصحیحات در خصوص تأثیر سدیم به کروم کل انجام پذیرد یک الگوی سهمی مانند به دست می‌آید که شبیه به الگوی ارتوپیروکسن‌ها می‌باشد.

### دهاسنگ گارنت – فنجیت

توزیع Fe و Mg بین گارنت و مسکوویت از نوع فنجیت توسط محققین بسیاری مورد بررسی قرار گرفته و به صورت یک زمین دماشارسنج بیان شده است. بر اساس پیشنهاد کراف و رحیم (۱۹۷۸) نحوه محاسبه دما به صورت زیر می‌باشد:

$$\text{Fe}_{\text{Grt}, \text{Ms}}^{\#} = \frac{\text{Fe}_{\text{Grt}, \text{Ms}}^{2+}}{\text{Fe}_{\text{Grt}, \text{Ms}}^{2+} + \text{Mg}_{\text{Grt}, \text{Ms}}}$$

$$\text{Mg}_{\text{Grt}, \text{Ms}}^{\#} = \frac{\text{Mg}_{\text{Grt}, \text{Ms}}}{\text{Fe}_{\text{Grt}, \text{Ms}}^{2+} + \text{Mg}_{\text{Grt}, \text{Ms}}}$$

$$K_{D1} = \frac{\text{Fe}_{\text{Grt}}^{\#} \cdot \text{Mg}_{\text{Ms}}^{\#}}{\text{Fe}_{\text{Ms}}^{\#} \cdot \text{Mg}_{\text{Grt}}^{\#}}$$

$$T_C = \frac{3685 + 77.1 \cdot P_{\text{kbar}}}{\ln K_{D1} + 3.52} - 273 \cdot 15$$

گرین و هلمن<sup>۱</sup> (۱۹۸۲) برای سنگ‌های پلیتی با  $\text{MgMs}^{\#} < 0.6$  (سیستم با Ca پایین) فرمول زیر را ارائه نموده‌اند:

$$T_C = \frac{5680 + 36.0 \cdot P_{\text{kbar}}}{\ln K_{D1} + 4.48} - 273 \cdot 15$$

و برای پلیت‌های با  $\text{MgMs}^{\#} \geq 0.6$ ، فرمول زیر را پیشنهاد کردۀ‌اند:

$$T_C = \frac{5560 + 36.0 \cdot P_{\text{kbar}}}{\ln K_{D1} + 4.65} - 273 \cdot 15$$

همچنین برای سنگ‌های بازالتی فرمول زیر:

$$T_C = \frac{5170 + 36.0 \cdot P_{\text{kbar}}}{\ln K_{D1} + 4.17} - 273 \cdot 15$$

<sup>۱</sup> Green and Helman

را طراحی نموده‌اند. بر اساس مطالعات هاینس و فورست (۱۹۸۸)، کاربرد این دماستنج برای پلیت‌هایی که تحت تأثیر دگرگونی ناحیه‌ای قرار گرفته‌اند، در فشار ۳ تا ۷ کیلوبار بیانگر دماهای بیشتری نسبت به دماستنج گارنت-بیوتیت است. فرمول پیشنهادی ایشان به صورت زیر می‌باشد (با درنظر گرفتن اختلاط ایده‌آل):

$$K_{D2} = \frac{X_{\text{Alm}} \cdot Mg_{\text{Ms}}^{\#}}{Fe_{\text{Ms}}^{\#} \cdot X_{\text{Pyr}}}$$

$$T_C = \frac{4090}{\ln K_{D2} + 3.23} - 273 \cdot 15$$

$$T_C = \frac{4726 - 17 \cdot P_{\text{Kbar}}}{\ln K_{D2} + 4.16} - 273 \cdot 15$$

کالیبراسیون تجربی ایشان برای سنگ‌هایی پیشنهاد شده است که در آنها گارنت در درجات کمتری نسبت به بیوتیت تشکیل می‌شود و در آن K به صورت  $K = \ln K_d$  و  $X_{ii}$  کسرهای مولی گارنت است. در حقیقت هاینس و فورست (۱۹۸۸) این کالیبراسیون را بر اساس مقایسه با دماستنج گارنت-بیوتیت، فری و اسپیر<sup>۱</sup> (۱۹۷۸) به دست آورده‌اند. طبق فرض ایشان توزیع بین گارنت و مسکوویت به صورت مستقل از فشار عمل نموده، توزیع آهن فریک روی نداده، اختلاط ایده‌آل در مسکوویت وجود داشته و با تغییر الگوی اختلاط گارنت ارائه شده توسط گانگولی و ساکسانا<sup>۲</sup> (۱۹۸۴)، از آن برای تأثیر غیرخطی کلسیم استفاده نموده‌اند. ایشان علت استفاده از الگوی مذکور برای اختلاط در گارنت را نتایج مستدل و منطقی زمین‌شناسی آن ذکر می‌نمایند. طبق نظر آنها هنوز امکان تشخیص تأثیر فشار از تأثیر آهن فریک اثبات نشده است.

بر اساس رفتار اختلاط غیر ایده‌آل مدل‌های مختلفی برای گارنت ارائه گردید که از آن جمله می‌توان به مدل‌های زیر اشاره نمود.

<sup>1</sup> Ferry and Spear

<sup>2</sup> Ganguly and Saxena

هوجز و اسپیر<sup>۱</sup> (۱۹۸۲):

$$A = X_{\text{Grs}}^2 + X_{\text{Grs}} X_{\text{Pyr}} + X_{\text{Grs}} X_{\text{Alm}} + X_{\text{Grs}} X_{\text{Spes}}$$

$$T_C = \frac{\frac{3300 \cdot A}{R} + 4.27 \cdot 10^3}{\ln K_{D2} + 3.35 - \frac{1.5 \cdot A}{R}} - 273.15$$

گانگولی و ساکسآنا (۱۹۸۴):

$$B = 0.8 \cdot W_{\text{Grt}} - W_{\text{Grt}} (X_{\text{Alm}} - X_{\text{Pyr}}) - 3000 \cdot X_{\text{Grs}} - 3000 \cdot X_{\text{Spes}}$$

$$T_C = \frac{\frac{5.41 \cdot 10^3 - B}{R} - 273.15}{\ln K_{D2} + 4.82}$$

هوینکس<sup>۲</sup> (۱۹۸۶):

$$\ln K_{D3} = \frac{\frac{4.79 \cdot 10^3}{T_{\text{Grt-Ganguly}}} - 4.13}{C}$$

$$X = \frac{C}{R} - 2.978 \cdot 844 \cdot X_{\text{Grs}} - 4.79 \cdot 10^3$$

$$Z = \ln K_{D2} + 4.13$$

$$T_C = \frac{2 \cdot Y}{\pm N} - 273.15$$

$$C = B + 3000 \cdot X_{\text{Grs}}$$

$$Y = 5.906 \cdot 844^2 \cdot X_{\text{Grs}}^2$$

$$N = \sqrt{X^2 - 4 \cdot Y \cdot Z}$$

هاینس و فورست (۱۹۸۸) متوجه شدند که علی‌رغم سادگی فرضیاتی که به منظور طراحی این کالیبراسیون مطرح شده‌اند، اما دمای‌هایی که طی این روش به دست می‌آید عموماً در محدوده دمای‌هایی هستند که با استفاده از دماستنج گارنت-بیوتیت به دست آورده‌اند.

<sup>1</sup> Hodges and Spear

<sup>2</sup> Hoinkes

## دماسنجد بیوتیت-تورمالین

وینسنت<sup>۱</sup> و همکاران (۲۰۰۹) به بررسی پتانسیل زمین فشار دماسنجدی تورمالین بر اساس تبادل عناصر بین تورمالین و کانی‌های هم‌زیست در گری و ک‌ها و پلیت‌های دگرگون شده و تبادل تجربی بین تورمالین و بیوتیت پرداختند. طبق مطالعات ایشان در نمونه‌های طبیعی تبادل Mg-Fe تورمالین با بیوتیت، استارولیت، گارنت، کلریت، مسکوویت و تبادل Ca-Na با پلاژیوکلاز به صورت مستقل از دما می‌باشد. محاسبات تعادل برای مجموعه کانی‌ها نشان می‌دهد که تورمالین از نظر ترکیب در تعادل با همه فازهای هم‌زیست می‌باشد، لذا می‌توان برای تمام این فازها دماسنجد مربوطه را تعریف نمود. روابط بین  $K_D$  در برابر  $T$  دارای گستره وسیعی می‌باشند که البته علت آن به آنالیز، منطقه‌بندی ترکیبی یا عدم تعادل بین کانی‌ها مربوط نمی‌باشد، بلکه بر اساس بررسی‌های تجربی علت آن توزیع عناصر در موقعیت‌های اکتاهدرالی Y و Z تورمالین می‌باشد (وینسنت و همکاران، ۲۰۰۹). تغییرات توزیع عناصر در این موقعیت‌ها و مشارکت نسبی آن‌ها در تبادل عناصر و دماهای مختلفی که طی تبادل هر سایت به وجود می‌آید می‌تواند بهشت  $K_D$  در برابر  $T$  را تحت تأثیر قرار بدهد. اثر متقابل غیرایده‌آل عناصر در هر موقعیت می‌تواند بر آن اثر بگذارد و موجب ایجاد ارتباط بین هر تبادلی با ترکیب کل تورمالین و در نتیجه تحرکی عناصر در سنگ گردد (وینسنت و همکاران، ۲۰۰۹).

## دماسنجد مسکوویت

داده‌های تجربی او گستر<sup>۲</sup> و همکاران (۱۹۷۲) بیانگر تبادل Na-K بین سیالات NaCl-KCl-H<sub>2</sub>O و آلکالی‌فلدسپارها یا میکاهای سفید است. ایشان از واکنش‌های آبگیری اعضای نهایی میکای سفید ± کوارتز تا آلکالی‌فلدسپار + کرونودوم

<sup>1</sup> Vincent

<sup>2</sup> Eugster

$\text{Al}_2\text{SiO}_5$ ) و آب به منظور ارزیابی پتانسیل تبادل Na-K بین میکای سفید و آلکالی فلدسپار هم زیست آن استفاده کردند. اوگستر و همکاران (۱۹۷۲) یک فاز دیاگرام دوتایی را برای آبگیری میکای سفید ترسیم نمودند که در آن برونویابی دماها و فشارهای بالاتر با شواهد صحراوی تطابق نشان داده و نیز منحنی تک متغیره ساب سولیدوس، منحنی ذوب اشباع از  $\text{H}_2\text{O}$  را قطع می‌کند. در فشارهای بزرگتر از ۶ کیلوبار مجموعه کانی‌های متداول  $\text{Mus}+\text{Or}+\text{Ab}+\text{Qtz}$  می‌توانند دچار ذوب حداقل اشباع از آب در دماهای کمتری (نسبت به دماهای ناپدید شدن پاراگونیت یا ایزوگرادهای دیستن-سیلیمانیت در اغلب سنگ‌های آلومینینیم دار) شوند.

### دماستنج گارنت-کوردیریت-سیلیمانیت-کوارتز

مطالعات تجربی نیکولاوس و همکاران (۱۹۹۲) مربوط به توزیع Mg-Fe بین گارنت و کوردیریت در دمای ۶۵۰-۱۰۵۰ درجه سانتی‌گراد و فشار ۱۲-۴ کیلوبار بوده است. فرمول دماستنجی مورد استفاده ایشان به صورت زیر می‌باشد (دما بر حسب درجه کلوین):

$$T(WH) = 6832 + 0.031(P-1) - \left\{ 16(X_{Mg}^{gr})^2 - 506(X_{Fe}^{gr})^2 + 680X_{Fe}^{gr}X_{Mg}^{gr} \right. \\ \left. + 336(X_{Ca}^{gr} + X_{Mn}^{gr})(X_{Mg}^{gr} - X_{Fe}^{gr})^2 - 3300X_{Ca}^{gr} - 358X_{Mn}^{gr} \right\} + 954(X_{Fe}^{gr} - X_{Mg}^{gr})^{gr} / \\ 1.987 \ln K_o + 3.41 + 1.5X_{Ca}^{gr} + 1.23(X_{Fe}^{gr} - X_{Mg}^{gr})^{gr} \\ T(B\tau) = 6920 + 0.031(p-1) - \left\{ 8(X_{Mg}^{gr})^2 - 296(X_{Fe}^{gr})^2 + 556X_{Fe}^{gr}X_{Mg}^{gr} \right. \\ \left. + 6339X_{Ca}^{gr}X_{Mg}^{gr} - 99(X_{Ca}^{gr})^2 + 4687X_{Ca}^{gr}(X_{Mg}^{gr} - X_{Fe}^{gr}) - 4269X_{Ca}^{gr}X_{Fe}^{gr} \right. \\ \left. - 358X_{Mn}^{gr} \right\} + 640(X_{Fe}^{gr} - X_{Mg}^{gr})^{gr} + 1.90X_{Ca}^{gr}(X_{Mg}^{gr} - X_{Ca}^{gr})^{gr}$$

### دماسنجدی‌الیوین-کلینوپیروکسن

دماسنجدی‌الیوین-کلینوپیروکسن توسط پاول و پاول<sup>۱</sup> (۱۹۷۴) و بیشاپ<sup>۲</sup> (۱۹۸۰) مورد بررسی قرار گرفت. این دماسنجدی‌براساس تبادل Mg و Ca بین الیوین و کلینوپیروکسن در سیستم CFMS طراحی شده است. نتایج حاصل از مطالعات وی مؤید مطالعات قبلی توسط آدامز<sup>۳</sup> و بیشاپ (۱۹۸۲) بود که طبق پیشنهاد ایشان  $\Delta V^\circ$  بزرگ‌گردد. این واکنش موجب می‌شود که از آن بتوان به عنوان یک زمین فشارسنجدی مناسب برای سیستم‌های بازیک و اولترابازیک استفاده نمود. فرمول زیر توسط پاول و پاول (۱۹۷۴) ارائه شده است:

$$K_D = \frac{\frac{Mg_{Ol}}{Mg_{M1-Cpx}} \cdot \frac{Fe^{2+}_{M1-Cpx}}{Fe^{2+}_{Ol}}}{\frac{Mg_{M1-Cpx}}{Mg_{Ol}} \cdot \frac{Fe^{2+}_{Ol}}{Fe^{2+}_{M1-Cpx}}}$$

$$T_c = \frac{- \left( 2 \cdot X_{M1}^{3+} \cdot (920000 + 3.6 \cdot P_{kbar}) \right) - (0.0435 \cdot (P_{kbar} - 1)) + 10100}{8 + \frac{R}{4.184} \cdot \ln K_D - 714 \cdot 3 \cdot 2 \cdot X_{M1}^{3+}} - 273 \cdot 15$$

<sup>1</sup> Powell and Powell

<sup>2</sup> Bishop

<sup>3</sup> Adams

## فصل سوم

### زمین فشارسنگی

#### فشارسنگی بر اساس ترکیب آمفیبول

تاکنون استفاده از آمفیبول‌ها به عنوان فشارسنچ توسط افراد مختلفی مورد بررسی قرار گرفته است. نتیجه این بررسی‌ها ارائه فشارسنچ «آلومینیم موجود در هورنبلند» می‌باشد. همان‌گونه که گفته شد، عوامل زیادی بر محتوای Al هورنبلندها مؤثر می‌باشند. مقدار Al آمفیبول‌ها علاوه بر فشار و دما، به فوگاسیته اکسیژن، ترکیب سنگ کل و فازهای همراه آمفیبول بستگی دارد. با توجه به مطالعات هالیستر<sup>۱</sup> و همکاران (۱۹۸۷)، جانشینی چرماک<sup>۲</sup> ( $\text{Si}+\text{R}^{2+}=\text{Al}^{\text{IV}}+\text{Al}^{\text{VI}}$ ) نسبت به فشار حساس می‌باشد و با افزایش فشار مقدار آلومینیم موجود در شبکه هورنبلند افزایش می‌یابد.

<sup>1</sup> Hollister

<sup>2</sup> Tschermark substitution

واکنش‌های دیگر همانند جانشینی ادنیت<sup>۱</sup> ( $\text{Si}+\text{vac}^{\text{A}}=\text{Al}^{\text{IV}}+(\text{Na}+\text{K})^{\text{A}}$ ) و واکنش‌هایی که در آنها  $\text{Ti}$  شرکت دارد ( $\text{Ti}+\text{R}^{2+}=2\text{Al}^{\text{VI}}$ ,  $\text{Ti}+\text{Al}^{\text{IV}}=\text{Al}^{\text{VI}}+\text{Si}$ ) بیشتر توسط دما تا توسط فشار کنترل می‌شوند (اندرسون و اسمیت، ۱۹۹۵). یعنی هر چه دما افزایش می‌یابد، جانشینی ادنیت بیشتر انجام می‌گیرد. فوگاسیته اکسیژن نیز می‌تواند نسبت‌های ( $\text{Fe}^{\#}=\text{Fe}^{3+}/\text{Fe}^{2+}+\text{Fe}^{3+}$ ) و ( $\text{Fe}^{2+}=\text{Fe}^{3+}/\text{Fe}^{2+}+\text{Fe}^{3+}$ ) را کنترل کند. به طوری که هر چه فوگاسیته اکسیژن کمتر باشد،  $\text{Fe}^{2+}$  بیشتری وجود خواهد داشت. مقادیر  $\text{Fe}^{\#}$  توسط اسپیر<sup>۲</sup> (۱۹۸۱) و اندرسون و اسمیت (۱۹۹۵) تقسیم‌بندی شده است. بر اساس این تقسیم‌بندی مقادیر صفر تا ۰/۶ بالا؛ مقادیر ۰/۶ تا ۰/۸ متوسط و مقادیر بیش از یک، پایین به حساب می‌آید. روابط واکنش‌های جانشینی که در آنها  $\text{Al}$  شرکت دارد و نیز فوگاسیته اکسیژن، بر پایه این واقعیت هستند که فوگاسیته کم اکسیژن موجب می‌شود  $\text{Fe}^{2+}$  وارد شبکه هورنبلند شود. از سویی دیگر نسبت بالای  $\text{Fe}^{2+}/\text{Fe}^{3+}$  ترجیحاً باعث جانشینی  $\text{Mg}$  توسط  $\text{Al}$  در هنگام جانشینی چرم‌ماک می‌شود. به این ترتیب مقدار فوگاسیته اکسیژن پایین موجب افزایش  $\text{Al}$  موجود در هورنبلند می‌شود. از این رو اندرسون (۱۹۹۷) پیشنهاد نموده که بهتر است تنها هورنبلندهایی برای فشارسنجدی استفاده شوند که دارای  $\text{Fe}^{\#}\leq 0.65$  باشند. از سویی دیگر فوگاسیته بالای اکسیژن باعث شرکت ترجیحی  $\text{Fe}^{3+}$  در شبکه بلور آمفیبول شده و بیشتر آن جانشین  $\text{Al}$  هورنبلند می‌شود. این مسئله می‌تواند باعث کاهش  $\text{Al}$  هورنبلند شود. لذا اندرسون و اسمیت (۱۹۹۵) معتقدند که در این فشارسنجدی تنها از آمفیبول‌هایی که دارای  $(\text{Fe}^{3+}/\text{Fe}^{3+}+\text{Fe}^{2+})\geq 0.25$  باشند، استفاده می‌شود.

اشکال هر دو تای این معیارها در این است که آنها تنها بر اساس محاسبات استوکیومتری هستند، نه بر اساس اندازه‌گیری‌های محتوای  $\text{Fe}^{2+}$  و  $\text{Fe}^{3+}$ . لذا  $\text{Fe}^{\#}$  و

<sup>۱</sup> Edénite substitution

<sup>۲</sup> Spear

$\#_{\text{Fe}^{3+}}$  نمی‌توانند تنها معیارهای لازم برای تعیین فوگاسیته اکسیژن باشند. از این رو به نظر می‌رسد که توجه به حضور کانی‌های فرعی نیز می‌تواند بسیار مفید باشد. با توجه به مطالعات ایشیهارا<sup>۱</sup> (۱۹۷۷) سنگ‌های آذرین حاوی مگنتیت (سری مگنتیتی) مربوط به شرایط تبلور در فوگاسیته بالای اکسیژن می‌باشند. ولی سری‌های ایلمنیت‌دار بیانگر فوگاسیته پایین اکسیژن می‌باشند. علاوه بر این حضور اسفن بیانگر فوگاسیته بالای اکسیژن است. به طور کلی هورنبلندهایی که در شرایط فوگاسیته بالای اکسیژن تشکیل شده‌اند، نتایج فشارسنگی قابل اعتمادتری را ارائه می‌کنند.

### فشارسنجدالومینیم موجود در آمفیبیول

فشارسنجدالومینیم موجود در آمفیبیول بر اساس  $\text{Al}_{\text{total}}$  موجود در هورنبلندهایی باشد. همان‌گونه که گفته شد این فشارسنجد علاوه بر فشار به عامل فوگاسیته اکسیژن نیز حساس است، به طوری که فوگاسیته اکسیژن می‌تواند باعث شود که فشار محاسبه شده افزایش یافته و بسته به میزان  $\text{Al}$  کل، در هر ۱۰۰ درجه سانتی‌گراد فشار بیش از ۲ کیلوبار افزایش یابد (اندرسون و اسمیت، ۱۹۹۵). در شکل ۹ انواع کالیبراسیون‌های این فشارسنجد آورده شده‌اند.

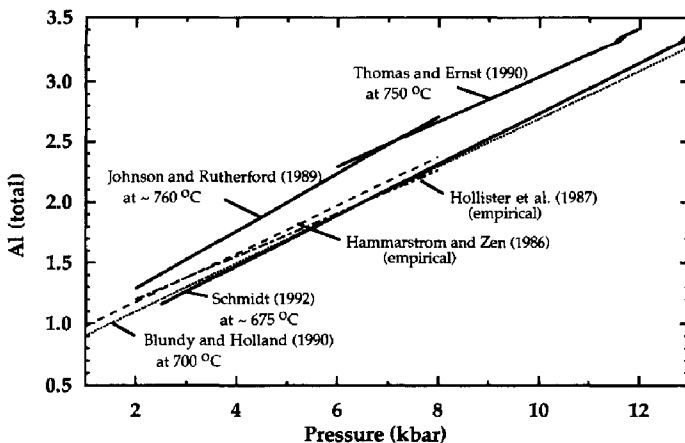
همان‌گونه که در شکل ۹ مشاهده می‌شود، کالیبراسیون‌های تجربی مانند هالیستر و همکاران (۱۹۸۷)، همرستورم و زن<sup>۲</sup> (۱۹۸۶)، در دماهای نزدیک به سولیدوس اشباع از  $\text{H}_2\text{O}$  به منحنی اشمیت (۱۹۹۲) شباهت دارند. در حالی که کالیبراسیون‌های تجربی که در دماهای بالاتر استفاده شده‌اند مانند جانسون و رادرفورد<sup>۳</sup> (۱۹۸۹) و توomas و ارنست<sup>۴</sup> (۱۹۹۰)، به دلیل افزایش  $\text{Al}^{\text{IV}}$ ، در همان فشار مقادیر  $\text{Al}_{\text{Total}}$  بیشتری را در هورنبلندهای نشان می‌دهند (اندرسون و اسمیت، ۱۹۹۵).

<sup>1</sup> Ishihara

<sup>2</sup> Hammarstrom and Zen

<sup>3</sup> Johnson and Rutherford

<sup>4</sup> Thomas and Ernst



شکل ۹: خلاصه‌ای از کالیبراسیون‌های تجربی و آزمایشی مربوط به فشارسنگی آلومینیم موجود در هورنبلند (اندرسون و اسمیت، ۱۹۹۵).

اولین بار همرستروم و زن (۱۹۸۶) وجود ارتباط بین  $Al_{total}$  و آمفیبیول را با فشاری که آمفیبیول در آن شکل گرفته است را مطرح نمودند. آنها فرمولی تجربی را برای فشارسنگی در فشارهای ۲ تا ۸ کیلوبار ارائه نمودند که به این صورت بود:

$$P(\pm 3Kbar) = -3.92 + 5.03 \times Al_{total}$$

هالیستر و همکاران (۱۹۸۷) فرمول زیر را برای فشارهای ۴ تا ۶ کیلوبار ارائه نمودند:

$$P(\pm 1Kbar) = -4.76 + 5.64 \times Al_{total}$$

فرمول زیر نیز توسط جانسون و رادرфорد (۱۹۸۹) در فشارهای ۲ تا ۸ کیلوبار ارائه شده است:

$$P(\pm 0.5Kbar) = -3.46 + 4.23 \times Al_{total}$$

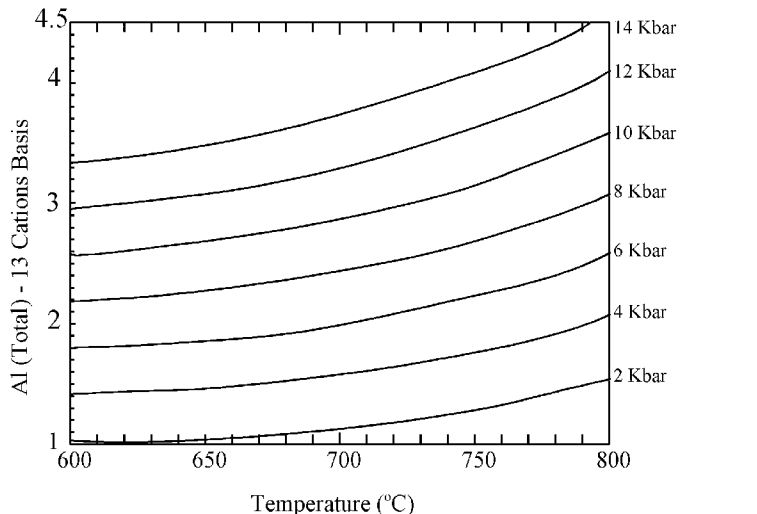
سپس اشمیت (۱۹۹۲) این فرمول را به صورت زیر تغییر داد و برای محاسبه فشار تشکیل آمفیبیول در فشارهای ۲/۵ تا ۱۳ کیلوبار ارائه نمود:

$$P(\pm 0.6 \text{ Kbar}) = -3.01 + 4.76 \times Al_{Total}$$

همه این کالیبراسیون‌ها فشارهای نزدیک و مشابهی را ارائه می‌کنند. اما استفاده از این فشارسنجهای مستلزم حضور مجموعه کانی‌های کوارتز، پلاژیوکلаз، فلدسپار پتاسیک، هورنبلند، بیوتیت، اسفن، مگنتیت و ایلمینیت همزمان با مذاب می‌باشد. همچنین تنها باید حاشیه آمفیبول که در تماس با کوارتز و یا فلدسپار پتاسیک است در محاسبات استفاده شود (استین و دایتل، ۲۰۰۱). اندرسون و اسمیت (۱۹۹۵) فرمول جدیدی را برای فشارسنجهای Al موجود در هورنبلند ارائه نمودند که در آن به سه پارامتر مهم دما، فشار و فوگاسیته اکسیژن ( $fO_2$ ) توجه شده است:

$$P(\pm 0.6 \text{ Kbar}) = -3.01 + 4.76 \times Al_{Total} - \left\{ \left( \frac{T(^{\circ}\text{C}) - 675}{85} \right) \times [0.53 \times Al_{Total} + 0.005294 \times (T(^{\circ}\text{C}) - 675)] \right\}$$

در این فرمول میزان خطای حاصل در محاسبه فشار در حدود  $\pm 0.6 \text{ Kbar}$  می‌باشد. با توجه به پیشنهاد اندرسون (۱۹۹۷) و نیز اندرسون و اسمیت (۱۹۹۵)، نمونه‌ها بایستی دارای  $\text{Fe}^{3+}/(\text{Fe}^{3+} + \text{Fe}^{2+}) \geq 0.25$  باشند.



شکل ۱۰: فشارسنجهای هورنبلندها بر اساس نمودار Al کل موجود در ساختار هورنبلندها (اندرسون

### فشارسنج گارنت - بیوتیت - مسکوویت - آلومینوسیلیکات - کوارتز

به کارگیری فشارسنج گارنت - بیوتیت - مسکوویت - آلومینوسیلیکات - کوارتز<sup>۱</sup> و گارنت - آلومینوسیلیکات - پلازیوکلاز<sup>۲</sup> محدوده‌های فشار مشابهی را نشان می‌دهند (چونگ کینگ و گوچون، ۲۰۰۷). به علاوه متابلیت‌های داخل هاله کنتاکت حرارتی یا مناطق جغرافیایی محدود، هیچ معکوس شدگی فشار را در فشارسنج‌های GBMAQ و GASP نشان نمی‌دهند. این فشارسنج هیچ تأثیر منظمی در اثر تغییرات فشار، دما، Al<sup>VI</sup> در مسکوویت، Fe در بیوتیت و گارنت نشان نمی‌دهد. فشارسنج GBMAQ برای مجموعه‌های دگرگونی با گارنت کم کلسیم نمی‌دهد. فشارسنج GBMAQ برای مجموعه‌های دگرگونی با گارنت کم کلسیم (۰/۰۳) و پلازیوکلاز کم کلسیم (۰/۱۷) و سنگ‌های دگرگونی فاقد پلازیوکلاز مناسب می‌باشد (چونگ کینگ و گوچون، ۲۰۰۷).

مجموعه کانی‌های گارنت + بیوتیت + مسکوویت + کوارتز ± پلازیوکلاز ± آلومینوسیلیکات در سنگ‌هایی با درجه دگرگونی متوسط تا بالا عمومیت دارند. در صورت حضور پلازیوکلاز و آلومینوسیلیکات از فشارسنج GASP استفاده می‌شود (هولداوی<sup>۳</sup>، ۲۰۰۱). در صورت حضور پلازیوکلاز و فقدان آلومینوسیلیکات از فشارسنج GBPQ (وو و همکاران، ۲۰۰۴) یا فشارسنج GMPQ (وو و همکاران، ۲۰۰۴؛ وو و زائو<sup>۴</sup>، ۲۰۰۶) استفاده می‌گردد. فشارسنج GBMAQ در محدوده متابلیت‌های طبیعی و دمایی در حدود ۵۳۰ تا ۸۹۰ درجه سانتی‌گراد و فشار ۰/۸ تا ۹/۲ کیلوبار بر اساس دماسنجد گارنت - بیوتیت هولداوی (۲۰۰۰) و فشارسنج GASP هولداوی (۲۰۰۱) کالیبره شده است. خطای تصادفی در فشارسنج

<sup>1</sup> GBMAQ<sup>2</sup> GASP<sup>3</sup> Holdaway<sup>4</sup> Zhao

GBMAQ در حدود  $\pm 8\%$  کیلوبار برآورد شده است (چونگ مینگ و گوچون، ۲۰۰۷).

فشارسنج GBMAQ به صورت فرمول زیر کالیبره شده است (چونگ مینگ و گوچون، ۲۰۰۷):

$$\begin{aligned} P(\text{bars}) = & \left(1 - \frac{\Delta H^\circ}{\Delta V^\circ}\right) + T(K) \left(\frac{\Delta S^\circ}{\Delta V^\circ}\right) \\ & + \left(\frac{W_{MgR}^{\text{iso}}}{\Delta V^\circ}\right) X_{Mg}^{\text{iso}} \left(X_{Fe}^{\text{iso}} + X_{Mg}^{\text{iso}} - 1\right) \\ & + \left(\frac{W_{MgT}^{\text{iso}}}{\Delta V^\circ}\right) X_{Mg}^{\text{iso}} \left(X_{Ni}^{\text{iso}} + X_{Mg}^{\text{iso}} - 1\right) \\ & + \left(\frac{W_{AlT}^{\text{iso}}}{\Delta V^\circ}\right) X_{Al}^{\text{iso}} \left(X_{Fe}^{\text{iso}} + X_{Ni}^{\text{iso}} - 1\right) \\ & + \left(\frac{W_{AlR}^{\text{iso}}}{\Delta V^\circ}\right) X_{Al}^{\text{iso}} X_{Ni}^{\text{iso}} + \left(1/\Delta V^\circ\right) \left\{ -RTL \ln \left[ \frac{\left(X_{Fe}^{\text{iso}}\right)^3}{\left(X_{Fe}^{\text{iso}}\right)^3 \left(X_{MgT}^{\text{mso}}\right)^2} \right] \right. \\ & + T \left(Fe_s + 3.68X_{Mg}^{\text{iso}} + 238.585X_{Al}^{\text{iso}} + 370.39X_{Ni}^{\text{iso}} \right. \\ & - 3.68X_{Fe}^{\text{iso}} X_{Mg}^{\text{iso}} - 238.585X_{Fe}^{\text{iso}} X_{Al}^{\text{iso}} \\ & - 370.39X_{Fe}^{\text{iso}} X_{Ni}^{\text{iso}} \left. \right) + Fe_s P(\text{bars}) + Fe_s - 5333.0X_{Mg}^{\text{iso}} \\ & - 209850.0X_{Al}^{\text{iso}} - 310990.0X_{Ni}^{\text{iso}} + 5333.0X_{Fe}^{\text{iso}} X_{Mg}^{\text{iso}} \\ & \left. + 209850.0X_{Fe}^{\text{iso}} X_{Al}^{\text{iso}} + 310990.0X_{Fe}^{\text{iso}} X_{Ni}^{\text{iso}} \right\} \end{aligned}$$

این معادله بر اساس حضور آلومینو سیلیکات آندولزیت در مجموعه مورد مطالعه به صورت زیر کالیبره شده است (چونگ مینگ و گوچون، ۲۰۰۷):

$$\begin{aligned} P_{(\text{bars})} = & \left\{ 23641.1 + 31.4192T - 261161.5X_{Al}^{\text{iso}} \times \left(X_{Fe}^{\text{iso}} + X_{Mg}^{\text{iso}} - 1\right) - 1489211.0X_{Ni}^{\text{iso}} \right. \\ & \left( X_{Fe}^{\text{iso}} + X_{Mg}^{\text{iso}} - 1 \right) - 2782295.6X_{Al}^{\text{iso}} X_{Ni}^{\text{iso}} - 0.2637 \times \left[ RTL \ln \left( \frac{\left(X_{Fe}^{\text{iso}}\right)^3}{\left(X_{Fe}^{\text{iso}}\right)^3 \left(X_{MgT}^{\text{mso}}\right)^2} \right) \right. \\ & + T \left(Fe_s + 3.68X_{Mg}^{\text{iso}} + 238.585X_{Al}^{\text{iso}} + 370.39X_{Ni}^{\text{iso}} - 3.68X_{Fe}^{\text{iso}} X_{Mg}^{\text{iso}} \right. \\ & - 238.585X_{Fe}^{\text{iso}} X_{Al}^{\text{iso}} - 370.39X_{Fe}^{\text{iso}} X_{Ni}^{\text{iso}} \left. \right) + Fe_s - 5333.0X_{Mg}^{\text{iso}} 209850.0X_{Al}^{\text{iso}} \\ & \left. 310990.0X_{Ni}^{\text{iso}} + 5333.0X_{Fe}^{\text{iso}} X_{Mg}^{\text{iso}} + 209850.0X_{Fe}^{\text{iso}} X_{Al}^{\text{iso}} + 310990.0X_{Fe}^{\text{iso}} X_{Ni}^{\text{iso}} \right] \} / (1=0.2637Fe_s) \end{aligned}$$

### فشارسنج کلینوپیر و کسن

برطبق روش نیمیس و تیلور<sup>۱</sup> (۲۰۰۰)، از محتوای Cr، Na و K موجود در پیر و کسن‌ها می‌توان برای تعیین فشار استفاده نمود. یکی از دلایل استفاده از معادله فشار زیر این است که، این روش دارای وابستگی دمایی ( $1/2 - 2/4 \text{ kbar}/50^\circ\text{C}$ )

<sup>۱</sup> Nimis and Taylor

پایین‌تری، نسبت به فشارسنگی‌های رایج بر پایه محتوای Al در ارتوپیروکسن (°C) ۵۰ می‌باشد. (۲-۳ kbar)

$$P(kbar) = -\frac{T(K)}{126.9} \cdot \ln[a_{\text{soo}}^{\text{soo}}] + 15.483 \cdot \ln\left(\frac{Cr\#}{T(K)}\right) + \frac{T(K)}{71.38} + 107.8$$

در معادله بالا  $Cr\# = \left( \frac{Cr}{Cr + Al} \right)$  و  $a_{\text{soo}}^{\text{soo}} = Cr - 0.81 \cdot Cr\# \cdot (Na + K)$  می‌باشد.

### فشارسنگ کوردیریت - هرسینیت (کوردیریت - اسپینل)

آفای ویلزوف (۱۹۸۳) به بررسی مجموعه‌های کوارتز + اسپینل در برخی از زنولیت‌های سنگ‌های بازالتی پرداخت، که یک لایه کوردیریتی فضای بین کوارتز و اسپینل‌ها را پر کرده بود و این کوردیریت حاصل واکنش  $2Sp + 5Q \rightarrow 1 Cd$  می‌باشد. فشارسنگی که بر اساس این تبادل ارائه شده به صورت زیر است:

$$P = P_{Fe} - (RT \ln(a_{Fe/Cd}^{Cd}) / a_{Fe/Sp}^{Sp^2}) / \Delta Vs$$

$$P_{Fe} = -8.4 \text{ T}^\circ \text{ C} + 9.295$$

$$T^\circ \text{ K} = -1,763 / \ln Kd + 0.378$$

$$\Delta Vs = 1.075 \text{ cal/bar}$$

پایان

پیوست‌ها

## نحوه محاسبه اکتیویته برشی کانی‌ها

- ۱ آمفیبول

- ۱-۱ کسرهای مولی<sup>۱</sup>

$$X_{\text{Mg}} = \frac{\text{Mg}}{\text{Mg} + \text{Fe}^{2+} + \text{Mn} + \text{Ca}}$$

$$X_{\text{Fe}^{2+}} = \frac{\text{Fe}^{2+}}{\text{Mg} + \text{Fe}^{2+} + \text{Mn} + \text{Ca}}$$

$$X_{\text{Gln}} = \left( X_{\text{Fe}^{3+}}^{\text{M2}} \right) \cdot \left( X_{\text{Al}}^{\text{M2}} \right)$$

بر اساس مقالات هلند و ریچاردسون<sup>۲</sup> (۱۹۷۹)؛ ترساینسکی<sup>۳</sup> و همکاران (۱۹۸۴)<sup>۴</sup> تربیولت و او درن<sup>۵</sup> (۱۹۸۸)؛

$$a_{\text{Gln}} = X_{\text{A}}^{\text{vac}} \cdot \left( X_{\text{Na}}^{\text{M4}} \right)^2 \cdot \left( X_{\text{Mg}}^{\text{M3}} \right)^3 \cdot \left( X_{\text{Al}^{\text{vi}}}^{\text{M2}} \right)^2 \cdot \left( X_{\text{Si}}^{\text{T1}} \right)^4$$

$$a_{\text{Tr}} = X_{\text{A}}^{\text{vac}} \cdot \left( X_{\text{Ca}}^{\text{M4}} \right)^2 \cdot \left( X_{\text{Mg}}^{\text{M3}} \right)^3 \cdot \left( X_{\text{Mg}}^{\text{M2}} \right)^2 \cdot \left( X_{\text{Si}}^{\text{T1}} \right)^4$$

$$a_{\text{Ed}} = 9.48 \cdot X_{\text{Na}}^{\text{A}} \cdot \left( X_{\text{Ca}}^{\text{M4}} \right)^2 \cdot \left( X_{\text{Mg}}^{\text{M3}} \right)^3 \cdot \left( X_{\text{Mg}}^{\text{M2}} \right)^2 \cdot \left( X_{\text{Si}}^{\text{T1}} \right)^4 \cdot \left( X_{\text{Al}^{\text{vi}}}^{\text{T1}} \right)^4$$

$$a_{\text{Hbl}} = X_{\text{A}}^{\text{vac}} \cdot \left( X_{\text{Ca}}^{\text{M4}} \right)^2 \cdot \left( X_{\text{Mg}}^{\text{M3}} \right)^3 \cdot \left( X_{\text{Mg}}^{\text{M2}} \right)^2 \cdot \left( X_{\text{Al}^{\text{vi}}}^{\text{M2}} \right)^4 \cdot \left( X_{\text{Si}}^{\text{T1}} \right)^4 \cdot \left( X_{\text{Al}^{\text{vi}}}^{\text{T1}} \right)^4$$

$$a_{\text{Pr g}} = X_{\text{Na}}^{\text{A}} \cdot \left( X_{\text{Ca}}^{\text{M4}} \right)^2 \cdot \left( X_{\text{Mg}}^{\text{M3}} \right)^3 \cdot \left( X_{\text{Mg}}^{\text{M2}} \right)^2 \cdot \left( X_{\text{Al}^{\text{vi}}}^{\text{M2}} \right)^4 \cdot \left( X_{\text{Si}}^{\text{T1}} \right)^4 \cdot \left( X_{\text{Al}^{\text{vi}}}^{\text{T1}} \right)^4$$

بر اساس مقالات کوهن و اسپیر<sup>۶</sup> (۱۹۸۹)، (۱۹۹۰)؛

$$a_{\text{Pr g -1}} = 16 \cdot \left( X_{\text{Al}}^{\text{T1}} \right)^2 \cdot \left( X_{\text{Si}}^{\text{T1}} \right)^2 \cdot \left( X_{\text{Na}}^{\text{A}} \right)$$

$$a_{\text{Pr g -2}} = 4 \cdot \left( X_{\text{Al}}^{\text{T1}} \right) \cdot \left( \frac{\text{Mg}}{\text{Fe}^{2+} + \text{Mg} + \text{Mn} + \text{Ca}} \right) \cdot \left( X_{\text{Na}}^{\text{A}} \right)$$

$$a_{\text{Tr -1}} = \left( X_{\text{Si}}^{\text{T1}} \right)^4 \cdot \left( X_{\text{Na}}^{\text{A}} \right)$$

$$a_{\text{Tr -2}} = \left( \frac{\text{Mg}}{\text{Fe}^{2+} + \text{Mg} + \text{Mn} + \text{Ca}} \right)^2 \cdot \left( X_{\text{Na}}^{\text{A}} \right)$$

<sup>۱</sup> Molar Fractions

<sup>۲</sup> Holland and Richardson

<sup>۳</sup> Trzcienski

<sup>۴</sup> Triboulet and Audren

<sup>۵</sup> Kohn and Spear

$$a_{Tr-3} = \left( X_{Si}^{T1} \right)^4 \cdot \left( \frac{Mg^{tot}}{Fe^{2+} + Mg^{tot}} \right)^2$$

$$a_{Fe-Tr-3} = \left( X_{Si}^{T1} \right)^4 \cdot \left( \frac{Fe^{2+}}{Fe^{2+} + Mg^{tot}} \right)^2$$

$$a_{Fe-Pr_g} = 4 \cdot \left( X_{Al}^{T1} \right) \cdot \left( \frac{Fe^{2+}}{Fe^{2+} + Mg + Mn + Ca} \right)^2 \cdot \left( X_{Na}^A \right)$$

$$a_{Fe-Act} = \left( \frac{Fe^{2+}}{Fe^{2+} + Mg + Mn + Ca} \right)^2 \cdot \left( X_{Na}^A \right)$$

$$a_{Ts} = \frac{256}{27} \left( X_{Al}^{T1} \right) \cdot \left( X_{Si}^{T1} \right)^3 \cdot \left( \frac{Mg^{tot}}{Fe^{2+} + Mg^{tot}} \right)^2$$

$$a_{Fe-Ts} = \frac{256}{27} \left( X_{Al}^{T1} \right) \cdot \left( X_{Si}^{T1} \right)^3 \cdot \left( \frac{Fe^{2+}}{Fe^{2+} + Mg^{tot}} \right)^2$$

## ۲-۱ - ضرایب توزیع در آمفیبوال‌ها:

بر اساس هلنند و ریچاردسون (۱۹۷۹):

$$\ln K_{Ed,Ts} = (25 \cdot \ln a_{Gln}) + (6 \cdot \ln 0.5) - (6 \cdot \ln a_{Tr}) - (9 \cdot \ln 0.11)$$

$$\ln K_{Gln,Ts-Pr_g,MgHbl} = (\ln a_{Ed}) - (\ln a_{Tr})$$

بر اساس تربیولت و او درن (۱۹۸۸):

$$\ln K_{Tr,Pr_g} = (25 \cdot \ln a_{Hbl}) - (13 \cdot \ln a_{Ed}) - (0.5)^{12} - (7 \cdot \ln a_{Chl})$$

## ۲- گارنت

## ۱-۲- کسرهای مولی:

$$X_{\text{Prp}} = \frac{\text{Mg}}{\text{Fe}^{2+} + \text{Mg} + \text{Mn} + \text{Ca}}$$

$$X_{\text{Alm}} = \frac{\text{Fe}^{2+}}{\text{Fe}^{2+} + \text{Mg} + \text{Mn} + \text{Ca}}$$

$$X_{\text{Grs}} = \frac{\text{Ca}}{\text{Fe}^{2+} + \text{Mg} + \text{Mn} + \text{Ca}}$$

$$X_{\text{Sps}} = \frac{\text{Mn}}{\text{Fe}^{2+} + \text{Mg} + \text{Mn} + \text{Ca}}$$

$$\# \text{mg (in \%)} = 100 \cdot \frac{\text{Mg}}{\text{Fe}^{2+} + \text{Mg}}$$

$$W_{\text{Grt}} = \left( 200 \cdot \frac{X_{\text{Prp}}}{X_{\text{Prp}} + X_{\text{Alm}}} \right) + \left( 2500 \cdot \frac{X_{\text{Alm}}}{X_{\text{Prp}} + X_{\text{Alm}}} \right)$$

۲-۲- اکتیویته اعضای نهایی: (توجه: همه مدل‌های مربوط به اکتیویته گارنت بر اساس  $T \neq 0^\circ\text{C}$  ارائه شده‌اند).

گانگولی و پرکینز<sup>۱</sup> (۱۹۷۴):

$$\ln \gamma_{\text{Pyr}} = \left( \frac{(3300 - 1.5 T_K) \cdot (X_{\text{Pyr}}^2 + X_{\text{Pyr}} \cdot X_{\text{Alm}})}{R \cdot T_K} \right)$$

$$\ln \gamma_{\text{Grs}} = \left( \frac{(3300 - 1.5 T_K) \cdot (X_{\text{Grs}}^2 + X_{\text{Grs}} \cdot X_{\text{Alm}})}{R \cdot T_K} \right)$$

$$\ln a_{\text{Pyr}} = 3 \cdot (\ln \gamma_{\text{Pyr}} + \ln X_{\text{Pyr}})$$

$$\ln a_{\text{Grs}} = 3 \cdot (\ln \gamma_{\text{Grs}} + \ln X_{\text{Grs}})$$

پرکینز (۱۹۷۹):

$$W_1 = 3480 - (1.2 \cdot T_C)$$

$$W_2 = 4180 - (1.2 \cdot T_C)$$

$$W_3 = 1050 - (1.2 \cdot T_C)$$

$$\ln \gamma_{\text{Grs}} = \left( \frac{W_3 \cdot X_{\text{Alm}}^2 + W_2 \cdot X_{\text{Pyr}}^2 + (W_3 - W_1 + W_2) \cdot X_{\text{Alm}} \cdot X_{\text{Pyr}}}{R \cdot T_K} \right)$$

<sup>1</sup> Ganguly and Perkins

$$\ln \gamma_{\text{Alm}} = \left( \frac{W_3 \cdot X_{\text{Grs}}^2 + W_1 \cdot X_{\text{Pyr}}^2 + (W_3 - W_2 + W_1) \cdot X_{\text{Grs}} X_{\text{Pyr}}}{R \cdot T_K} \right)$$

$$a_{\text{Alm}} = \exp [3 \cdot (\ln \gamma_{\text{Alm}} + \ln X_{\text{Alm}})]$$

$$a_{\text{Grs}} = \exp [3 \cdot (\ln \gamma_{\text{Grs}} + \ln X_{\text{Grs}})]$$

هو جز و اسپیر (۱۹۸۲):

$$a_{\text{Pyr}} = \left[ X_{\text{Pyr}} \cdot \exp \left( \frac{(13800 - 6.28 T_K) \cdot (X_{\text{Grs}}^2 + X_{\text{Alm}} \cdot X_{\text{Grs}} + X_{\text{Sps}} \cdot X_{\text{Grs}})}{R \cdot T_K} \right) \right]^3$$

$$a_{\text{Grs}} = \left[ X_{\text{Grs}} \cdot \exp \left( \frac{(13800 - 6.28 T_K) \cdot (X_{\text{Pyr}}^2 + X_{\text{Alm}} \cdot X_{\text{Pyr}} + X_{\text{Sps}} \cdot X_{\text{Pyr}})}{R \cdot T_K} \right) \right]^3$$

$$a_{\text{Alm}} = \left[ X_{\text{Alm}} \cdot \exp \left( \frac{(13800 - 6.28 T_K) \cdot (-X_{\text{Grs}} \cdot X_{\text{Pyr}})}{R \cdot T_K} \right) \right]^3$$

نیوتن و پرکینز<sup>۱</sup> (۱۹۸۲):

$$W_{\text{Grs} - \text{Pyr}} = 13.087 - (0.0063 \cdot T_K)$$

$$a_{\text{Grs}} = X_{\text{Grs}} \cdot \exp \left[ \frac{W_{\text{Grs} - \text{Pyr}}}{R \cdot T_K} \cdot (X_{\text{Pyr}}^2 + X_{\text{Pyr}} X_{\text{Alm}}) \right]$$

$$a_{\text{Pyr}} = X_{\text{Pyr}} \cdot \exp \left[ \frac{W_{\text{Grs} - \text{Pyr}}}{R \cdot T_K} \cdot (X_{\text{Grs}}^2 + X_{\text{Grs}} X_{\text{Alm}}) \right]$$

ساکسانا و اریکسون<sup>۲</sup> (۱۹۸۸): (تغییر یافته توسط پاریا و همکاران<sup>۳</sup>)

$$\ln \gamma_{\text{Alm}} = (X_{\text{Grs}}^2 \cdot (1.520 - 5.165 \cdot X_{\text{Alm}})) +$$

$$((X_{\text{Pyr}} X_{\text{Grs}} \cdot (-0.259 - 2.583 \cdot X_{\text{Alm}} - 1.498 \cdot X_{\text{Pyr}} + 1.498 \cdot X_{\text{Grs}})))$$

$$\ln \gamma_{\text{Pyr}} = (X_{\text{Grs}}^2 \cdot (-0.261 + 2.997 \cdot X_{\text{Pyr}})) +$$

$$((X_{\text{Alm}} X_{\text{Grs}} \cdot (0.259 + 1.498 \cdot X_{\text{Pyr}} + 2.583 \cdot X_{\text{Alm}} - 2.583 \cdot X_{\text{Grs}})))$$

$$a_{\text{Alm}} = \exp [3 \cdot (\ln X_{\text{Alm}} \cdot \ln \gamma_{\text{Alm}})]$$

$$a_{\text{Pyr}} = \exp [3 \cdot (\ln X_{\text{Pyr}} \cdot \ln \gamma_{\text{Pyr}})]$$

<sup>۱</sup> Newton and Perkins

<sup>۲</sup> Saxena and Erikson

<sup>۳</sup> Paria, Bhattacharya, and Sen

گانگولی و ساکسانا (۱۹۸۴): (تغییرات توسط پر کیز و چپرا<sup>۱</sup>)

$$a = X_{\text{Pyr}}^2 \cdot (1.24 - 3.0 \cdot X_{\text{Grs}})$$

$$b = X_{\text{Alm}}^2 \cdot (-1.07 + 5.16 \cdot X_{\text{Grs}})$$

$$c = X_{\text{Pyr}} X_{\text{Alm}} \cdot (0.05 + 1.08 \cdot X_{\text{Grs}} + 1.13 \cdot X_{\text{Pyr}} - 1.13 \cdot X_{\text{Alm}})$$

$$d = X_{\text{Pyr}} X_{\text{Sps}} \cdot (-0.99 - 1.5 \cdot X_{\text{Grs}})$$

$$e = X_{\text{Alm}} X_{\text{Sps}} \cdot (0.23 + 2.58 \cdot X_{\text{Grs}})$$

$$\ln \gamma_{\text{Grs}} = a + b + c + d + e$$

$$a = X_{\text{Alm}}^2 \cdot (1.23 - 2.26 \cdot X_{\text{Pyr}})$$

$$b = X_{\text{Grs}}^2 \cdot (-0.26 + 3.0 \cdot X_{\text{Pyr}})$$

$$c = X_{\text{Grs}} X_{\text{Alm}} \cdot (0.92 + 0.37 \cdot X_{\text{Pyr}} + 2.53 \cdot X_{\text{Alm}} - 2.53 \cdot X_{\text{Grs}})$$

$$d = X_{\text{Alm}} X_{\text{Sps}} \cdot (2.14 - 1.13 \cdot X_{\text{Pyr}})$$

$$e = 1.48 \cdot X_{\text{Sps}}^2 + X_{\text{Grs}} X_{\text{Sps}} \cdot (1.96 + 1.50 \cdot X_{\text{Pyr}})$$

$$\ln \gamma_{\text{Pyr}} = a + b + c + d + e$$

$$a = X_{\text{Grs}}^2 \cdot (1.52 - 5.17 \cdot X_{\text{Alm}})$$

$$b = X_{\text{Pyr}}^2 \cdot (0.10 + 2.26 \cdot X_{\text{Alm}})$$

$$c = X_{\text{Grs}} X_{\text{Pyr}} \cdot (0.40 - 1.45 \cdot X_{\text{Alm}} + 1.50 \cdot X_{\text{Grs}} - 1.50 \cdot X_{\text{Pyr}})$$

$$d = X_{\text{Grs}} X_{\text{Sps}} \cdot (0.23 - 2.58 \cdot X_{\text{Alm}})$$

$$e = X_{\text{Pyr}} X_{\text{Sps}} \cdot (0.66 + 1.13 \cdot X_{\text{Alm}})$$

$$\ln \gamma_{\text{Alm}} = a + b + c + d + e$$

$$a_{\text{Alm}} = \exp [3 \cdot (\ln X_{\text{Alm}} \cdot \ln \gamma_{\text{Alm}})]$$

$$a_{\text{Pyr}} = \exp [3 \cdot (\ln X_{\text{Pyr}} \cdot \ln \gamma_{\text{Pyr}})]$$

$$a_{\text{Grs}} = \exp [3 \cdot (\ln X_{\text{Grs}} \cdot \ln \gamma_{\text{Grs}})]$$

گانگولی و ساکسانا (۱۹۸۴): (تغییرات توسط موخر و همکاران<sup>۲</sup>، ۱۹۸۸):

$$a = X_{\text{Pyr}}^2 \cdot (4047 - 1.5 \cdot T_K - 6094 \cdot X_{\text{Grs}})$$

$$b = X_{\text{Alm}}^2 \cdot (150 - 1.5 \cdot T_K - 7866 \cdot X_{\text{Grs}})$$

$$c = X_{\text{Pyr}} X_{\text{Alm}} \cdot (3290 - 3.0 \cdot T_K - 866 \cdot X_{\text{Grs}} + 2300 (X_{\text{Grs}} - X_{\text{Alm}}) + 4620 (1 - 2 \cdot X_{\text{Grs}}))$$

<sup>1</sup> Perkins and Chipera

<sup>2</sup> Moecher, Essene, and Anovitz

$$d = X_{\text{Pyr}} \cdot X_{\text{Alm}} \cdot (2117 - 3.0 \cdot T_K - 3933 \cdot X_{\text{Grs}} + 2300 (X_{\text{Grs}} - X_{\text{Alm}}) - 1967 (1 - 2 \cdot X_{\text{Grs}}))$$

$$e = X_{\text{Pyr}} \cdot X_{\text{Sps}} \cdot (2524 - 3.0 \cdot T_K - 3047 \cdot X_{\text{Grs}} + 2300 (X_{\text{Grs}} - X_{\text{Alm}}) - 1524 (1 - 2 \cdot X_{\text{Grs}}))$$

$$f = 2300 \cdot (X_{\text{Pyr}} \cdot X_{\text{Alm}} \cdot X_{\text{Sps}})$$

$$\ln \gamma_{\text{Grs}} = \left( \frac{a + b + c + d + e + f}{R \cdot T_K} \right)$$

$$a = X_{\text{Grs}}^2 \cdot (1000 - 1.5 \cdot T_K - 6094 \cdot X_{\text{Pyr}})$$

$$b = (X_{\text{Alm}}^2 \cdot (2500 - 4600 \cdot X_{\text{Pyr}})) + (3000 \cdot X_{\text{Sps}}^2)$$

$$c = X_{\text{Grs}} \cdot X_{\text{Alm}} \cdot (1757 + 747 \cdot X_{\text{Pyr}} - 3993 (X_{\text{Grs}} - X_{\text{Alm}}) + 4640 (1 - 2 \cdot X_{\text{Pyr}}))$$

$$d = X_{\text{Sps}} \cdot X_{\text{Alm}} \cdot (4350 - 2300 \cdot X_{\text{Pyr}} + 1150 (1 - 2 \cdot X_{\text{Pyr}}))$$

$$e = X_{\text{Grs}} \cdot X_{\text{Sps}} \cdot (5524 + 3047 \cdot X_{\text{Pyr}} - 1524 (1 - 2 \cdot X_{\text{Pyr}}))$$

$$f = 3933 \cdot (X_{\text{Grs}} \cdot X_{\text{Alm}} \cdot X_{\text{Sps}})$$

$$\ln \gamma_{\text{Pyr}} = \left( \frac{a + b + c + d + e + f}{R \cdot T_K} \right)$$

$$a = X_{\text{Pyr}}^2 \cdot (200 + 4600 \cdot X_{\text{Alm}})$$

$$b = X_{\text{Grs}}^2 \cdot (4083 - 1.5 \cdot T_K - 7866 \cdot X_{\text{Alm}})$$

$$c = X_{\text{Grs}} \cdot X_{\text{Pyr}} \cdot (943 - 1633 \cdot X_{\text{Alm}} - 3047 (X_{\text{Pyr}} - X_{\text{Grs}}) - 4640 (1 - 2 \cdot X_{\text{Alm}}))$$

$$d = X_{\text{Sps}} \cdot X_{\text{Grs}} \cdot (2117 - 1.5 \cdot T_K - 3933 \cdot X_{\text{Alm}} + 1917 (1 - 2 \cdot X_{\text{Alm}}))$$

$$e = X_{\text{Pyr}} \cdot X_{\text{Sps}} \cdot (-1650 + 2300 \cdot X_{\text{Alm}} - 1150 (1 - 2 \cdot X_{\text{Alm}}))$$

$$f = 3048 \cdot (X_{\text{Grs}} \cdot X_{\text{Pyr}} \cdot X_{\text{Sps}})$$

$$\ln \gamma_{\text{Alm}} = \left( \frac{a + b + c + d + e + f}{R \cdot T_K} \right)$$

$$a_{\text{Alm}} = \exp [3 \cdot (\ln \gamma_{\text{Alm}} + \ln X_{\text{Alm}})]$$

$$a_{\text{Pyr}} = \exp [3 \cdot (\ln \gamma_{\text{Pyr}} + \ln X_{\text{Pyr}})]$$

$$a_{\text{Grs}} = \exp [3 \cdot (\ln \gamma_{\text{Grs}} + \ln X_{\text{Grs}})]$$

## - ۳ - ایلمنیت

## - ۱-۳ - کسرهای مولی:

$$X_{\text{Fe}^{2+}} = \frac{\text{Fe}^{2+}}{\text{Fe}^{2+} + \text{Mg} + \text{Mn} + \text{Ca}}$$

$$X_{\text{Mg}} = \frac{\text{Mg}}{\text{Fe}^{2+} + \text{Mg} + \text{Mn} + \text{Ca}}$$

$$X_{\text{Mn}} = \frac{\text{Mn}}{\text{Fe}^{2+} + \text{Mg} + \text{Mn} + \text{Ca}}$$

$$X_{\text{Ca}} = \frac{\text{Ca}}{\text{Fe}^{2+} + \text{Mg} + \text{Mn} + \text{Ca}}$$

## - ۲-۳ - اکتیویته اعضای نهایی:

$$a_{\text{Fe}^{2+}} = X_{\text{Fe}^{2+}}^4$$

## - ۴ - الیوین

## - ۱-۴ - کسرهای مولی:

$$X_{\text{Fe}^{2+}} = \frac{\text{Fe}^{2+}}{\text{Fe}^{2+} + \text{Mg}}$$

$$X_{\text{Mg}} = \frac{\text{Mg}}{\text{Fe}^{2+} + \text{Mg}}$$

## - ۲-۴ - اکتیویته اعضای نهایی:

انجی<sup>۱</sup> (۱۹۸۰): (این مدل برای  $T < 727^{\circ}\text{C}$  قابل استفاده است)

$$a_{\text{Fo}} = \left( X_{\text{Mg}} \right)^2$$

$$a_{\text{Fa}} = \left( X_{\text{Fe}^{2+}} \right)^2$$

اُنیل و وود<sup>۲</sup> (۱۹۷۹): (این مدل برای  $T \neq 0^{\circ}\text{C}$  قابل استفاده است)

$$\gamma_{\text{Fo}} = \exp \left[ \frac{X_{\text{Mg}}^2 \cdot 990}{\frac{R}{4.184} \cdot T_{\text{K}}} \right]$$

<sup>1</sup> Engi<sup>2</sup> O'Neill and Wood

$$\gamma_{Fa} = \exp \left[ \frac{\frac{X_{Fe^{2+}}^2 \cdot 990}{R}}{\frac{4 \cdot 184}{2} \cdot T_K} \right]$$

$$a_{Fo} = (X_{Mg} \cdot \gamma_{Fo})^2$$

$$a_{Fa} = (X_{Fe^{2+}} \cdot \gamma_{Fa})^2$$

وود و کلپا<sup>۱</sup> (۱۹۸۱): (تغییرات توسط گیورسو و همکاران<sup>۲</sup>، ۱۹۸۳)، (این مدل برای قابل استفاده است)  $T \neq 0^\circ\text{C}$

$$\gamma_{Fo} = \exp \left[ \frac{2000 \cdot (1 - X_{Mg}) \cdot X_{Fe^{2+}}^2}{R \cdot T_K} \right]$$

$$\gamma_{Fa} = \exp \left[ \frac{1000 \cdot (1 + 2X_{Fe^{2+}}) \cdot X_{Mg}^2}{R \cdot T_K} \right]$$

$$a_{Fo} = (X_{Mg} \cdot \gamma_{Fo})^2$$

$$a_{Fa} = (X_{Fe^{2+}} \cdot \gamma_{Fa})^2$$

## ۵- پلازیوکلاز

### ۱-۵- کسرهای مولی:

$$X_{Ab} = \frac{Na}{Na + Ca + K}$$

$$X_{An} = \frac{Ca}{Na + Ca + K}$$

$$X_{Or} = \frac{K}{Na + Ca + K}$$

۲-۵- اکتیویته اعضای نهایی: (اکتیویته پلازیوکلاز که در آن دما مدنظر است، تنها

وقتی  $T \neq 0^\circ\text{C}$  می‌باشد قابل محاسبه است)

أُرويل<sup>۳</sup>: (۱۹۷۲)

$$a_{An} = 1.276 \cdot X_{An}$$

$$a_{Ab} = a_{An}$$

<sup>1</sup> Wood and Kleppa

<sup>2</sup> Ghiorso

<sup>3</sup> Orville

کریک و دارکن<sup>۱</sup> (۱۹۷۵):

$$a_{Ab} = X_{Ab}^2 \cdot (2 - X_{Ab})$$

$$a_{An} = (1 + X_{An})^2 \cdot \frac{X_{An}}{4}$$

نیوتن و همکاران<sup>۲</sup> (۱۹۸۰):

$$W_{Ab} = 2025$$

$$W_{An} = 6742$$

$$\gamma_{An} = \exp \left[ \frac{X_{Ab}^2 \cdot (W_{An} + (2 \cdot (W_{Ab} - W_{An}) \cdot X_{An}))}{R \cdot T_K} \right]$$

$$\gamma_{Ab} = \exp \left[ \frac{X_{An}^2 \cdot (W_{Ab} + (2 \cdot (W_{An} - W_{Ab}) \cdot X_{Ab}))}{R \cdot T_K} \right]$$

$$a_{An} = \gamma_{An} \cdot \frac{X_{An} \cdot (1 + X_{An})^2}{4}$$

$$a_{Ab} = \gamma_{Ab} \cdot \frac{X_{An}^2 \cdot (2 - X_{Ab})}{4}$$

نیوتن (۱۹۸۳): (تغییرات بعدی توسط پرکینز و چپرا، ۱۹۸۵) (a, b)

$$\gamma_{An} = \exp \left[ \frac{X_{Ab}^2 \cdot (1032 + 4727 \cdot X_{An})}{T_K} \right]$$

$$a_{An} = \gamma_{An} \cdot \frac{X_{An} \cdot (1 + X_{An})^2}{4}$$

هوجز و رویدن<sup>۳</sup> (۱۹۸۴):

$$a_{An} = X_{An} \cdot \exp \left( \frac{610 - 34}{T_K} - 0.3837 \right)$$

نیوتن (۱۹۸۳): (تغییرات توسط پاریا و همکاران، ۱۹۸۸ برای  $T > 700^\circ\text{C}$ )

$$a_{An} = \frac{\left[ X_{An} \cdot (1 + X_{An})^2 \right]}{4} \cdot \exp \left( X_{Ab}^2 \cdot \frac{1032 + 4726 \cdot X_{An}}{T_K} \right)$$

<sup>۱</sup> Kerrick and Darken

<sup>۲</sup> Newton, Charlu, and Kleppa

<sup>۳</sup> Hodges and Royden

## ۶- پیروکسن (ارتو و کلینو)

## ۱-۶ - کسرهای مولی:

$$Al_{M1}^{vi} = Al^{tot} - Al^{iv}$$

$$X_{M1}^{3+} = \frac{Al_{M1}^{vi} + Ti + Cr + Fe^{3+} + Fe_{M1}^{2+}}{Fe_{M1}^{2+} + Mg_{M1} + Al_{M1}^{vi} + Fe^{3+} + Cr + Ti}$$

$$X_{Fe^{2+}}^{M1} = \frac{Fe_{M1}^{2+}}{Fe_{M1}^{2+} + Mg_{M1} + Al_{M1}^{vi} + Fe^{3+} + Cr + Ti}$$

$$X_{Mg}^{M1} = \frac{Mg_{M1}}{Fe_{M1}^{2+} + Mg_{M1} + Al_{M1}^{vi} + Fe^{3+} + Cr + Ti}$$

$$X_{Fe^{2+}}^{M2} = \frac{Fe_{M2}^{2+}}{Fe_{M2}^{2+} + Mg_{M2} + Ca + Mn + Na}$$

$$X_{Mg}^{M2} = \frac{Mg_{M2}}{Fe_{M2}^{2+} + Mg_{M2} + Ca + Mn + Na}$$

$$X_{Ca}^{M2} = \frac{Ca}{Fe_{M2}^{2+} + Mg_{M2} + Ca + Mn + Na}$$

## ۲-۶ - اعضای نهایی (%):

$$Jd = 100 \cdot \frac{Al^{vi} + Na + Cr}{Al^{vi} + Na + Cr + Mg + Fe^{2+} + Mn + Ca}$$

$$Hy = 100 \cdot \frac{Mg + Fe^{2+} + Mn}{Al^{vi} + Na + Cr + Mg + Fe^{2+} + Mn + Ca}$$

$$Wo = 100 \cdot \frac{Ca}{Al^{vi} + Na + Cr + Mg + Fe^{2+} + Mn + Ca}$$

$$Jd = 100 \cdot \frac{Al^{vi}}{\frac{Fe^{2+} + Mg + Ca}{2} + Al^{vi} + Fe^{3+}}$$

$$Ae = 100 \cdot \frac{Fe^{3+}}{\frac{Fe^{2+} + Mg + Ca}{2} + Al^{vi} + Fe^{3+}}$$

$$Aug = 100 \cdot \frac{Fe^{2+} + Mg + Ca}{Fe^{2+} + Mg + Ca + 2 \cdot (Al^{vi} + Fe^{3+})}$$

$$Jd = 100 \cdot \left( \frac{2 \cdot Na}{2 \cdot Na + Fe^{2+} + Mg + Ca} \right) \cdot \frac{Al^{vi}}{Fe^{3+} + Al^{vi}}$$

$$Ae = 100 \cdot \left( \frac{2 \cdot Na}{2 \cdot Na + Fe^{2+} + Mg + Ca} \right) \cdot \frac{Fe^{3+}}{Fe^{3+} + Al^{vi}}$$

$$Q = 100 \cdot \frac{Fe^{2+} + Mg + Ca}{2 \cdot Na + Fe^{2+} + Mg + Ca}$$

$$Wo = 100 \cdot \frac{Ca}{Ca + Mg + Fe^{2+}}$$

$$En = 100 \cdot \frac{Mg}{Ca + Mg + Fe^{2+}}$$

$$Fs = 100 \cdot \frac{Fe^{2+}}{Ca + Mg + Fe^{2+}}$$

### ۳-۶-۱ کتیویته اعضای نهایی:

وود و بانو (۱۹۷۳):

$$a_{En} = X_{Mg}^{M2} \cdot X_{Mg}^{M1}$$

$$a_{Di} = X_{Ca}^{M2} \cdot X_{Mg}^{M1}$$

$$a_{Fs} = X_{Fe^{2+}}^{M2} \cdot X_{Fe^{2+}}^{M1}$$

هرزبرگ و چاپمن (۱۹۷۶):

$$a_{Ca-Ts} = X_{Ca}^{M2} \cdot X_{Al}^{M1}$$

هلند (۱۹۸۳، ۱۹۸۰، ۱۹۷۹):

$$W_G^{Cpx} = 24000 \pm 2$$

$$\ln \gamma_{Jd} = \frac{W_G^{Cpx} \cdot (1 - X_{Al}^{M1})^2}{R \cdot T_k}$$

$$a_{Jd} = \left( X_{Al}^{M1} \right)^2 \cdot \gamma_{Jd}$$

گاسپایک و نیوتون (۱۹۸۴):

$$a_{Mg-Ts} = X_{Mg}^{M2} \cdot X_{Al}^{M1}$$

چاترجه و ترهارت<sup>۱</sup> (۱۹۸۵):

$$\gamma_{En} = \exp \left[ \frac{-P_{bar} \cdot 0.2827 \cdot X_{Al^{vi}}^{M1} \cdot \left( X_{Al^{vi}}^{M1} + X_{Cr}^{M1} \right)}{R \cdot T_K} \right]$$

$$\gamma_{Mg-Ts} = \exp \left[ \frac{-P_{bar} \cdot 0.2827 \cdot \left( 1 - X_{Al^{vi}}^{M1} - X_{Cr}^{M1} \right) \cdot \left( 1 - X_{Al^{vi}}^{M1} \right)}{R \cdot T_K} \right]$$

(Note: if  $T=0^{\circ}C$  or  $P=0$  kbar then  $T=600^{\circ}C$  and  $P=5$  kbar)

موخر و همکاران (۱۹۸۸):

$$a_{Hd} = X_{Ca}^{M2} \cdot X_{Fe^{2+}}^{M1}$$

الشیزلى و همکاران<sup>۲</sup> (۱۹۹۰):

$$a_{Jd} = X_{Na}^{M2} \cdot X_{Al^{vi}}^{M1}$$

-۴ اسپینل

-۱-۷ کسرهای مولی:

$$X_{Fe^{2+}}^X = \frac{Fe^{2+}}{Fe^{2+} + Mg + Mn + Zn}$$

$$X_{Mg}^X = \frac{Mg}{Fe^{2+} + Mg + Mn + Zn}$$

$$X_{Mn}^X = \frac{Mn}{Fe^{2+} + Mg + Mn + Zn}$$

$$X_{Zn}^X = \frac{Zn}{Fe^{2+} + Mg + Mn + Zn}$$

$$X_{Al^{tot}}^Y = \frac{Al^{tot}}{Al^{tot} + Cr + Ti + Fe^{3+}}$$

$$X_{Cr}^Y = \frac{Cr}{Al^{tot} + Cr + Ti + Fe^{3+}}$$

$$X_{Ti}^Y = \frac{Ti}{Al^{tot} + Cr + Ti + Fe^{3+}}$$

$$X_{Fe^{3+}}^Y = \frac{Fe^{3+}}{Al^{tot} + Cr + Ti + Fe^{3+}}$$

<sup>1</sup> Chatterjee and Terhart

<sup>2</sup> El-Shazly, Coleman, and Liou

$$Y_{Al^{tot}} = \frac{Al^{tot}}{Al^{tot} + Cr + Fe^{3+}}$$

$$Y_{Cr} = \frac{Cr}{Al^{tot} + Cr + Fe^{3+}}$$

$$Y_{Fe^{3+}} = \frac{Fe^{3+}}{Al^{tot} + Cr + Fe^{3+}}$$

-۲-۷ - اکتیویته اعضاي نهايی:

هرزبرگ و چاپمن (۱۹۷۶):

$$a_{Mg-Spl} = X_{Mg}^X \cdot \left( X_{Al^{tot}}^Y \right)^2$$

چاترجی و ترہارت (۱۹۸۵):

$$W_{MgAl-Spl} = 19686 + (0.463 \cdot T_K) + (0.0182 \cdot P_{bar})$$

$$W_{MgCr-Spl} = 23894 + (1.964 \cdot T_K) + (0.0504 \cdot P_{bar})$$

$$\gamma_{MgAl-Spl} = \exp \left[ \frac{(2W_{MgCr-Spl} - W_{MgAl-Spl}) \cdot (X_{Cr}^Y)^2 + (2(W_{MgAl-Spl} - W_{MgCr-Spl})) \cdot (X_{Cr}^Y)^3}{R \cdot T_K} \right]$$

$$\gamma_{MgCr-Spl} = \exp \left[ \frac{(2W_{MgAl-Spl} - W_{CrAl-Spl}) \cdot (1 - X_{Cr}^Y)^2 + (2(W_{MgCr-Spl} - W_{MgAl-Spl})) \cdot (1 - X_{Cr}^Y)^3}{R \cdot T_K} \right]$$

$$a_{MgAl-Spl} = \left( 1 - X_{Cr}^Y \right)^2 \cdot \gamma_{MgAl-Spl}$$

$$a_{MgCr-Spl} = \left( X_{Cr}^Y \right)^2 \cdot \gamma_{MgCr-Spl}$$

(Note: if  $T = 0^\circ C$  then  $T = 900^\circ C$ )

# منابع

**References:**

- Abrecht J., Hewitt D.A. (1988). Experimental evidence on the substitution of Ti in biotite. Am. Min. **73**: 1275 - 1284.
- Adams G.E., Bishop F.C. (1986). The olivine-clinopyroxene geobarometer: experimental results in the CaO- FeO- MgO - SiO<sub>2</sub> system. Contrib. Mineral. Petrrol. **94**: 230-237.
- Ai Y. (1994). A revision of the garnet-clinopyroxene Fe<sup>2+</sup>-Mg exchange geothermometer. Contrib. Mineral. Petrrol. **115**: 467-473.
- Aksyuk A.M. (1991). Physico-chemical conditions of the formation of the magmatic stage in skarn-their genesis and metallogenesis. P. 593-617.
- Andersen D.J., Lindsley D.H. (1988). Internally consistent solution models for Fe-Mg-Mn-Ti oxides: Fe-Ti oxides. Am. Min. **73**: 714-726.
- Anderson J. L. (1997). Status of thermobarometry in granitic batholiths. Trans. Roy. Soc. Edinb., Earth Sciences. **87**: 125-138.
- Anderson J., Smith D. (1995). The effect of temperature and oxygen fugacity on Al-in-hornblende barometry. Am. Min. **80**: 549-559.
- Anovitz L.M., Essene E.J. (1982). Phase relations in the system CaCO FeCO Trans. Am. Geophys. Union **63**: p. 464.
- Aranovich L.Y., Berman R.G. (1997). A new garnet-orthopyroxene thermometer based on reversed Al<sub>2</sub>O<sub>3</sub> solubility in FeO-Al<sub>2</sub>O<sub>3</sub>-SiO<sub>2</sub> orthopyroxene. Am. Min. **82**: 345-353.
- Arima M., Edgar A.D. (1981). Substitution mechanisms and solubility of titanium in phlogopites from rocks of probable mantle origin. Contrib. Mineral. Petrrol. **77**: 288-295.
- Ballhaus C., Berry R.F., Green D. H. (1991b). Errata: High pressure experimental calibration of the olivine orthopyroxene-spinel oxygen geobarometer: implications for the oxidation state of the upper mantle. Contrib. Mineral. Petrrol. **108**(3): p. 384.
- Ballhaus C., Berry R.F., Green D.H. (1991a). High pressure experimental calibration of the olivine orthopyroxene-spinel oxygen geobarometer: implications for the oxidation state of the upper mantle. Contrib. Mineral. Petrrol. **107**(1):27-40.
- Barnes H.L. (1979). Solubilities of ore minerals. In geochemistry of hydrothermal ore deposits. 2nd edition (H. L. Barnes, ed.). John Wiley & sons, New York. p. 404-460.
- Barth T.F.W. (1956). Studies in gneiss and granite, Skrift. Norske Vidensk.-Akad. Oslo. **1**: 263-274.
- Barth T.F.W. (1969). Feldspars. John Wiley & sons, New York. 261 p.
- Berman R.G., Aranovich L. Y., Pattison D.R. (1995). Reassessment of the garnet-clinopyroxene Fe-Mg exchange thermometer: II. Thermodynamic analysis.

- Contrib. Mineral. Petrol. **119**: 30-42.
- Bertrand P., Sotin C., Mercier J.C., Takahashi E. (1986). From the simplest chemical system to natural one : garnet peridotite barometry. Contrib. Mineral. Petrol. **93**:168-178.
- Bhattacharya A. (1986). Some geobarometers involving cordierite in the FeO-Al<sub>2</sub>O<sub>3</sub>-SiO<sub>2</sub>(±H<sub>2</sub>O) system: refinements, thermodynamic calibration, and applicability in granulite facies rocks. Contrib. Mineral. Petrol. **94**:387-394.
- Bhattacharya A., Mazumdar A.C., Sen S.K. (1988). Fe-Mg mixing in cordierite: Constraints from natural data and implications for cordierite-garnet geothermometry in granulites. Am. Min. **73**: 338-344.
- Bhattacharya A., Mohanty L., Maji A., Sen S. K., Raith M. (1992). Non-ideal mixing in the phlogopite-annite binary: constraints from experimental data on Fe-Mg partitioning and a reformulation of the biotite-garnet geothermometer. Contrib. Mineral. Petrol. **111**:87-93
- Bird D.K., Schiffman P., Elders W.A., Williams A.E., McDowell S.D. (1984). Calc-silicate mineralization in active geothermal systems. Econ. Geol. **79**: 671-695.
- Bishop F.C. (1980). The distribution of Fe<sup>2+</sup> and Mg between coexisting ilmenite and pyroxene with applications to geothermometry. Am. J. Sci. **280**: 46-77
- Blundy J.D., Holland T.J.B. (1990). Calcic amphibole equilibria and a new amphibole-plagioclase geothermometer. Contrib. Mineral. Petrol. **104**: 208-224.
- Bohlen S. R., Liotta J.J. (1986). A barometer for garnet amphibolites and garnet granulites. J. Petrol. **27(5)**: 1025-1034.
- Bohlen S. R., W. A. Dollase., V. J. Wall. (1986). Calibration and application of spinel equilibria in the system FeO-Al<sub>2</sub>O<sub>3</sub>-SiO<sub>2</sub>. J. Petrol. **27**: 1143-1156
- Bohlen S. R., Wall V. J., Boettcher A. L. (1983). Experimental investigation and application to garnet granulite equilibria. Contrib. Mineral. Petrol. **83**: 52-61.
- Bohlen S.R., Boettcher A.L. (1981). Experimental investigations and geological applications of orthopyroxene geobarometry. Am. Min. **66(9/10)**: 951-964.
- Bohlen S.R., Essene E.J. (1979). A critical evaluation of two-pyroxene thermometry in Adirondack granulites. Lithos. **12**: 335-345.
- Bohlen S.R., Wall V.J., Boettcher A.L. (1983). In: Saxena, S.K., Kinetics and equilibrium in mineral reactions. Adv. Phys. Geochem. **3**:141-171, New York (Springer).
- Bowman J.R., Essene E.J. (1984). Contact skarn formation at Elkhorn, Montana. I: P-T component activity conditions of early skarn formation. Am. J. Sci. **284**: 597-650.
- Brauckmann F.J. (1984). Hochdiagenese im Muschelkalk der Massive von Bramsche und Vlotho. Bochumer Geol. Geotech. Arb. **14**.
- Brauckmann F.J., Füchtbauer H. (1983). Alterations of Cretaceous siltstones and

- sandstones near basalt contacts (Nügssuaq, Greenland). *Sediment. Geol.* **35**: 193 - 213.
- Brey G.T., Köhler T. (1990). Geothermobarometry in four phase lherzolites, part II: new thermobarometers, and practical assessment of existing thermobarometers. *J. Petrol.* **31(6)**: 1353-1378.
- Brindley G.W. (1980). In: Brindley, G.W. and Brown, G., *Crystal Structures of Clay Minerals and their X-ray Identification*. Min. Soc. London. p. 126-195.
- Brown E. H. (1977). The crossite content of Ca-amphibole as a guide to pressure of metamorphism. *J. Petrol.* **18**: 53 - 72.
- Brown WL., Parsons I. (1981). Towards a more practical two feldspar geothermometer. *Contrib. Mineral. Petrol.* **76**: 369-377.
- Bryndzia L.T., Scott S.D., Spry P.G. (1990). Sphalerite and hexagonal pyrrhotite geobarometer: Correction in calibration and application. *Econ Geol.* **85**:408-411.
- Bryndzia L.T., Scott S.D., Spry P.G.(1988). Sphalerite and hexagonal pyrrhotite geobarometer: Experimental calibration and application to the metamorphosed sulfide ores of Broken Hill, Australia. *Econ. Geol.* **83**:1193-1204.
- Bucher-Nurminen K. (1987). A recalibration of the chlorite-biotite-muscovite geobarometer. *Contrib. Mineral. Petrol.* **96**: 519-522.
- Carlson W.D., Lindsley D.H. (1988). Thermochemistry of pyroxenes on the join  $Mg_2Si_2O_6$ - $CaMgSi_2O_6$ . *Am. Min.* **73**: 242-25
- Cathelineau M., Nieva D. (1985). A chlorite solution geothermometer. The Los Azufres (Mexico) geothermal system. *Contrib. Mineral. Petrol.* **91**:235-244.
- Chatterjee N. (1987). Evaluation of thermochemical data on Fe- Mg olivine, orthopyroxene, spinel and Ca-Fe-Mg-Al garnet. *Geochim. Cosm. Acta*. **51**: 2515-2525.
- Chatterjee N.D., Terhart L. (1985). Thermodynamic calculation of peridotite phase relations in the system  $MgO$ - $Al_2O_3$ - $SiO_2$ - $Cr_2O_3$ , with some geological applications. *Contrib. Mineral. Petrol.* **89**: 273-284.
- Chun-Ming W., Ben-He C. (2006). Valid garnet-biotite (GB) geothermometry and garnet-aluminosilicate-plagioclase-quartz (GASP) geobarometry in metapelitic rocks. *Lithos*. **89**: 1-23.
- Chun-Ming W., Guochun C. Z. (2006). Recalibration of the Garnet-Muscovite (GM) Geothermometer and the Garnet-Muscovite-Plagioclase-Quartz (GMPQ) Geobarometer for Metapelitic Assemblages. *J. Petrol.* 1-12.
- Chun-Ming W., Guochun C. Z. (2007). The metapelitic garnet-biotite-muscovite-aluminosilicate-quartz (GBMAQ) geobarometer. *Lithos*. **97**: 365-372.
- Dahl P.S. (1980). The thermal-compositional dependence of  $Fe^{2+}$ -Mg distributions between coexisting garnet and pyroxene: applications to geothermometry. *Am. Min.* **65(9/10)**: 852-866.

- Dasgupta S., Sengupta P., Guha D., Fukuoka M. (1991). A refined garnet-biotite Fe-Mg exchange geothermometer and its application in amphibolites and granulites. *Contrib. Mineral. Petro.* **109**: 130-137.
- De Caritat T.P., Hutcheon I., Walshe J.L. (1993). Chlorite geofthermometry: a review. *Clays Clay Minerals.* **41**: 219-239.
- Dickenson M.P., Hewitt D.A. (1986). A garnet-chlorite geothermometer. *Geol. Soc. Am. Abstr. Prog.* **18**: 584.
- Dymek R.F. (1983). Titanium, aluminum and interlayer cation substitutions in biotite from high-grade gneisses, West Green land. *Am. Min.* **68**: 880-899.
- Eckert J.O.Jr., Newton R.C., Kleppa O.J. (1991). The  $\Delta H$  of reaction and recalibration of garnet-pyroxene-plagioclase-quartz geobarometers in the CMAS system by solution calorimetry. *Am. Min.* **76(1/2)**: 148-160.
- Einaudi M.T., Meinert L.D., Newberry R.J. (1981). Skarn deposits. *Economic Geology.* 75th Annual. P:317-391.
- Elkins L.T. and Grove T.L. (1990). Ternary feldspar experiments and thermodynamic models. *Am. Min.* **75**: 544-559.
- Ellis D.J. (1980). Osumilite-sapphirine-quartz granulites from Enderby Land, Antarctica: P-T conditions of metamorphism, implications for garnet-cordierite equilibria and the evolution of the deep crust. *Contrib. Mineral. Petro.* **74**: 201-210.
- Ellis D.J. (1980). Osumilite-sapphirine-quartz granulites from Enderby Land Antarctica. *Contrib. Mineral. Petro.* **74**:201-210.
- Ellis D.J. (1986). Garnet-liquid  $Fe^{2+}$ -Mg equilibria and implications for the beginning of melting in the crust and subduction zones. *Am. J. Sci.* **286**: 765-791.
- Ellis D.J., Green D.H. (1979). An experimental study of the effect of Ca upon garnet-clinopyroxene Fe-Mg exchange equilibria. *Contrib. Mineral. Petro.* **71**: 13-22.
- El-Shazly A.E.D., Coleman R.G., Liou J.G. (1990). Eclogites and blueschists from the northern Oman: petrology and P-T evolution. *J. Petrol.* **31(3)**: 629-666.
- Engel A.E.J., Engel C.G. (1960). Progressive metamorphism and granitization of the major paragneiss, northwest Adirondack Mountains, New York, Part 2. *Mineralogy. Bull. Geol. Soc. Am.* **71**: 1-58.
- Engi M. (1980). The solid solution behavior of olivine in the temperature-range from 500 K to 1500 K: *Geol. Soc. Am. Abs. with Progr.* **12**: p. 421.
- Epstein A.G., Epstein J.B., Harris L.D. (1977). Conodont color alteration – an index to organic metamorphism. *U. S. Geol. Surv. Prof. Paper* 955.
- Ernst W. G., Liu J. (1998). Experimental phase-equilibrium study of Al- Ti- contents of calcic Amphibole in MORB - A semi quantitative thermobarometer. *Am. Min.* **83**: 952-969.
- Essene E.J. (1982). Geologic thermometry and barometry, Ferry, J. M., ed.,

- Characterization of metamorphism through mineral equilibria. Mineral. Soc. Am. Rev. Min. **11**: 153-206.
- Essene E.J. (1989). The current status of thermobarometry in metamorphic rocks, Daly, J. S., Cliff, R. A., and Yardley, B. W. D., eds., Evolution of metamorphic belts. Geol. Soc. Sp. Publ. **43**: 1-44.
- Fabriès J. (1979). Spinel-olivine geothermometry in peridotites from ultramafic complexes. Contrib. Mineral. Petrol. **69**: 329-336.
- Ferry J. M., Spear F. S. (1978). Experimental calibration of partitioning of Fe and Mg between biotite and garnet. Contrib. Mineral. Petrol. **66**: 113-117.
- Fettes D.F., Graham C.M., Sassi F.P., Scolari A. (1976). The basal spacing of potassio white micas and facies series variation across the Caledonides. Scot. J. Geol. **12**: 227-236.
- Fonarev J.M., Konilov A.N. (1986). Experimental study of Fe-Mg distribution between biotite and orthopyroxene at P=490 MPa. Contrib. Mineral. Petrol. **93**: 227-235.
- Forbes W.C., Flower M.F.J. (1974). Phase relations of titan-phlogopite,  $K_2Mg_4TiAl_2Si_6O_{20}(OH)_4$ : A refractory phase in the upper mantle. Earth Planet. Sci. Lett. **22**: 60-66.
- Frey M. (1987). Low temperature metamorphism, p. 22 ff. Glasgow (Blackie). 349 pp.
- Friedman I., O'Neil J.R. (1977). Compilation of stable isotope fractionation factors of geochemical interest. Geol. Surv. Prof. Pap. 440-K, chapter KK.
- Frost B.R., Lindsley D.H., Andersen D.J. (1988). Internally consistent solution models for Fe-Mg-Mn-Ti oxides. Am. Min. **73**: 727-740.
- Fuhrman M.L., Lindsley D.L. (1988). Ternary-feldspar modeling and thermometry. Am. Min. **73**: 201-215.
- Fujii T. (1977). Fe-Mg partitioning between olivine and spinel: Carnegie Inst. Washington, Year Book **76**:563-569
- Ganguly J. (1979). Garnet and clinopyroxene solid solutions, and geothermometry based on Fe Mg distribution coefficient. Geochim. Cosm. Acta. **43**: 1021-1029.
- Ganguly J., Saxena S.K. (1984). Mixing properties of aluminosilicate garnets: constraints from natural and experimental data and applications to geothermobarometry. Am. Min. **69(1/2)**: 88-97.
- Ganguly J., Cheng W., Tirone M. (1996). Thermodynamics of aluminosilicate garnet solid solution: new experimental data, an optimized model, and thermometric applications. Contrib. Mineral. Petrol. **126**: 137-151.
- Ganguly J., Perkins III, D. (1974). The energetics of natural solid solution: I. Mixing of the aluminosilicate end-members. Contrib. Mineral. Petrol. **48(2)**: 137-148.
- Gasparik T. (1987). Orthopyroxene thermobarometry in simple and complex systems.

- Contrib. Mineral. Petrol. **96**(3): 357-370.
- Gasparik T., Lindsley D.H. (1980). Phase equilibria at high pressure of pyroxenes containing monovalent and trivalent ions. Rev. Min. **7**: 309-340.
- Gasparik T., Newton R.C. (1984). The reversed alumina contents of orthopyroxene in equilibrium with spinel and forsterite in the system  $MgO-Al_2O_3-SiO_3$ . Contrib. Mineral. Petrol. **85**: 186-196.
- Ghent E.D., Stout M.Z. (1981). Geothermometry and geobarometry of plagioclase-biotite-garnet-muscovite assemblages. Contrib. Mineral. Petrol. **76**: 92-97.
- Ghent E.D., Stout M.Z. (1986). Garnet-hornblende thermometry,  $CaMg_2Si_2O_6$  activity, and the minimum pressure limits of metamorphism for garnet amphibolites. J. Geol. **94**: 736-743.
- Ghiorso M.S. (1984). Activity composition relations in the ternary feldspars. Contrib. Mineral. Petrol. **87**: 282-296.
- Ghiorso M.S., Carmichael I.S.E., Rivers M.L., Sack R.O. (1983). The Gibbs free energy of mixing of natural silicate liquids; an expanded regular solution approximation for the calculation of magmatic intensive variables. Contrib. Mineral. Petrol. **84**: 107-145.
- Gilbert M.C., Helz R. T., Popp R. K., Spear F. S. (1982). Experimental studies of amphibole stability. In D.R. Veblen and P.H. Ribbe, Eds., Amphiboles: petrology and experimental phase relations. Rev. Min., Mineral. Soc. Am. Washington, D.C. 9B: 229-353.
- Goldsmith J.R., Newton R.C. (1969). P-T-X relations in the system  $CaCO_3-MgCO_3$ . Am. J. Sci. **276A**: 160-190.
- Graham C.M., Powell R. (1984). A garnet-hornblende geothermometer: calibration, testing, and application to the Pelona Schist, Southern California. J. Metam. Geol. **3**: 13-21.
- Grambling J.A. (1990). Internally-consistent geothermometry and  $H_2O$  barometry in metamorphic rocks: The example garnet-chlorite-quartz. Contrib. Mineral. Petrol. **105**(6): 617-628.
- Green N.L., Usdansky, S.I. (1986). Toward a practical plagioclase-muscovite thermometer. Am. Min. **71**: 1109-1117.
- Green T.H., Adam J. (1991). Assessment of the garnet-clinopyroxene. Fe-Mg exchange thermometer using new experimental data. J. Metam. Geol. **9**: 341-347.
- Green T.H., Hellman P.L. (1982). Fe-Mg partitioning between coexisting garnet and phengite at high pressure, and comments on a garnet-phengite geothermometer. Lithos. **15**: 253-266.
- Greenwood H.J. (1967). Wollastonite. Am. Min. **52**: 1669-1680.
- Guidotti C.V., Sassi F.P. (1976). Muscovite as a petrogenetic indicator mineral in pelitic schists. N. Jb. Miner. Abh. **127**: 97-142.

- Hammarstrom J. M., Zen E-an. (1986). Aluminium in hornblende: an empirical igneous geobarometer. *Am. Min.* **71**: 1297-1313.
- Hanrahan M., Brey G., Woodland A. (2008). Li as a barometer for Bimimetic Eclogites. 9<sup>th</sup> International Kimberlite Conference Extended Abstracts. No. 9IKC-A-00370.
- Harley S.L. (1984). An experimental study of the partitioning of Fe and Mg between garnet and orthopyroxene. *Contrib. Mineral. Petro.* **86**: 359-373.
- Harley S.L. (1984a). An experimental study of the partitioning of Fe and Mg between garnet and orthopyroxene. *J. Petrol.* **25**:697-712.
- Harley S.L. (1984b). The solubility of alumina in orthopyroxene coexisting with garnet in.  $\text{FeO}-\text{MgO}-\text{Al}_2\text{O}_3-\text{SiO}_2$  and  $\text{CaO}-\text{FeO}-\text{MgO}-\text{Al}_2\text{O}_3-\text{SiO}_2$ . *Contrib. Mineral. Petro.* **86**: 359-373.
- Harley S.L., Green D.H. (1982). Garnet-orthopyroxene barometry for granulites and garnet peridotites. *Nature*. **300**: 697-700.
- Haselton H.T., Hovis G.L., Hemingway B.S., Robie R.A. (1983). Calorimetric investigation of the excess entropy of mixing in albite - sanidine solid solution; lack of evidence for Na, K short range order and implication for two feldspars thermometry. *Am. Min.* **68**: 398-413.
- Hawthorne F.C. (1983). The crystal chemistry of amphiboles. *Can. Min.* **21(2)**: 173-480.
- Henry D.J., Guidotti C.V., Thomson J.A. (2005). The Ti-saturation surface for low to medium pressure metapelitic biotite: Implications for Geothermometry and Ti-substitution Mechanisms. *Am. Min.* **90**: 316-328.
- Henry D.J., Guidotti C.V. (2002). Ti in biotite from metapelitic rocks: Temperature effects, crystallochemical controls and petrologic applications. *Am. Min.* **87**: 375-382.
- Hensen B.J., Green D.H. (1973). Synthesis of experimental data and geological implications. *Contrib. Mineral. Petro.* **38**:151-166.
- Henson B.J. (1977). Cordierite - garnet bearing assemblages as geothermometers and barometers in granulite facies terranes. *Tectonophys.* **43**:73-88.
- Herzberg C.T., Chapman N.A. (1976). Clinopyroxene geothermometry of spinel-lherzolites. *Am. Min.* **61(7/8)**: 626-637.
- Hodges K.V., Crowley P.D. (1985). Error estimation and empirical geothermobarometry for pelitic systems. *Am. Min.* **70**: 702-709. (Fe-rich)
- Hodges K.V., Royden L. (1984). Geologic thermobarometry of retrograde metamorphic rocks: an indication of the uplift trajectory of a portion of the northern Scandinavian Caledonides. *J. Geophys. Res.* **89(B8)**: 7077-7090.
- Hodges K.V., Spear F.S. (1982). Geothermometry, geobarometry and the  $\text{Al}_2\text{SiO}_5$  triple point at Mt. Moosilauke, New Hampshire. *Am. Min.* **67(11/12)**: 1118-1134.

- Hoinkes G. (1986). Effect of grossular content in garnet on the partitioning of Fe and Mg between garnet and biotite. *Contrib. Mineral. Petrol.* **92**: 393-399.
- Hoisch T.D. (1989). A muscovite-biotite geothermometer. *Am. Min.* **74**: 565-572.
- Hoisch T.D. (1990). Empirical calibration of six geobarometers for the mineral assemblage quartz + muscovite + biotite + garnet + plagioclase. *Contrib. Mineral. Petrol.* **104**: 225-234.
- Holdaway M. J., Mukhopadhyay B., Dyar M. D., Guidotti C. V., Dutrow B. L. (1997). Garnet-biotite geothermometry revised; new Margules parameters and a natural specimen data set from Maine. *Am. Min.* **82**:582-595.
- Holdaway M.J. (2000). Application of new experimental and garnet Margules data to the garnet-biotite geothermometer. *Am. Min.* **85**: 881-892.
- Holdaway M.J. (2001). Recalibration of the GASP geobarometer in light of recent garnet and plagioclase activity models and versions of the garnet-biotite geothermometer. *Am. Min.* **86**: 1117-1129.
- Holdaway M.J., Dutrow B.L., Hinton R.W. (1988). Devonian and. Carboniferous metamorphism in west-central Maine: The muscovite- almandine geobarometer and staurolite problem revisited. *Am. Min.* **73**:20-47.
- Holdaway M.J., Lee S.M. (1977). Fe-Mg cordierite stability in high gr.de pelitic rocks based on experimental, theoretical and natural observations. *Contrib. Mineral. Petrol.* **63**: 175-193.
- Holland T.J.B. (1980). The reaction albite = jadeite + quartz determined experimentally in the range 600-1200°C. *Am. Min.* **65(1/2)**: 129-134.
- Holland T.J.B., Blundy J.D. (1994). Non-ideal interactions in calcic amphiboles and their bearing on amphibole-plagioclase thermometry. *Contrib. Mineral. Petrol.* **116**: 443-447.
- Holland T.J.B., Richardson S.W. (1979). Amphibole zonation in metabasites as a guide to the evolution of metamorphic conditions. *Contrib. Mineral. Petrol.* **70**: 143-148.
- Hollister L.S., Grissom G.C., Peters E.K., Stowell H. H., Sisson V. B. (1987). Confirmation of the empirical correlation of Al in hornblende with pressure of solidification of calcalkaline plutons. *Am. Min.* **72(3/4)**: 231-239.
- Hynes A., Forest R.C. (1988). Empirical garnet- muscovite geothermometry in lowgrade metapelites, Selwyn Range (Canadian Rockies). *J. Metam. Geol.* **6**: 297-309.
- Ianovici V., Neacsu G., Neacsu V. (1981). Pyrophyllite occurrences and their genetic relations with the kaolin minerals in Romania. *Bull. Mineral.* **104**: 768-775.
- Indares A., Martignole J. (1985). Biotite-garnet geothermometry in the granulite facies: the influence of Ti and. Al in biotite. *Am. Min.* **70**: 272-278.
- Ishihara S. (1977). The magnetite-series and ilmenite-series. *Mineral. Geol.* **27**: 293-305.

- Jiang W.T., Peacor D.R., Buseck P.R. (1994). Chlorite geothermometry? - contamination and apparent octahedral vacancies. *Clays Clay Minerals.* **42**: 593-605.
- Johnson M.C., Rutherford M.J. (1989). Experimental calibration of an aluminum-in-hornblende geobarometer with application to Long Valley caldera (California) volcanic rocks. *Geology.* **17**: 837-841.
- Jowett E.C. (1991). Fitting iron and magnesium into the hydrothermal chlorite geothermometer - Geol. Assoc. Canada/Mineral. Assoc. Canada/Soc. Econ. Geol. Joint Annual Meeting, Toronto 1991, Program with Abstracts **16**: A62.
- Kawasaki T., Matsui Y. (1977). Partitioning of  $\text{fe}^{2+}$  and  $\text{mg}^{2+}$  between olivine and garnet, *Earth Planet. Sci. Lett.* **37**: 159-166.
- Kerrick D.M., Darken L.S. (1975). Statistical thermodynamic models for ideal oxide and silicate solid solutions, with application to plagioclase: *Geochim. Cosm. Acta.* **39(10)**: 1431-1442.
- Kisch H.J. (1990). Calibration of the anchizone: a critical comparison of illite crystallinity scales used for definition. *J. metam. Geol.* **8**: 31-46.
- Kleemann U., Reinhardt J. (1994). Garnet-biotite thermometry revisited: the effect of Al(VI) and Ti in biotite. *Europ. J. Mineral.* **6**: 925-941
- Kohn M.J., Spear F.S. (1989). Empirical calibration of geobarometers for the assemblage garnet+hornblende+plagioclase+quartz. *Am. Min.* **74(1/2)**: 77-84.
- Kohn M.J., Spear F.S. (1990). Two new geobarometers for garnet amphibolites, with applications to southeastern Vermont. *Am. Min.* **75**: 89-96.
- Kozol A.M., Newton R.C. (1988). Redetermination of the anorthite breakdown reaction and improvement of the plagioclase-garnet- $\text{Al}_2\text{SiO}_5$ -quartz geobarometer. *Am. Min.* **73**: 216-223.
- Kranidiotis P., McLean W.H. (1987). elements as monitors of mass transfer in hydrothermal alteration; Phelps Dodge massive sulfide deposit, Matagami. Quebec. *Econ. Geol.* **82**: 1898-1911.
- Krauskopf B. (1967). Introduction to Geochemistry. McGraw Hill: New York. 617 p.
- Kretz R. (1983). Symbols for rock-forming minerals. *Am. Min.* **68(1/2)**: 277-279.
- Kretz R. (1994). Metamorphic crystallization. John Wiley & Sons Ltd. 507 p.
- Krogh E. J., Råheim A. (1978). Temperature and pressure dependence of Fe-Mg partitioning between garnet and phengite, with particular reference to eclogites. *Contrib. Mineral. Petro.* **66**: 75-80.
- Krogh E.J. (1988). The garnet-clinopyroxene Fe-Mg geothermometer- a reinterpretation of existing experimental data. *Contrib. Mineral. Petro.* **99**: 44-48.
- Krogh-Ravna, E. (2000). The garnet-clinopyroxene  $\text{Fe}^{2+}\text{Mg}$  geothermometer: an updated calibration. *J. Metam. Geol.* **18**: 211-219.
- Kwak T.A.P. (1968). Ti in biotite and muscovite as an indication of metamorphic

- grade in almandine amphibolite facies rocks from Sudbury, Ontario. *Geochim. Cosm. Acta.* **32**: 1222-1229.
- Lindesley D.H., Dixon S.A. (1976). Diopside-enstatite equilibria at 850 to 1400 °C, 5 to 35 kbars. *Am. J. Sci.* **276**: 1285-1301.
- Lindsley D.H. (1983). Pyroxene thermometry. *Am. Min.* **68**: 477-493.
- Lindsley D.H. and Nekvasil H. (1989). A ternary feldspar model for all reasons (abs), *EOS*. **70(15)**: p. 506.
- Liou J.G., Kim H.G., Maruyama S. (1983). Prehnite-epidote equilibria and their petrologic applications. *J. Petrol.* **24**: 321-342.
- Liou J.G., Maruyama S., Cho M. (1987). In: Frey, M., Low temperature metamorphism. p. 59-113, Glasgow (Blackie) 349 p.
- Manning C.E., Bohlen S.R. (1991). The reaction titanite + kyanite = anorthite + rutile and titanite-rutile barometry in eclogites. *Contrib. Mineral. Petrol.* **109**: 1-9.
- Martignole J., Sisi J.C. (1981). Cordierite-garnet-H<sub>2</sub>O equilibrium: A geological thermometer, barometer and water fugacity indicator. *Contrib. Mineral. Petrol.* **77**: 38-46.
- Martin J.D., Gil A.S.I. (2005). An integrated thermodynamic mixing model for sphalerite geobarometry from 300 to 850°C and up to 1 GPa. *Geochim. Cosm. Acta.* **69(4)**: 995-1006
- Maruyama S., Wo M., Liou J.G. (1986). Experimental investigations of blueschist-greenschist transition equilibria: pressure dependence of Al<sub>2</sub>O<sub>3</sub> contents in sodic amphiboles - A new geobarometer, Evans, B. W., and Brown, E. H., eds., Blueschists and eclogites. *Geol. Soc. Am. Min.* **164**: 1-16.
- Massone H.J., Schreyer W. (1987). Phengite geobarometry based on the limiting assemblage with K-feldspar, phlogopite, and quartz. *Contrib. Mineral. Petrol.* **96**: 212-214.
- Massone H.J., Schreyer W. (1989). Stability field of the high-pressure assemblage talc+phengite and two new phengite barometers. *Eur. J. Mineral.* **1(3)**: 391-410.
- Matsui Y., Nishizawa O. (1974). Iron (II)-magnesium Kurohime volcanoes: crystallization sequence and evi- exchange equilibrium between olivine and calcium-free dence for magma mixing. *Bull. Soc. Franc. Mineral. Crystallogr.* **97**: 122-130.
- Mercier J.C. (1976). Single-pyroxene geothermometry and geobarometry. *Am. Min.* **61**: 603-615.
- Moeche, D.P., Essen, E J., Anovit L.M. (1988). Calculation and application of clinopyroxene-garnet-plagioclase-quartz geobarometers. *Contrib. Mineral. Petrol.* **100**: 92-106.
- Mordick B.E., Glazner A.F. (2006). clinopyroxene thermobarometry of basalts from the Coso and Big Pine volcanic fields, California. *Contrib. Mineral. Petrol.* **152**: 111-124.

- Mori T. (1978). Experimental Study of Pyroxene Equilibria in the System CaO-MgO-FeO-SiO<sub>2</sub>. *J. Geol.* **19**: 45-65.
- Mori T., Green D.H. (1975). Pyroxenes in the system Mg<sub>2</sub>Si<sub>2</sub>O<sub>6</sub>-CaMgSi<sub>2</sub>O<sub>6</sub> at high pressure. *Earth Planet. Sci. Lett.* **26**:277-286.
- Mori T., Green D.H. (1976). Subsolidus equilibria between pyroxenes in the CaO-MgO-SiO<sub>2</sub> system at high pressures and temperatures. *Am. Min.* **61**: 616-625.
- Mukhopadhyay B. (1991). Garnet-clinopyroxene geobarometry: The problems, a prospect, and an approximate solution with some applications. *Am. Min.* **76**: 512-529.
- Mukhopadhyay B., Holdaway M.J. (1994). Cordierite-garnet-sillimanite-quartz equilibrium. New experimental calibration in the system FeO-Al<sub>2</sub>O<sub>3</sub>-SiO<sub>2</sub>-H<sub>2</sub>O and certain P-T-XH<sub>2</sub>O relations. *Contrib. Mineral. Petrol.* **116**: 462-472.
- Nabelek P.I., Lindsley D.H., Bohlen S.R. (1987). Experimental examination of two-pyroxene graphical thermometers using natural pyroxenes with application to metagneous pyroxenes from the Adirondack Mountains, New York. *Contrib. Mineral. Petrol.* **97**: 66-71.
- Nagata J., Goto A., Obata M. (1983). The parabolic pattern of chromium partitioning observed between pyroxenes and spinel from ultramafic rocks and its petrologic significance. *Contrib. Mineral. Petrol.* **82**(1): 42-51.
- Nakajima T., Banno S., Suzuki T. (1977). Reactions Leading to the Disappearance of Pumpellyite in Low-grade Metamorphic Rocks of the Sanbagawa Metamorphic Belt in Central Shikoku. Japan. *J. Petrol.* **18**: 263-284.
- Nakamura D., Hirajima T. (2005). Experimental evaluation of garnet-clinopyroxene geothermometry as applied to eclogites. *Contrib. Mineral. Petrol.* **150**: 581-588.
- Nakamura D., Svojtka M., Naemura K., Hirajima T. (2004). Very high-pressure (>4 GPa) eclogite associated with the Moldanubian Zone garnet peridotite (Nové Dvory, Czech Republic), *J. Metam. Geol.* **22**: 593-603.
- Nehru Ch.E., and Wyllie P.J. (1974). Electron microprobe measurement of pyroxenes coexisting with H<sub>2</sub>O - undersaturated liquid in the join CaMgSi<sub>2</sub>O<sub>6</sub>-Mg<sub>2</sub>Si<sub>2</sub>O<sub>6</sub>-H<sub>2</sub>O at 30 kilobars, with applications to geothermometry. *Contrib. Mineral. Petrol.* **48**(3): 221-228.
- Nekvasil H., Burnham C.W. (1987). The calculated individual effects of pressure and water content on phase equilibria in the granite system, in Mysen, B. O., ed., magmatic processes, Physicochemical principles. *Geochem. Soc.*, University Park, Pennsylvania, 500 p.
- Nesbitt B.E. (1986). Oxide-sulfide-silicate equilibria associated with metamorphosed ore deposits; Part II, Pelitic and felsic volcanic terrains. *Econ. Geol.* **81**: 831-840.
- Newton R.C., Charlu T.U., Kleppa O.J. (1980). Thermochemistry of the high structural state plagioclases: *Geochim. Cosm. Acta*. **44**(7): 933-941.

- Newton R.C., Haselton H.T. (1981). Thermodynamics of the Garnet-plagioclase-Al<sub>2</sub>SiO<sub>5</sub>-quartz Geobarometer. In. Newton R.C., Navrotsky A. and Wood B.J. (eds.), *Adv. Phys. Geochem.* 1:131-147. New York (Springer).
- Newton R.C., Haselton H.T. (1981). Thermodynamics of the garnet-plagioclase-Al<sub>2</sub>SiO-quartz geobarometer. In R. C.. Newton et al., Eds., *Adv. Phys. Geochem.* 1:131-147.
- Newton R.C., Perkins D. (1982). Thermodynamic calibration of geobarometers based on the assemblages garnet-plagioclase-orthopyroxene (clinopyroxene)-quartz. *Am. Min.* **67(3/4)**: 203-222.
- Nichols G.T., Berry R.F., Green D.H. (1992). Internally consistent gahnitic spinel-cordierite-garnet equilibria in the FMASHZn system: geothermobarometry and applications. *Contrib. Mineral. Petro.* **111**: 362-377.
- Nimis P., Taylor W.R. (2000). Single clinopyroxene thermobarometry for garnet peridotite. Part 1. Calibration and testing of a Cr-in-Cpx barometer and an enstatite-in-Cpx thermometer. *Contrib. Mineral. Petro.* **139**: 541-554.
- Nishizawa O., Akimoto S. (1973). Partition of magnesium and iron between olivine and spinel and between pyroxene and spinel. *Contrib. Mineral. Petro.* **41**: 217-240.
- O'Neill H., Wood B.J. (1979). An experimental study of Fe-Mg Partitioning Between Garnet and Olivine and its Calibration as a geothermometer: Corrections. *Contrib. Mineral. Petro.* **70**: 59-70.
- Orville P.M. (1963). Alkali ion exchange between vapour and feldspar phases. *Am. J. Sci.* **261**: 201-237.
- Orville P.M. (1972). Plagioclase cation exchange equilibria with aqueous chloride solution: results at 700°C and 2000 bars in the presence of quartz. *Am. J. Sci.* **272**: 234-272.
- Paria P., Bhattacharya A., Sen S.K. (1988). The reaction garnet+ clinopyroxene+ quartz = 2 orthopyroxene+anorthite: a potential geobarometer for granulites. *Contrib. Mineral. Petro.* **99**: 126-133.
- Patíño Douce A.E. (1993). Titanium substitution in biotite: an empirical model with applications to thermometry, O<sub>2</sub> and H<sub>2</sub>O barometries, and consequences form biotite stability. *Chem. Geol.* **108**: 133-162.
- Pattison D.R.M., Newton R.C. (1989). Reversed experimental calibration of the garnet-clinopyroxene Fe-Mg exchange thermometer. *Contrib. Mineral. Petro.* **101**: 87-103.
- Perchuk L.L., Aranovich L. Ya., Podlesskii K.K., Lavrent'eva I.V., Gerasimov V.Y., Fed'kin V.V., Kitsul V.I., Karsakov L.P., Berdnikov N.V. (1985). Precambrian granulites of the Aldan shield, eastern Siberia, USSR. *J. Metam. Geol.* **3**: 265-310.
- Perchuk L.L., Lavrent'eva I.V. (1983). Experimental investigation of exchange equilibria in the system cordierite-garnet-biotite. *Adv. Phys. Geochem.*, New

- York (Springer). **3**: 199-239.
- Perkins H., Brown T.H., Berman R.G. (1986). Three programs, which calculate pressure temperature composition diagrams. *Comp. Geosci.* **12**: 749-755.
- Perkins III, D., Chipera S.J. (1985). Garnet-orthopyroxene-plagioclase-quartz geobarometry: refinements and application to the English River subprovince and the Minnesota River Valley. *Contrib. Mineral. Petrol.* **89**: 69-80.
- Peterson J.W., Newton R.C. (1989). Reversed experiments on biotite-quartzfeldspar melting in the system. KMASH implication to crustal anatexis. *J. Geol.* **97**: 465-485.
- Poli S., Schmidt M.W. (1992). A comment on “Calcic amphibole equilibria and a new amphibole-plagioclase thermometer” by JD Blundy and TJB Holland (*Contrib. Mineral. Petrol.*, 1990. 104:208-224). *Contrib. Mineral. Petrol.* **111**: 273-282.
- Powell R. (1985). Regression diagnostics and robust regression in geothermometer - geobarometer calibration: the garnet-clinopyroxene geothermometer revisited. *J. Metam. Geol.* **3**: 231-243.
- Powell R., Evans J.A. (1983). A new geobarometer for the assemblage biotite-muscovite-chlorite-quartz. *J. Metam. Geol.* **1**: 331-336.
- Powell R., Holland T.J.B. (1988). An internally consistent dataset with uncertainties and correlations: 3. Applications to geobarometry, worked examples and a computer program. *J. Metam. Geol.* **6(2)**: 173-204.
- Powell R., Powell M. (1977). Plagioclase-alkali feldspar geothermometry revisited. *Mineral. Mag.* **41**:253-256.
- Pownceby M.I., Wall V.J., O'Neill H. (1987). Fe-Mg partitioning between garnet and ilmenite: experimental calibration and applications. *Contrib. Mineral. Petrol.* **97**: 116-126.
- Pownceby M.I., Wall V.J., O'Neill H. (1991). An experimental study of the effect of Ca upon garnet-ilmenite Fe-Mn exchange equilibria. *Am. Min.* **76**: 1580-1588.
- Putirka K., Johnson M., Kinzler R., Longhi J., Walker D. (1996). Thermobarometry of mafic igneous rocks based on clinopyroxene - liquid equilibria, 0-30 kbar, *Contrib. Mineral. Petrol.* **123**: 92-108.
- Putirka K.D., Mikaelian H., Ryerson F., Shaw H. (2003). New clinopyroxene-liquid thermobarometers for mafic, evolved, and volatile-bearing lava compositions, with application to lavas from Tibet and Snake River Plane, Idaho, *Am. Min.* **88**: 1542-1554.
- Raase P. (1974). Al and Ti contents of hornblende, indicators of pressure and temperature of regional metamorphism. *Contrib. Mineral. Petrol.* **45**: 231 - 236.
- Raheim A., Green D.H. (1974). Experimental determination of the temperature and pressure dependence of the Fe-Mg partition coefficient for coexisting garnet

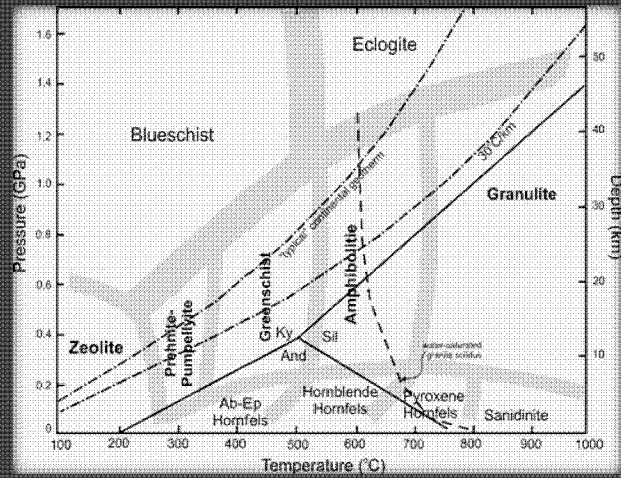
- 
- and clinopyroxene. *Contrib. Mineral. Petro.* **48**: 179-203.
- Reyes A.G. (1990). Petrology of Philippine geothermal systems and the application of alteration mineralogy to their assessment. *J. Volcan. Geotherm. Research.* **43**: 279-309.
- Rieden M., Povondra P., Fryda J. (1995). Coexisting biotite and muscovite: An example from a Moinian mica schist at Glenfinnan, Scottish Highlands. *Mineral. Petro.* **53(1-3)**: 63-74
- Robert J.L. (1976). Titanium solubility in synthetic phlogopite solid solutions. *Chem. Geol.* **17**: 213-227.
- Robinson D., Warr L.N., Bevins R.E. (1990). Illite "crystallinity" technique: A critical appraisal of its precision. *J. Metam. Geol.* **8**:333-344.
- Roeder P.L., Campbell J.H., Jamieson H.E. (1979). A re-evaluation of the olivine-spinel geothermometer. *Contrib. Mineral. Petro.* **68**: 325-334.
- Sassi F.P., Scolari A. (1974). The value of the potassic white micas as a barometric indicator in low-grade metamorphism of pelitic schist. *Contrib. Mineral. Petro.* **45**:143-152.
- Saxena S.K. (1976). Two-pyroxene geothermometer; a model with an approximate solution. *Am. Min.* **61**:643-652.
- Saxena S.K. (1979). Garnet-clinopyroxene geothermometer. *Contrib. Mineral. Petro.* **70**:229-235.
- Saxena S.K., Eriksson G. (1983). Theoretical computation of mineral assemblages in pyrolite and lherzolite. *J. Petro.* **24**:538-555.
- Saxena S.K., Nehru C.E. (1975). Enstatite-diopside solvus and geothermometry. *Contrib. Mineral. Petro.* **49**:259-267.
- Schmidt M. (1992). Amphibole composition in tonalite as a function of pressure: an experimental calibration of the Al-in-hornblende barometer. *Contrib. Mineral. Petro.* **110**:304-310.
- Scott S.D. (1973). Experimental calibration of the sphalerite geobarometer. *Econ. Geol.* **68**:466-474.
- Scott S.D. (1976). Application of the sphalerite geobarometer to regionally metamorphosed terrains. *Am. Min.*, **61**:661-670.
- Seck H.A. (1972). The influence of pressure on the alkali feldspar solvus from peraluminous and persilicic materials, *Fortschritte Miner.* **49**: 31-49.
- Seifert F., Schuhmacher J.C. (1986). Cordierite-spinel-quartz assemblages: a potential geobarometer. *Bull. Geol. Soc. Finland.* **58**: 95-108.
- Sen S. K., Bhattacharya A. (1984). An orthopyroxene-garnet thermometer and its application to the Madras charnockites. *Contrib. Mineral. Petro.* **88(1)**: 64-71.
- Sengupta P., Dasgupta S., Bhattacharya P.K., Hariya Y. (1989). Mixing behavior in quaternary garnet solid solution and an extended Ellis and Green garnet-clinopyroxene geothermometer. *Contrib. Mineral. Petro.* **103**: 223-227.

- Smirnov V.I. (1976). Skarn deposits, In Geology of Mineral Deposits, MIR Publication, Moscow. P:156-188.
- Spear F.S. (1981). An experimental study of hornblende stability and compositional variability in amphibolite. Am. J. Sci. **281**: 697-734.
- Stein E., Dietl C. (2001). Hornblende thermobarometry of granitoids from Central Odenwald (Germany) and their implications for geotectonic development of the Odenwald. Mineral. Petrol. **72**: 185-207.
- Teichmüller M. (1987). In: Frey, M., Low temperature metamorphism, p:114-161, Glasgow (Blackie). 349 p.
- Thomas W.M., Ernst W.G. (1990). The aluminum content of hornblende in calc-alkaline granitic rocks: A mineralogic barometer calibrated experimentally to 12 kbars. Geochem. Soc. Special Public. **2**: 59-63.
- Thompson, A.B. (1976) Mineral reactions in pelitic rocks: calculation of some P-T-X (Fe-Mg) phase relations. Am. J. Sci. **276**:425-454.
- Triboulet C., Audren Cl. (1988). Controls on P-T-t deformation path from amphibole zonation during progressive metamorphism of basic rocks (estuary of the River Vilaine, South Brittany, France): J. Metam. Geol. **6(2)**: 117-133.
- Tronnes R.G., Edgar A.D., Arima M. (1985). A high pressure-high temperature study of TiO<sub>2</sub> solubility in Mg-rich phlogopite: Implications to phlogopite chemistry: Geochim. Cosm. Acta. **49**: 2323-2329.
- Trzcienski W.E.Jr., Carmichael D.M., Helmstaedt H. (1984). Zoned sodic amphibole: petrologic indicator of changing pressure and temperature during tectonism in the Bathurst Area, New Brunswick, Canada. Contrib. Mineral. Petrol. **85**: 311-320.
- Velde B. (1967). Si Content of natural phengites. Contrib. Mineral. Petrol. **14**: 250-258.
- Vielzeuf D. (1983). The spinel and quartz associations in high grade xenoliths from Tallante (S.E. Spain) and their potential use in geothermometry and barometry. Contrib. Mineral. Petrol. **82(4)**: 301-311.
- Vincent J., van Hinsberg John C. Schumacher. (2009). The geothermobarometric potential of tourmaline, based on experimental and natural data. Am. Min. **94 (5-6)**:761-770.
- Walshe J.L. (1986). A six-component chlorite solid solution model and the conditions of chlorite formation in hydrothermal and geothermal systems: Econ. Geol. **81**:681-703.
- Wells P.R.A. (1984). Pyroxene therometry in simple and complex systems. Contrib. Mineral. Petrol. **62**: 129-139.
- Whitney J. A., Stormer J. C. JR. (1977). The distribution of NaAlSi<sub>3</sub>O<sub>8</sub> between coexisting microcline and plagioclase and its effect on geothermometric calculations. Am. Min. **62**:687-691.
- Winkler H.G.F. (1974). Petrogenesis of metamorphic rocks. Springer-Verlag. 320 p.

- 
- Winter C. (2001). An Introduction to Igneous and Metamorphic Petrology. Prentice Hall. 697 p.
- Witt-Eickschen G. and Seck H.A. (1991). Solubility of Ca and Al in orthopyroxene from spinel peridotite: an improved version of an empirical geothermometer. *Contrib. Mineral. Petrol.* **106**: 431-439.
- Wood B.J., Banno S. (1973). Garnet-orthopyroxene and orthopyroxene-clinopyroxene relationships in simple and complex systems. *Contrib. Mineral. Petrol.* **42**(2): 109-124.
- Wood B.J., Kleppa O.J. (1981). Thermochemistry of forsterite-fayalite olivine solutions. *Geochim. Cosm. Acta*. **45**(4): 529-534.
- Wu C. M., Zhang J., Ren L. D. (2004b). Empirical garnet-muscovite-plagioclase-quartz geobarometry in medium- to high-grade metapelites. *Lithos*. **78**: 319-332.
- Wu C.M., Wang X.S., Yang C.H., Geng Y.S., Liu F.L. (2002). Empirical garnet-muscovite geothermometry in metapelites. *Lithos*. **62**: 1-13.
- Wu C.M., Zhang J., Ren L.D. (2004a). Empirical garnet-biotite-plagioclase-quartz (GBPQ) geobarometry in medium- to highgrade metapelites. *J. Petrol.* **45**:1907-1921.
- Wu C.M., Zhao G.C. (2006a). Recalibration of the garnet-muscovite (GM) geothermometer and the garnet-muscovite-plagioclase-quartz (GMPQ) geobarometer for metapelitic assemblages. *J. Petrol.* **47**: 2357-2368.
- Wu C.M., Zhao G.C. (2006b). The applicability of the GRIPS geobarometry in metapelitic assemblages. *J. Metam. Geol.* **24**: 297-307.
- Youngman K.J. (1984). Hydrothermal alteration and fluid-rock interaction in the El Tatio geothermal field, Antofagasta Province, Chile. Master Thesis, August 1984, The University of Auckland, Auckland, New Zealand, 123 pp.



# An Introduction to Methods of Geothermometry and Geobarometry



ISBN 978-964-04-4854-0

Nargess Shirdashtzadeh  
Ramin Samadi